# Федеральное государственное автономное образовательное учреждение высшего образования «ЮЖНЫЙ ФЕДЕРАЛЬНЫЙ УНИВЕРСИТЕТ»

На правах рукописи

Джамил Джалил Садун Джамил

# АДАПТИВНЫЙ АЛГОРИТМ ПЕРЕДАЧИ ИЗОБРАЖЕНИЙ ПО БЕСПРОВОДНОЙ ЛИНИИ СВЯЗИ НА ОСНОВЕ МІМО-ПРИНЦИПА

Специальность – 2.2.13. Радиотехника, в том числе системы и устройства телевидения

# ДИССЕРТАЦИЯ

на соискание ученой степени кандидата технических наук

Научный руководитель: д.т.н., профессор Валентин Петрович Федосов

Таганрог 2023

# Оглавление

СПИСОК ОБОЗНАЧЕНИЙ, СОКРАЩЕНИЙ И АББРЕВИАТУР	4
ВВЕДЕНИЕ	5
1. АНАЛИЗ ЛИТЕРАТУРЫ И ОБЗОР СИСТЕМ БЕСПРОВОДНОЙ СВЯЗ	ВИ
1.1. Назначение систем беспроводной связи	13
1.2. Система WiMAX	14
1.3. Принципы построения систем связи	18
1.4. Ортогональное частотное мультиплексирование	20
1.5. Технология пространственного кодирования МІМО	24
1.6. Адаптивная обработка сигналов	28
1.7. Выводы	29
2. КАНАЛ WiMAX, МОДЕЛИ СИГНАЛОВ, ПОМЕХ И ШУМОВ	31
2.1. Беспроводной канал связи	31
2.2. Описание моделей сигналов, помех и шумов, используемых при разработке и исследовании алгоритма	39
2.3. Использование пространственно-временной обработки для передач по каналу связи	
2.4. Модели помех	45
2.5. Выводы	49
3. АЛГОРИТМЫ ПРОСТРАНСТВЕННО-ВРЕМЕННОЙ ОБРАБОТКИ СИГНАЛОВ ИЗОБРАЖЕНИЙ ДЛЯ ТРЕХМЕРНЫХ БЕСПРОВОДНЫХ КАНАЛОВ С МНОЖЕСТВЕННЫМИ ПЕРЕОТРАЖЕНИЯМИ	51
3.1. Особенности алгоритмов передачи изображения	
3.2. Схематическое изображение передающей и приемной систем связи	
3.3. Разработка алгоритма моделирования системы связи	
3.4. Разработка адаптивного алгоритма обработки сигналов	
3.5. Выводы	
4. МОДЕЛИРОВАНИЕ АНАЛИЗ ЭФФЕКТИВНОСТИ РАЗРАБОТАНОГ АЛГОРИТМА ПЕРЕДАЧИ ИЗОБРАЖЕНИЙ ПО БЕСПРОВОДНОМУ	О
КАНАЛУ СВЯЗИ	
4.1. Описание условий моделирования беспроводного канала	69

4.2. Моделирование системы беспроводной связи	71
4.3. Моделирование адаптивного алгоритма в системе беспрово	дной связи
	79
4.4. Передача изображений по беспроводному каналу связи	87
4.5. Выводы	100
ЗАКЛЮЧЕНИЕ	102
Литература	103
ПРИЛОЖЕНИЯ	119

# СПИСОК ОБОЗНАЧЕНИЙ, СОКРАЩЕНИЙ И АББРЕВИАТУР

Wi-Fi – Wireless Fidelity

WiMAX - Worldwide Interoperability for Microwave Access

LTE – Long-Term Evolution

WAVE – беспроводной доступ в автомобильной среде

BS – Base Station

MIMO - Multiple Input Multiple Output

VoIP – Voice Over Internet Protocol

OFDM – Orthogonal Frequency-Division Multiplexing

QAM – Quadrature Amplitude Modulation

BPSK – Binary Phase-Shift Keying

QPSK – Quadrature Phase Shift Keying

BER – Bit Error Rate

ISI – Inter Symbol Interference

МСИ – Межсимвольные искажения

APs – Access points

#### **ВВЕДЕНИЕ**

Актуальность темы. Системы беспроводной передачи данных уже стали неотъемлемой частью современного общества. За последние несколько десятилетий беспроводная связь стала одной из самых быстрорастущих и активно развивающихся отраслей. На это повлияло бурное развитие микроэлектроники и появление быстродействующих цифровых процессоров, которые позволяют выполнять сложные алгоритмы обработки сигналов в реальном времени. Основными критериями эффективности беспроводных систем является скорость передаваемой информации. Однако недостаточно только обеспечить высокую пропускную способность необходимо также позаботиться о качестве передаваемой информации. Например, искажение сигнала при передаче аудио/видео, а также изображений может существенно сказаться на восприятии информации.

В настоящее время существует множество технологий беспроводной связи, которые нашли массовое применение. Например, мобильная связь [1, 2], беспроводные технологии для локальных сетей на основе стандарта 802.11 [3], среди которых одним из перспективных, с точки зрения пропускной способности является стандарт на основе технологии МІМО 802.11n. В то время как технология WI-FI используется для построения сетей с небольшой дальностью действия, существует технология WiMax [4, 5], которая используется для построения беспроводных сетей на больших расстояниях.

Основной проблемой для беспроводных сетей, в отличии от проводных, является сложных характер распространения сигналов в среде, которых сильно зависит от конкретной местности. Различные индустриальные помехи в совокупности с многопутным распространение сигнала, движением мобильной станции относительно базовой усложняют функционирование беспроводной аппаратуры и сильно влияют на пропускную способность

канала. Рассмотрим для примера беспроводную технологию WiMAX, которая рассчитана на передачу информации на большие расстояния обеспечивает большую площадь покрытия. В качестве примера будем рассматривать передачу изображений по каналу связи. В системах WiMAX для модуляции сигналов используется технология OFDM, которая показала свою эффективность передачи информации в условиях среды с замираниями сигналов, за счет разбиения полосы частот сигнала, на множество поднесущих с медленно меняющихся параметрами. Также WiMAX использует технологию пространственного кодирования MIMO ДЛЯ повышения помехоустойчивости и пропускной способности канала.

В исследование проблем системам беспроводной связи WiMAX внесли свой вклад следующие ученые: В. С. Сюваткин, В. И. Есипенко, В. В. Крылов, В. В. Вишневский, Л. Нуайми, К. Фазель, С. Кайзер.

По всему миру существует множество компаний, которые занимаются разработкой телекоммуникационного оборудования. Например, территории России к таким компаниям можно отнести: AO «Научнопроизводственное предприятие «Радиосвязь» [6], Российский научноисследовательский институт радио имени М.И. Кривошеева (ФГБУ НИИ Радио) [7], АО «Росэлектроника» [8] и другие. Среди зарубежных компаний онжом выделить крупнейших поставщиков телекоммуникационного оборудования, таких как: Nokia, Ericsson и Huawei.

Передача изображений по беспроводному каналу связи является актуальным вопросом, что отражено в ряде публикаций. Например, в статьях [9-12] авторы рассматривают передачу изображений в беспроводном канале SISO с применение технологии OFDM. В статьях [13, 14] рассматривается передача изображений в системах МІМО-ОFDM, включая системы связи 5G [2, 15]. Основным недостатком представленных работ является то, что

авторы в основном используют в качестве среды передачи канал с аддитивным гоуссовским шумом, который сильно отличается от реального канала связи особенно в условиях плотной городской застройки. Кроме того, авторы не применяют алгоритмы пространственной фильтрации сигналов для борьбы с переотражениями, которые попадают в приемную антенную систему с различной задержкой, амплитудными и фазовыми искажениями, а также угловыми координатами в условиях априорной неопределенности. Адаптивный подход пространственной фильтрации существенно может снизить искажения сигналов при многопутном распространении путем формирования характеристики направленности согласно заданному алгоритму. Такой подход позволяет выделить только один путь, по которому приходит полезный сигнал, тем самым существенно снижает интерференцию и искажение сигналов в приемнике.

**ЦЕЛЬ РАБОТЫ.** это повышение пропускной способности, снижение вероятности битовой ошибки, а также среднеквадратического значения ошибки яркости и цветности при передаче изображений в канале радиосвязи с многочисленными переотражениями путем разработки адаптивного алгоритма с пространственной обработкой сигналов.

Для достижения этой цели в диссертации были поставлены и решены следующие ЗАДАЧИ:

- 1. Разработка адаптивного алгоритма формирования характеристики направленности приемной антенны, для пространственной фильтрации сигналов в среде с переотражениями.
- 2. Разработка модели системы связи на основе MIMO-OFDM с применением адаптивного алгоритма.

- 3. Разработка многопутной модели среды распространения сигналов системы WiMAX для исследования адаптивного алгоритма обработки изображений.
- 4. Моделирование предложенной модели и разработанных адаптивных алгоритмов в составе системы.
- 5. Оценка эффективности предложенного адаптивного алгоритма путем моделирования передачи различных сигналов и изображений.

**Методы исследования**: Теория матричного анализа и линейной алгебры, теория пространственно-временной обработки сигналов на выходах антенной решетки и компьютерное моделирование.

#### Научная новизна работы:

- 1. Для систем связи на основе антенной решетки модернизирован адаптивный алгоритм формирования пространственных характеристик направленности на основе взвешенной обработки сигнала изображений с выхода антенной решетки. Данный алгоритм позволяет снизить вероятность битовой ошибки и как следствие повышает спектральную эффективность использования выделенной полосы сигнала.
- 2. Модифицирована трехмерная модель канала WiMAX для воздушной среды распространения сигналов, которая позволяет учитывать геометрическую конфигурацию антенной системы, возможность перемещения приемника, а также различные объекты, от которых может отражаться сигналы изображений.
- 3. Предложено использовать пространственные методы обработки сигналов на основе антенных решеток и мультиплексирование с ортогональным частотным разделением каналов, что в совокупности с предложенным алгоритмом адаптации позволяет беспроводным системам

связи повысить устойчивость к среде с множественными переотражениями сигналов.

Практическая значимость результатов. Практическая значимость адаптивного алгоритма в канале WiMAX для системы SISO заключается в снижении вероятности битовой ошибки на 2 порядка при SNR = 0 дБ и на 3 порядка при SNR = 2 дБ. Для системы 2×2 МІМО вероятность ошибки снижается в 40 раз при SNR = 5 дБ. При отсутствии прямого пути при том же отношении сигнал/шум вероятность ошибки снижается в 16,6 раза при SNR = 5 дБ. В работе также продемонстрирована передача различных типов изображений по каналу связи. Передача чёрно-белого изображения с применением алгоритма адаптации позволила добиться интегрального снижения нормированного значения среднеквадратичной ошибки передачи изображения до значения, близкого к 0, при SNR =10 дБ для SISO системы и до  $3.5 \cdot 10^{-3}$  при SNR=10 дБ для системы MIMO. При передаче цветных изображений по беспроводному каналу с использованием адаптивного алгоритма были достигнуты результаты среднеквадратичной ошибки, близкого к 0, при SNR = 10 дБ для системы SISO и до  $10^{-5}$  при SNR = 10 дБ в системах МІМО.

## Основные положения, выносимые на защиту:

- 1. Снижение вероятности битовых ошибок и увеличение пропускной способности за счет алгоритма адаптивной обработки сигналов, разработанного для систем беспроводной связи на основе использования антенных решеток.
- 2. Модифицированный беспроводной канал для систем WiMax, который позволяет учитывать распространение сигналов в трехмерном

- пространстве, отражения от множества различных объектов, а также параметры приемной и передающей антенны.
- 3. Результаты эффективности разработанного адаптивного алгоритма, который позволил повысить помехоустойчивость систем SISO-OFDM и MIMO-OFDM.
- 4. Высокая эффективность разработанного адаптивного алгоритма подтверждена результатами исследования помехоустойчивости беспроводного канала связи при передаче изображения.
- 5. Результаты моделирования передачи различных типов цветных изображений по беспроводному каналу с использованием разработанного адаптивного алгоритма, которые подтвердили его эффективность.

#### Внедрение результатов.

Результаты диссертационного исследования использованы в научных работах кафедры теоретических основ радиотехники Института радиотехнических систем и управления ФГАОУ ВО «Южный федеральный университет» при выполнении гранта Российского научного фонда № 22-29-01389 от 21 декабря 2021 года, а также в учебном процессе при обучении магистрантов по направлению 11.04.02 Инфокоммуникационные технологии и системы связи в дисциплинах «Современные алгоритмы обработки пространственно-временных сигналов в сетях связи», «Модуль проектной деятельности».

**Апробация результатов.** Результаты, представленные в диссертации, обсуждались на следующих конференциях:

1. Научная инициатива иностранных студентов и аспирантов : сборник докладов I Международной научно-практической конференции. В 2 томах. Том 1 (Томск, 27–29 апреля 2021 г.) / Томский политехнический

- университет. Томск : Изд-во Томского политехнического университета, 2021.-423 с.
- 2. Научная инициатива иностранных студентов и аспирантов: сборник докладов II Международной научно-практической конференции (Томск, 27—29 апреля 2021 г.) / Томский политехнический университет. Томск: Изд-во Томского политехнического университета, 2022. 880 с.
- 3. International scientific conference "Radiation and scattering of electromagnetic waves" IREMW- 2021, June 28 July 2, 2021, Divnomorskoe, Russia.
- 4. Journal of Physics: Conference Series, Volume 1973, 3rd International Scientific Conference of Engineering Sciences and Advances Technologies (IICESAT), College of Material Engineering, University of Babylon, Iraq in 4-5 June, 2021.
- 5. Научно-технический и прикладной журнал «Известия ЮФУ. технические науки» "Izvestiya sfedu. engineering sciences" «Компьютерные и информационные технологии в науке, инженерии и управлении» КомТех-2020, г. Таганрог 2020 г.

**Публикации.** По теме диссертации опубликовано 11 статей, из них 2 статьи в журналах списка ВАК, 5 в SCOPUS и Web of Science, и 3 индексированы в РИНЦ.

**Личный вклад.** Все основные результаты диссертационной работы были получены автором лично. Совместно с научным руководителем Федосовым В. П., обсуждались и корректировались подходы к разработке, методы решения и результаты работы.

**Структура диссертационной работы.** Диссертационная работа состоит из введения, четырех разделов, заключения, списка литературы и приложений.

Объем основного текста диссертации составляет 211 страниц и содержит 73 рисунка и 7 таблиц.

*Во введении* описана актуальность проблемы, обозначены цель и основные задачи, решаемые в диссертационной работе.

В первой главе рассмотрены общее принципы работы технологии WiMax, основанную на применении методов модуляции с использованием мультиплексирования частотного (OFDM) ортогонального методов обработки (MIMO). Обоснована пространственно-временной цель перечислены задачи для её достижения.

Во второй главе модернизирована трехмерная модель многопутного канала связи, с применением антенных решеток на приемной и передающей сторонах для передачи изображений. Рассмотрена модель сигналов и помех применяемых для моделирования системы связи.

В третьей главе предложен адаптивный алгоритм пространственной фильтрации сигналов изображений в среде с переотражениями, который позволяет формировать диаграмму направленности антенной решетки приемника в направлении на источник сигнала с наибольшей мощностью.

В четвертой главе представлены результаты моделирования предложенного адаптивного алгоритма в беспроводном канала, в том числе с передачей изображений по каналу связи. Исследована эффективность предложенного алгоритма пространственной фильтрации и проведён сравнительный анализ с классическими системами связи.

*В заключении* приводятся основные выводы по результатам проведенных исследований.

## 1. АНАЛИЗ ЛИТЕРАТУРЫ И ОБЗОР СИСТЕМ БЕСПРОВОДНОЙ СВЯЗИ

#### 1.1. Назначение систем беспроводной связи

С ростом спроса на интернет услуги развитие мобильной связи и интернета вещей приводит к активному развитию беспроводных технологий, которые непосредственно влияют на многие сферы нашей жизни [16-19]. Как следствие увеличивается количество пользователей и устройство в беспроводных сетях, что негативно сказывается на их характеристиках. В частности все чаще возникает вопрос, как сохранить или даже увеличить пропускную способность беспроводных сетей при растущей с каждым годом на них нагрузки [20-22].

Как уже было сказано ранее, существует множество беспроводных технологий, которые позволяют реализовывать беспроводные сети от масштабных мобильных сетей до небольших сетей в пределах одного здания. В диссертации остановимся на рассмотрении технологии WiMAX, которая является чем-то средним между мобильными сетями и локальными сетями малого радиуса действия. Технология WiMAX направлена на сокращение задержек, повышения спектральной эффективности, позволяет осуществлять быстрое развертывание, что приводит к снижению затрат для операторов и как следствие и конечных пользователей [23]. Технология WiMAX демонстрируется хорошую устойчивость в канале с замиранием сигналов, многопутным распространением вызванных среде движением мобильного устройства. Это достигается за счет применения технологии ортогонального частотного мультиплексирования, который устойчив к замираниям и позволяет выполнить оценку канала за счет пилот-сигналов [24, 25].

Развитие систем беспроводной связи привели к появлению технологии с

множественными входами и выходами MIMO (Multiple Input Multiple Output) в результате чего антенна базовой станции (BS) системы WiMAX стала представлять собой антенную решетку [26, 27].

Типовые математические модели систем обычно представляют собой двумерные каналы связи, например стандарт 3GPP [27, 28]. Однако в реальности среда распространения сигналов представляет собой более сложный характер, где отраженные сигналы поступают в приемную антенны не только с определенным азимутом, но и углом места. В результате моделирование системы связи в двумерном канале может сильно отличается от работы реальной среде. Поэтому в работе предлагается использование трехмерной модели канала.

#### **1.2.** Система WiMAX

WiMAX (Worldwide Interoperability for Microwave Access ) представляет собой стандарт беспроводной сети, который обеспечивает взаимодействие различных устройств которые поддерживают стандарт IEEE 802.16. Система связи WiMAX обеспечивает большую дальность связи и пропускную способность, по сравнению с сетями Wi-Fi стандарта 802.11, которые преимущественно используются в локальных сетях. Необходимо отметить, что данные технологии не конкурируют между собой, а дополняют друг друга. WiMAX представляет собой альтернативу проводным магистральным сетям расширяя их зону покрытия. Точка доступа устройства WiMAX позволяет обеспечить дальность связи на расстоянии 50 км со скоростью 70 Мбит/с.

WiMAX можно рассматривать как наиболее развивающийся стандарт беспроводной сети, предложенный для конкуренции с мобильными сетями, особенно в крупных городах в связи с ростом количества пользователей.

Кроме того данная технология также может обеспечивать альтернативное решение для определенных сельских зон, которые сегодня лишены доступа к широкополосному интернету по различным причинам. В результате технология WiMAX может заменить медленные телефонные проводные сети, например основанные на технологии ADSL. Кроме того беспроводные сети WiMAX устойчиво работают даже при отсутствии прямой видимости. Однако беспроводные системы связи сталкиваются с рядом проблем:

- 1. Беспроводной радиоканал является постоянно изменяющейся средой распространения сигналов, на который влияет множество различных факторов, таких как различные объекты и сооружения, особенности рельефа окружающей среды, относительное движение между передатчиком и приемником, различного рода помехи, шум и т. д. Все это вызывает множество различных проблем при развертывании и обеспечении связи, которые необходимо решать.
- 2. Мобильность устройств, а также необходимость обеспечить высокую пропускную способность сети, производительностью сети.
- 3. Необходимость обслуживания большого и постоянно растущего числа пользователей, а также обеспечение высокой пропускной способности требует более эффективного использования ограниченного частотного ресурса.
- 4. Качество обслуживания является важным вопросом, поскольку системы связи WiMAX должны поддерживать передачу голоса, данных, видео и мультимедиа. Каждый такой режим имеет различные требования к скорости передачи данных, приоритету трафика, потере пакетов, задержке и так далее. Поэтому сложно сбалансировать распределение ресурсов между различными режимами и пользователями.

- 5. Безопасность является неотъемлемой любой беспроводной сети. Для пользователей конфиденциальность и целостность данных являются основным требованием.
- 6. Необходимо задуматься о ээнергопотреблениии беспроводного устройства, чтобы оно могло быть компактным и мобильным. Требование обеспечения низкого энергопотребления заставляет разработчиков искать энергоэффективные схемы передачи, энергосберегающие протоколы, алгоритмы обработки сигналов которые требуют меньших вычислительных затрат, проектирование и изготовление схем с низким энергопотреблением, а также аккумуляторные технологии с длительным сроком службы.

Технология WiMAX имеет ряд основные особенности, которые описанные ниже.

- 1. Применение многочастотных видов модуляции позволяет улучшить производительность системы в условиях частотно-избирательного канала. Системы, использующие многочастотные виды модуляции, также хорошо работают в условиях отсутствия прямой видимости и многопутного распространения сигналов. Кроме того, применение кодирования позволяет восстанавливать утраченную информацию.
- Высокая пропускная способность WiMAX может обеспечивать высокие пиковые скорости передачи данных.
- Масштабируемая скорость передачи данных: многочастотные виды модуляцим в сочетании с адаптивной модуляцией и кодированием позволяет распределять спектр в зависимости от требований к полосе пропускания/скорости передачи данных.
- Гибкое и динамическое распределение ресурсов сети для каждого пользователя.

- Адаптивная модуляция и кодирование: система динамически регулирует на параметры модуляции и кодирования, чтобы максимизировать пропускную способность и минимизировать частоту ошибок по битам (BER) в условиях постоянного изменения характеристик канала.
  - Поддержка передовых антенных технологий.
  - Встроенное планирование качества обслуживания.
  - Полная мобильность терминала.

Рассмотрим основные стандарты технологии WiMAX

IEEE 802.16

Стандарт IEEE 802.16был опубликован в сентябре 2001 года. Он имеет диапазон частот 10–66 ГГц для обеспечения фиксированной широкополосной беспроводной связи. Использует методы одночастотной модуляции и мультиплексирования с временным разделением (TDM).

IEEE 802.16a

Этот стандарт является дополнением к стандарту IEEE 802.16. Диапазон частот расширен до 2-11 ГГц. В качестве метода модуляции используется мультиплексирование с ортогональным частотным разделением каналов (OFDM).

*IEEE 802.16c* 

Данный стандарт является дополнением к IEEE 802.16a. Он использует диапазон частот 10-66 ГГц.

IEEE 802.16d

Данный стандарт также называют фиксированным WiMAX, он не поддерживает мобильность и используется для предоставления услуг стационарным пользователям. Разработан для системы с фиксированным распределением полосы пропускания и использует полосу частот 10–66 ГГц.

#### IEEE 802.16e

Стандарт 802.16е использует множественный доступ с ортогональным частотным разделением каналов (SOFDMA), который обеспечивает высокоскоростной доступ в сеть интернет. Кроме того данная версия стандарта поддерживает технологию с пространственной обработкой сигналов МІМО.

Существует множество работ посвященных исследованиям технологии WiMAX. Так например улучшение производительности сетей WiMAX с применением различных методов модуляции сигналов, таких как BPSK, QPSK и QAM для улучшения BER системы WiMAX рассматриваются в [29]. Производительность WiMAX на основе OFDM представлена в работе [30]. Данные работы оценивают эффективность с точки зрения возможности поддержки нескольких классов обслуживания, эффективного использования полосы пропускания, а также обеспечения требуемого качества обслуживания. Примеры передачи изображения по сетям WiMAX при различных характеристиках канала изучалась в [31].

# 1.3. Принципы построения систем связи

Все системы беспроводной цифровой связи состоят их ряда основных блоков, рисунке 1.1. Передатчик принимает как показано на сформированные информационные пакеты в цифровом виде более высокого протокольного передает уровня уровня И ЭТИ пакеты электромагнитных волн на приемник. Основной задачей для передатчика является кодирования и модуляция передаваемой информации, затем модулированный цифровой сигнал преобразуется аналоговый сигнал с помощью цифро-аналогового преобразователя (ЦАП), а затем преобразуется с помощью смесителя до одного из желаемых диапазонов радиочастот WiMAX. Полученный результирующий сигнал затем уже поступает в антенну.

Замирание сигнала происходит в приемнике в результате многопутного распространения сигналов. В результате чего сигнал будет содержать множество полученных копий, которые имеют различную задержку, амплитуду и фазу. Импульсную характеристику такого канала можно представить как [32].

$$h(t,\tau) = \sum_{i=0}^{L-1} h_i(t)e^{j\varphi_i(t)}\delta(\tau - \tau_i(t)), \qquad (1.1)$$

где  $h_i$  – модуль коэффициента передачи і-го пути,  $\varphi_i$  – фаза і-го пути,  $\tau_i$  – задержка і-го пути, L – количество путей.

Задачей приемника является получить передаваемый сигнал преобразовать его в цифровой вид, после частотного понижающего преобразования, с помощью аналого-цифрового преобразователя (АЦП), выполнить его декодирование и демодуляцию, а затем уже готовые информационные пакеты передать протоколам верхнего уровня.

Сигнал в приемнике такой системы будет описан следующим выражением.

$$s(t) = \sum_{i=0}^{L-1} h(t, \tau - \tau_i) x(t) + n(t) = h(t, \tau) * x(t) + n(t), \quad (1.2)$$

где s (t) — приятный сигнал, x (t) — передаваемый сигнал, n (t) — внутриприемный аддитивный шум.

Как видно из этой формулы, сигнал в приемной антенне характеризуется сверткой передаваемого сигнала с импульсной характеристикой канала.

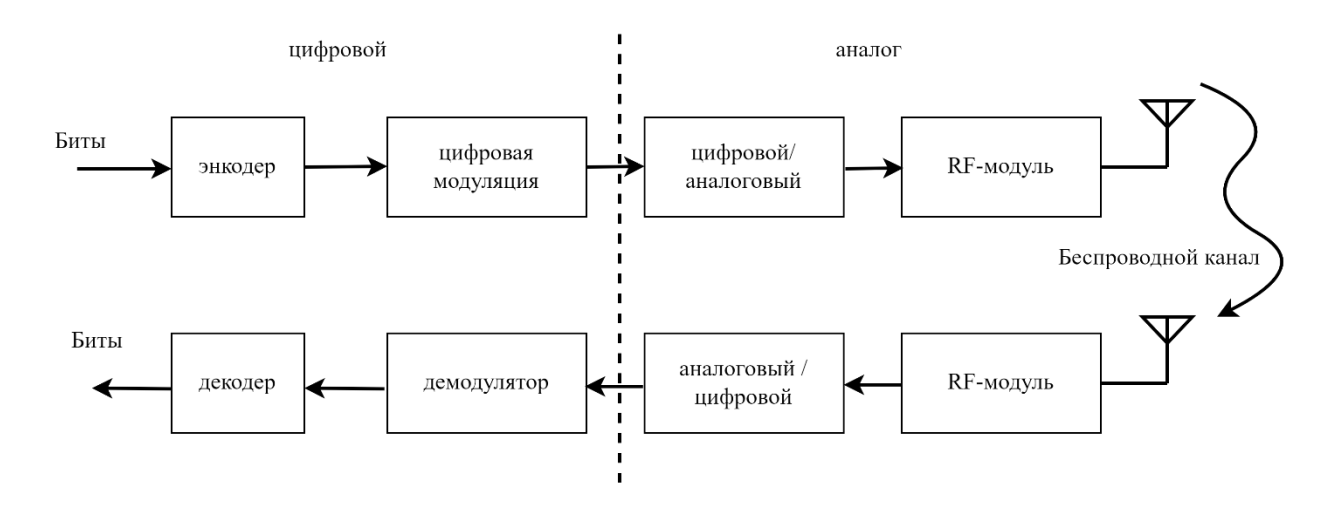


Рисунок 1.1 – Структура беспроводной цифровой системы связи

#### 1.4. Ортогональное частотное мультиплексирование

Применение **OFDM** (Orthogonal frequency-division технологии multiplexing) в современных системах представлено во многих работах [18, 21, 23]. Преимущество модуляции OFDM в частотно-избирательном канале заключается в эффективном преобразовании полосы сигнала во множество узкополосных каналов с медленно изменяющимися поднесущими, т.е. многочастотной модуляции. Это позволяет осуществлять параллельную передачу информацию одновременно по нескольким каналам. В результате чего OFDM хорошо справляется с помехами и замираниями сигнала, которые возникают в беспроводной среде с переотражениями. Если при прохождении через такой беспроводной канал связи часть спектра сигнала будет искажена, это не приведет к полной потери информации, что характерно для одночастотных систем. Такая ситуация может возникнуть, когда канала имеет провалы частотной характеристики на определенных частотах в результате действия эффекта замираний, которые особенно часто наблюдаются в случае движения мобильной станции. Замирания являются результатом аддитивной смеси полезного сигнала и множества его копий, которые имеют свою амплитуду, задержку и фазу.

В технологии OFDM вся полоса пропускания разбивается на множетсво узких полос, которые называются поднесущими, ортогональных друг другу. В результате чего сигнал на отдельных поднесущих изменяется очень медленно, что позволяет снизить влияние переотраженных сигналов на передаваемую информацию. Т.е. в результате замираний может быть утеряна только часть сообщения, а добавление в последнее кодов коррекции ошибок может обеспечить ее восстановление.

На основе выше сказанного следует, что задачей модулятора OFDM является разделение входного цифрового потока, который сигналов поступает с высокой скоростью, на несколько параллельных потоков с более низкой скоростью передачи данных и модуляции каждого потока на отдельных несущих. Чтобы обеспечить спектральную эффективность такого подхода в OFDM частота поднесущих выбирается так, чтобы все они были ортогональны друг другу, тем самым это позволяет избежать необходимости иметь неперекрывающиеся поднесущих ДЛЯ устранения каналы интерференции. Увеличение количества поднесущих позволяет увеличить длительность символа без снижения спектральной эффективности, это оправдано, если задержка сигнала в многопутном канале имеет значительную величину и необходимо снизить негативный эффект замираний.

Для исключения межсимвольной интерференции используют защитный интервал (циклический префикс), длительность которого должна быть больше чем максимальная величина задержки в среде распространения. Для снижения внеполосного излучения защитный интервал обычно является копией последних отсчетов символа.

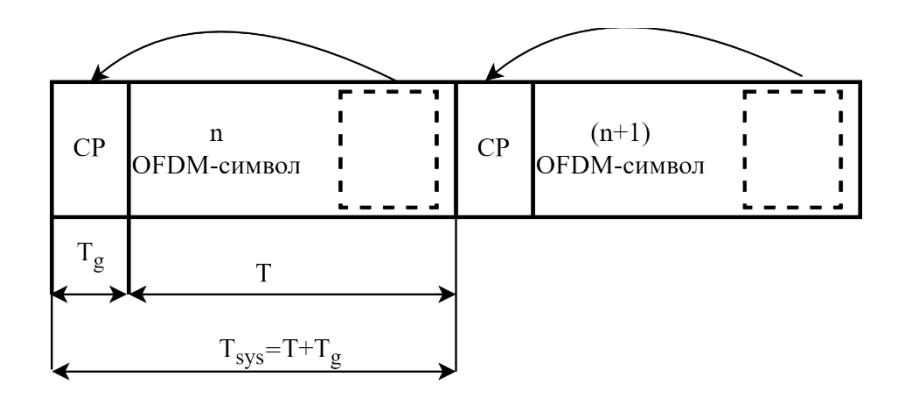


Рисунок 1.2 – К пояснению формирования полного сигнала OFDM

Математическое описание сигнала OFDM во времени имеет вид [33-35].

$$x(n) = \sum_{k=0}^{N-1} X(k)e^{j2\pi kn/N} , \qquad (1.3)$$

где N – количество поднесущих, X (k) – поднесущие сигнала OFDM в частотной области.

Анализ формулы (1.3) показывает, сходство с дискретным преобразованием Фурье, из чего можно сделать вывод, что для модуляции сигнала OFDM можно воспользоваться алгоритмом быстрого преобразования Фурье. На основе этого количество поднесущих OFDM сигнала должно быть кратным степени 2.

Общий спектр OFDM сигнала поделен на К поднесущих, которые могут модулироваться одним из известных методов цифровой манипуляции. Что бы найти расстояние между поднесущими достаточно знать их количество N и общую полосу сигнала B, то используя формулу [36] получаем

$$\Delta f = \frac{1}{T} = \frac{B}{N} \,. \tag{1.4}$$

Битовую скорость можно определить по формуле

$$BR = N \frac{\log_2 M}{T_{\text{sym}}} \text{bit/s}, \qquad (1.5)$$

где  $T_{\text{sym}}$  — общая длительность символа, N — количество поднесущих, M — позиционность выбранного вида модуляции.

Защитный интервал выбирается в зависимости от задержки компонентов многолучевого распространения и его величина должна быть больше пути с избежать максимальной задержкой. Это позволит межсимвольной интерференции OFDM сигналов. В случае если длина защитного интервала становится соизмерима с длительность одного символа, то в этом случае будет разумным увеличить количество поднесущих, тем самым увеличив эффективного длительность символа ДЛЯ использования полосы пропускания.

Необходимо также отменить, что, не смотря на свою эффективность в плане использования спектра сигнала, OFDM, в основе которого лежит принцип ортогональности, очень чувствителен к сдвигу несущей частоты и фазовых шумов, которые могут очень негативно сказаться при демодуляции информации на поднесущих. Но, несмотря на это можно отметить следующие преимущества OFDM технологии:

- 1. Поскольку OFDM представляет собой технологию параллельной передачи данных, которая преобразует частотно-избирательный канал в множество узкополосных каналов, что является эффективным способом борьбы с замираниями.
- 2. В системах OFDM за счет использования пилот-сигналов упрощается оценка частотных характеристик канала.
- 3. Использование защитного интервала позволяет снизить эффект от интерференции между многолучевыми компонентами.

- 4. Ортогональность поднесущих OFDM обеспечивает высокую спектральную эффективность.
- 5. Количество, полосу и модуляцию поднесущих можно регулировать в соответствии с требованием беспроводной системы связи.

На основании выше сказанного, можно сделать вывод, что технология OFDM и ее разновидности, несмотря на ее недостатки, являются лучшим выбором для каналов с многолучевым распространением.

#### 1.5. Технология пространственного кодирования МІМО

Пространственное мультиплексирование или MIMO (Multiple Input Multiple Output) — это усовершенствования технология для систем связи, по сравнению с системами связи с одной антенной, в котором используется одновременная передача и приема с использованием множества антенн. При пространственном мультиплексировании каждая передающая антенна передает независимый поток данных, а каждый приемник принимает все эти информационные потоки. Затем составляется матрица канала, которая описывает связь между отдельными парами передающих и приемных антенн

$$H_{i} = \begin{bmatrix} h_{1,1}^{(i)} & \dots & h_{1,k}^{(i)} & \dots & h_{1,N_{T}}^{(i)} \\ \vdots & \ddots & \vdots & & \vdots \\ h_{r,1}^{(i)} & \vdots & h_{r,k}^{(i)} & \dots & h_{r,N_{T}}^{(i)} \\ \vdots & \ddots & \vdots & & \vdots \\ h_{N_{R},1}^{(i)} & \vdots & h_{N_{R},k}^{(i)} & \dots & h_{N_{R},N_{T}}^{(i)} \end{bmatrix},$$

$$(1.6)$$

где  $h_{r,k}^{(i)}$  представляет і-й элемент матрицы канала  $h_{r,k}$ , который описывает связь между г-й приемной и k-й передающей антеннами.

Данная матрица позволяет думодулировать полученные независимые данные с мощью простых математических операций [37, 38].

$$\begin{bmatrix} y_1 \\ y_2 \\ M \\ y_U \end{bmatrix} = \begin{bmatrix} h_{11} & h_{12} & L & h_{1S} \\ h_{21} & h_{22} & L & h_{2S} \\ M & M & O & M \\ h_{U1} & h_{U2} & L & h_{SU} \end{bmatrix} \cdot \begin{bmatrix} x_1 \\ x_2 \\ M \\ x_S \end{bmatrix} + \begin{bmatrix} n_1 \\ n_2 \\ M \\ n_U \end{bmatrix}$$
(1.7)

Простыми словами можно сказать, что технология МІМО позволяет формировать несколько параллельных независимых поток данных в одной полосе частот. Количество таких поток равняется количеству передающих антенн и в теории скорость передачи должна пропорционально расти с просто количества антенн, но в реальности из-за роста интерференции пространственных потоков между отдельными антеннами этого не происходит. На рисунке 1.3 показана упрощенная схема такой системы связи, где блок SM является пространственным мультиплексором.

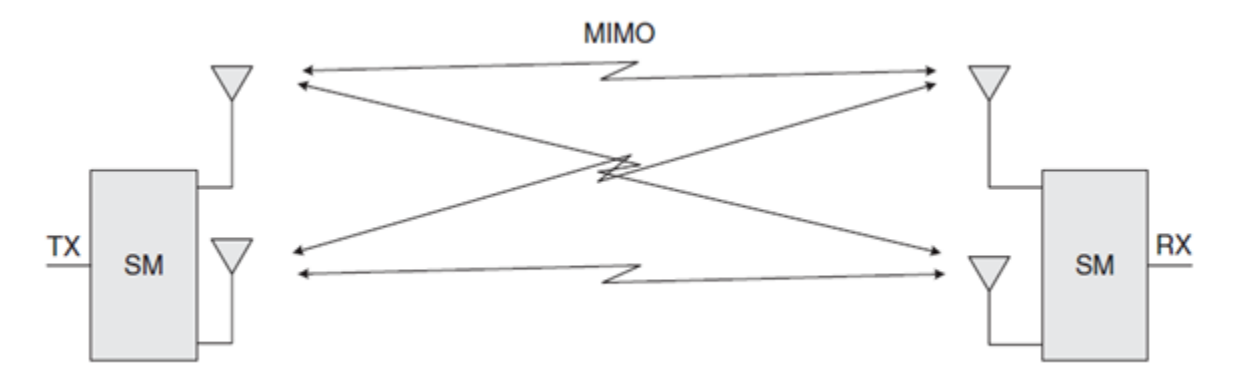


Рисунок 1.3. Структура системы связи МІМО

Теоретические исследования методов пространственного кодирования МІМО были рассмотрены в работах [39, 40], в которых описывается, что пропускная способность систем связи в каналах с замиранием может значительно возрасти при использовании нескольких антенн. В этих источниках был проведен теоретический анализ пропускной способности каналов МІМО.

Основной задачей приемника является оценка матрицы канала (1.6) для дальнейшего декодирования независимых пространственных информационных потоков. Развитие пространственно-временного кодирования привело к появлению множества различных алгоритмов, которые представлены в [39, 41, 42]. Рассмотрим наиболее популярные методы оценки матрицы канала.

Zero-Forcing приемник. Данный алгоритм характеризуется низкой вычислительной сложностью и является одним их популярных методов декодирования МІМО сигналов. Его главным недостатком является то, что производительность может заметно снижаться при увеличении шума. Эквалайзер Zero-Forcing (ZF) применяет обратную частотную характеристику канала к полученному сигналу, чтобы восстановить сигнал после прохождения канала [43].

Приемник ZF выполняет оценку канала минимизацией функции  $J_{ZF}(X) = |S - HX|^2$  как описано в [25].

$$Z_{ZF} = (H^H H)^{-1} H^H S + N_{ZF}, (1.8)$$

где  $(.)^H$  – операция Эрмитова сопряжения;  $(H^H H)^{-1} H^H$  – псевдообратная матрица;  $Z_{ZF}$  – шум.

В частном случае, когда приемник и передатчик имеет равное количество антенн выражение (1.8) можно упростить

$$X_{ZF} = H^{-1}S + N_{ZF}$$
. (1.9)

Метод минимума среднеквадратической ошибки (MMSE). Для минимизации межсимвольной интерференции и эффектов аддитивного шума коэффициенты эквалайзера могут быть оптимизированы с использованием

критерия минимальной среднеквадратичной ошибки. Задача приемника MMSE состоит в том, чтобы свести к минимуму ошибку оценки передаваемого символа, обеспечив минимальную среднеквадратичную ошибку

$$J_{MMSE} = \left| \hat{X} - X \right|^2, \tag{1.10}$$

где  $\hat{X}$  — оценка передаваемого сигнала.

Представим оценку в виде  $\hat{X} = H^{-1}S$ , в этом случае (1.10) можно представить в виде

$$J_{MMSE}(H) = (HS - X)(HS - X)^{H}.$$
 (1.11)

Если найти производную данного выражения по H и приравнять ее к нулю [25, 44, 45] получим следующее соотношение для оценки с помощью метода MMSE

$$X_{MMSE} = H^{H} (HH^{H} + \sigma_{n}^{2})^{-1} S + N_{MMSE}, \tag{1.12}$$

где  $\sigma_n$ – СКО шума.

Еще одним из важны параметров системы MIMO является пропускная способность канала, которая является основной теоритической мерой производительности канала связи. Пропускная способность канала является приблизительной величиной, так как при ее расчете не учитывается множество факторов присущих реальным системам связи.

Пропускная способность характеризует количество бит, которые можно передать без ошибок в секунду в полосе частот 1 Гц и определяется по формуле [46-49].

$$C = \max\left(log_2\left[\det\left(I_{NRx} + \frac{\rho}{N_{TX}}HH^H\right)\right]\right)$$
, бит /c/Гц, (1.13)

где  $\rho$  – отношение сигнал/шум (SNR – signal-to-noise ratio).

Основная причина, по которой измеряется пропускная способность, заключается в определении достижимого уровня пропускной способности, на которую влияют задержки и потери пакетов.

#### 1.6. Адаптивная обработка сигналов

являются дополнительной Адаптивные антенные решетки стандарта IEEE 802.16. Эти системы представляют собой современные технологии, которые позволяют формировать характеристику направленности антенны в определенном направлении. Этого означает, что передача и прием могут осуществляться направленно в зависимости от характеристик окружающей среды. Такие системы обладают хорошими свойствами подавления помех В канале переотражениями, cположительно сказывается на отношении сигнал/шум. Использование адаптивных антенн тесно связано с технологией МІМО, которая имеет ряд обработке различных пространственных преимуществ при Благодаря адаптации такие системы обеспечивают прием сигналов по различным путям в многолучевом канале за счет приема пространственного разнесения антенн. Формирование характеристик направленности антенны выполняется за счет весовой обработки сигналов с элементов антенной решетки. Расчет весового вектора выполняется по заданному алгоритму, который позволяется добиться требуемых режимов работы системы связи. В зависимости от критерия оптимальной результат весовой обработки может максимизировать отношение сигнала к сумме помехи и шума или критерий максимальной средней мощности на выходе приемника. Задачей вычисления оптимального весового вектора занимается адаптивный процессор, который является основой блока адаптивной обработки.

Кроме адаптивного формирования характеристики направленности существуют другие методы адаптивной работы системы связи, например адаптивная модуляция [50-52]. Которая заключается и адаптивном изменение схемы модуляции несущей или поднесущих сигнала. Примером цифровых метод манипуляции могут служить следующие виды: BPSK, QPSK, BPSK, 8-PSK, 8-QAM, 16-QAM и 64-QAM. При наличии обратной связи передатчик может адаптивно изменять вид манипуляции в зависимости от характеристик беспроводной среды и помеховой обстановки.

#### 1.7. Выводы

В результате из этого раздела можно сделать следующие выводы:

- 1. Технология WiMAX предназначена для развертывания систем связи среднего радиуса действия. Может дополнять ИЛИ заменить уже существующие проводные сети там где это необходимо. Технология WiMAX направлена на повышение спектральной эффективности, характеризуется быстрым развертыванием и позволяет снизить затраты для операторов и конечных пользователей. Технология WiMAX устойчиво работает в условия городской среды с переотражениями и может работать с как с мобильными, так и стационарными станциями.
- 2. Применение многочастотных видов модуляции позволяет эффективно бороться с замираниями сигналов, что характерно для городской среды с плотной застройкой. Это достигается за счет разделение частотного

диапазона на множество параллельных узкополосных подканалов. За счет этого повышается устойчивость системы к частотно-селективным каналам. Кроме того за счет ортогональности поднесущих добиваются эффективного использования спектра.

- 3. Проведен анализ систем с пространственно-временной обработкой сигналов. Описана эффективность системы МІМО с точки зрения увеличения пропускной способности беспроводного канала. Также показано, что снижение вероятности битовых ошибок и повышение спектральной эффективности являются основными задачами в развитии современных беспроводной Благодаря систем связи. использованию методов пространственного кодирования этот вопрос уже в значительной степени решен в радиосвязи, но недостаточно просто увеличить скорость передачи информации, также необходимо обеспечить низкую вероятность битовой ошибки. Эффективная скорость передачи данных потока будет уменьшаться, если будет расти вероятность ошибки при передаче информации, поскольку только количество успешно отправленных битов определяет скорость потока. В результате необходимо разработать и оценить алгоритмы уменьшения затухания за счет фильтрации канальных помех.
- 4. Представлены основные идеи адаптивной обработки сигналов в системах беспроводной связи. Основным и наиболее эффективным в точки зрения помехоустойчивости является подход на основе формирования пространственной характеристики направленности антенны путем весовой обработки сигналов на выходе элементов антенной решетки.

#### 2. КАНАЛ WIMAX, МОДЕЛИ СИГНАЛОВ, ПОМЕХ И ШУМОВ

#### 2.1. Беспроводной канал связи

Наличие модели беспроводного канала является обязательным условием для моделирования системы связи. Такая модель, пусть и приближенно, описывает характер распространения сигналов в среде. От того насколько точно описана конкретная окружающая среда будет зависеть точность различных результатов моделирования. Для создания такой математической модели беспроводной среды необходимо учитывать как можно больше реальных факторов, связанных с распространением сигналов, обеспечить наиболее точные результаты статистического моделирования. В этом разделе описываются факторы, влияющие на распространение сигналов в беспроводном канале, иллюстрируется, какие эффекты включены в модель наиболее канала, которые позволяют реалистично описать среду, подходящую для анализа характеристик беспроводных технологий WiMAX. К наиболее значимым характеристикам канала можно отнести следующие эффекты:

- 1. Потери распространения. При распространении nymu электромагнитной волны в пространстве величина ее мощности постоянно уменьшается с расстоянием, и это явление известно как потери при распространении волны. Затухание сигала, зависит не только от расстояния, но и от длины волны, коэффициента усиления передающей антенны, коэффициента усиления приемной антенны И характеристик среды распространения.
- 2. Затенение, отражение, дифракция и рассеяние. В беспроводной среде распространения сигналов могут возникать затенение сигнала, его

множественно переотражение и рассеяние, приводящие существенному искажению принятого сигнала или его полной потери. Различные препятствия, особенно в городской местности, могут привозить к затенению передатчика и приемника, т.е. когда между последними отсутствует прямая видимость. Отражения сигнала возникают, когда часть сигнала может быть отражена от объекта, размеры которого превышают длину волны. Взаимодействуя с объектами различного размера на границах при резкой смене свойств среды распространения, сигнал также может подвергаться рассеянию и дифракции, которые могут вызвать эффекты затухания и искажения в сигнале.

- 3. Многолучевое (многопутное multipath) распространение. Сигнал, который подвергается отражению, дифрагированию и рассеянию, достигает приемника ПО различным косвенным путям, которые (искажают) конструктивно и/или разрушительно усиливают или ослабляют сигнал. Каждый поступающий сигнал может отличаться по амплитуде, фазе и смещению несущей. Множественные версии сигнала, приходящие по разным путям к приемнику, вызывают разброс задержки в сигнале, который приводит к появлению в раскрыве приемной антенной системы задержанных и зашумленных копий сигнала, растягивает исходный сигнал во времени, вызывая эффект размытия. Эффект размытия вызывает межсимвольные искажения (Inter Symbol Interference, ISI) в принятом сигнале. Каждый путь сопровождается до 20 (по модели IEEE: 3GPP) подпутей, так как при отражении поверхность имеет до 20 точек отражения. (например, от лицевой стенки здания).
- 4. Эффекты затухания. Относительное перемещение передатчика и приемника, а также изменения среды распространения во времени могут способствовать условиям затухания наряду с многолучевым

распространением. Эти эффекты вызывают изменение траекторий распространения сигнала во времени. При различных амплитудах и определенных задержках сигналов, приходящих к приемнику по разным траекториям, изменяющимся во времени, суммарный сигнал на входе приемника может приближаться к нулю, что известно как замирание. Эффекты затухания можно разделить на три категории:

- Крупномасштабные эффекты потери пути, смоделированные с помощью огибающей, которая уменьшается с расстоянием.
- Крупномасштабные и среднемасштабные медленно изменяющиеся эффекты затенения, моделируемые случайной амплитудой, имеющей логнормальное распределение.
- Мелкомасштабные быстро меняющиеся эффекты, смоделированные как амплитуда случайного канала с использованием распределения Релея-Райса для компонентов в зоне прямой видимости (LOS) и распределения Рэлея для компонентов вне прямой видимости (NLOS).

Распространение радиоволн по каналу прямой видимости происходит непосредственно при наличии прямой видимости между передатчиком и приемником. На рисунке 2.1 показано, что при наличии прямой видимости передаваемый сигнал поступает напрямую в приемную антенну, отражение от земной поверхности не учитываем. Такой путь называется прямой, сигнал, проходящий по такому пути, подвергается только эффекту затухания, который зависит от расстояния и характеристики беспроводной среды. Связь при наличии прямого пути наиболее устойчивая, так как такой сигнал при приеме обладает наибольшим отношением сигнал/шум.

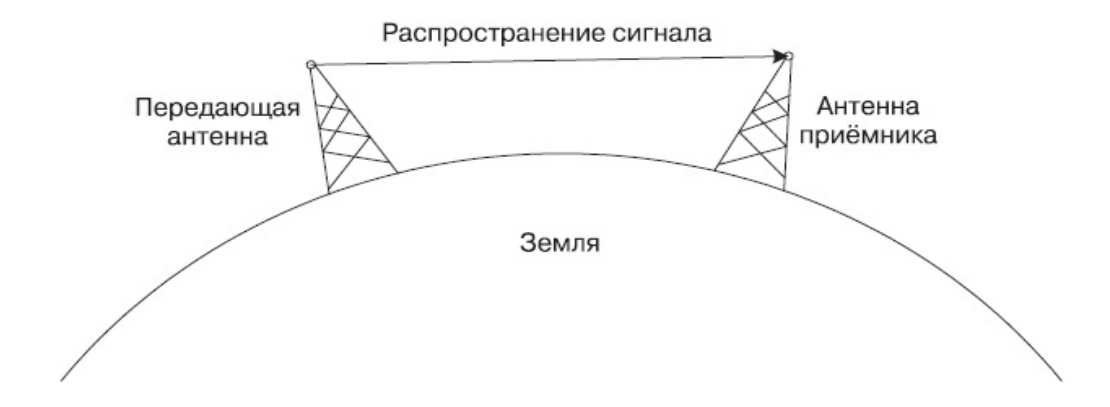
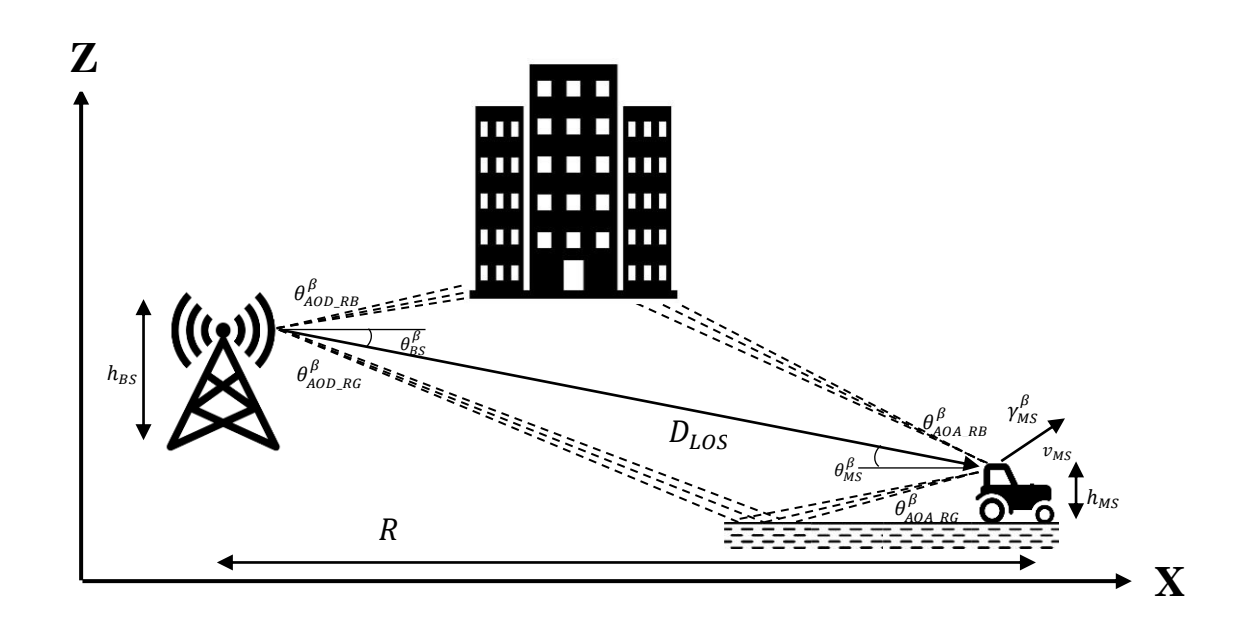


Рисунок 2.1 – Распространение по каналу прямой видимости

Если между передатчиком и приемником есть преграда в виде крупного объекта, то этот объект затеняет приемник, который находится вне прямой видимости (NLOS).

Для модулирования системы беспроводной связи WiMAX на основе MIMO принципа была разработана 3D-модель канала, которая учитывает множество фактором, таки как азимут и угол места для переотраженных смоделировать сигналов, ЧТО позволяет ситуацию, когда сигналы распространяются в пространстве, поскольку антенна базовой и мобильной находятся на разной высоте. Учитывает станции обычно движение мобильной станции, наличие или отсутствие прямой видимости, отражения от земной поверхности. Все выше сказанное иллюстрирует рисунок 2.2 и рисунок 2.3



Рисунке 2.2. – Модель распространения сигналов в канале плоскость XZ

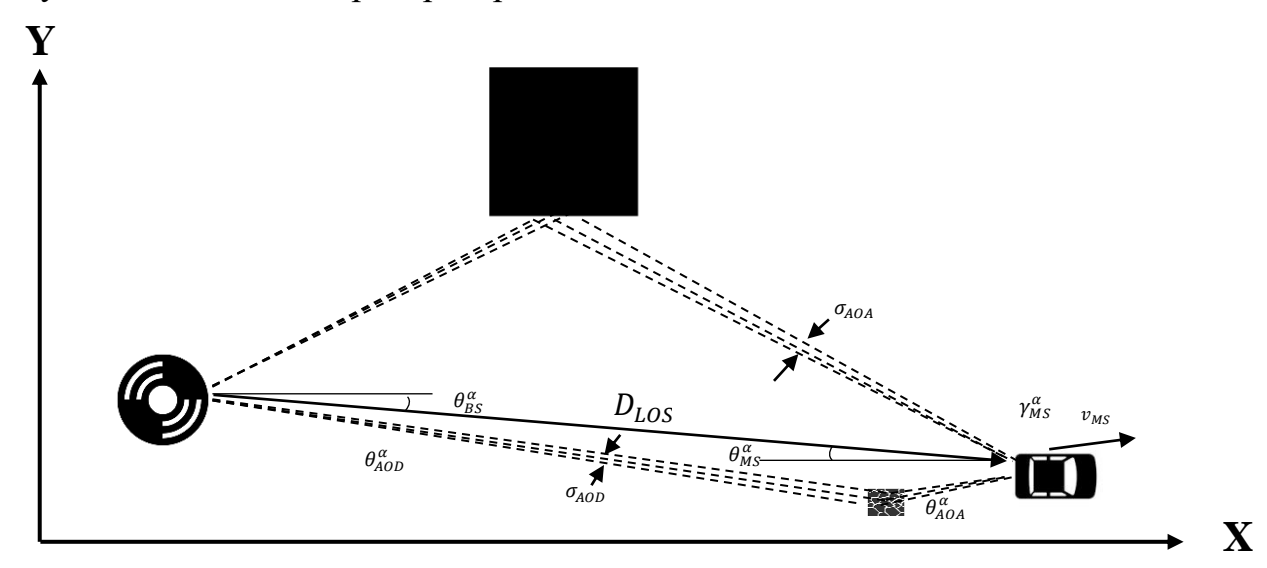


Рисунок 2.3 - Модель распространения сигналов в канале плоскость ХҮ

В общем случае канал WiMAX представляет собой стохастическую модель, которая случайным образом моделирует условия распространения сигналов, такие как затухание, в области тени, величину задержки сигнала, изменения фазы сигнала после отражения от поверхности, потери на трассе и угловой разброс при отражении сигналов, относительно движение

передатчика и приемника. 3D-модель канала учитывает распространение сигнала по азимуту и углу места. На рисунке 2.2 показаны пути распространения между мобильной и базовой станцией в плоскости XZ, показаны отражения от здания и земли, а также показан прямой путь прохождения сигнала. На рисунке 2.2 показана геометрическая модель в плоскости ХҮ, учитывающая отражения сигнала от зданий и различных объектов. В данной наземных модели В канале рассматривается многолучевое распространение сигналов как отражение от зданий, объектов и земной поверхности.

Положение в пространстве передающей BS (базовой станции) и приемной MS (мобильной станции) задается следующими параметрами высота, приемной/передающей антенны такими как, горизонтальным расстоянием R, при этом расстояние в горизонтальной плоскости учитывает положение базовой и мобильной станций на плоскости. На рисунке 2.2 и рисунке 2.3  $D_{LOS}$  описывает длину прямого пути, а углы  $\theta_{BS}^{\alpha}$ и  $\theta_{MS}^{\,\alpha}$  описывают угловые параметры луча в плоскости азимута и угла места и рассчитываются по законам геометрической оптики по известным значениям расстояния и высоты базовой и мобильной станции. В модели предполагается, что базовая станция является неподвижной, а мобильная может перемещаться, такое движение описывается вектором скорости  $v_{MS}$ , при этом углы  $\gamma_{MS}^{\alpha}$  и  $\gamma_{MS}^{\beta}$  описывают направление движения. Аналогично стандарту 3GPP в модели сигналы, которые излучаются передающей антенной, описываются углами  $\theta_{AOD}^{\,\alpha},\,\theta_{AOD}^{\,\beta}$  (AoD, angle-of-departure), сигналы поступающие в приемную антенну углами  $\theta_{AOA}^{\alpha}$ ,  $\theta_{AOA}^{\beta}$  (AoA, angle-of-arrival), значение этих углов в модели задается случайным образом, тем самым имитируя различные отражающие поверхности, которые могу возникать в

реальной окружающей среде. Кроме того в модели учитывается, что отражение происходит не от точечного источника, а от множества точечных источников расположенных на поверхности объекта. В результате при отражении образуется множество подпутей относительно основного пути, которые характеризуются значениями  $\sigma_{AOD}$  и  $\sigma_{AOA}$ , и для простоты считаются одинаковыми в обеих плоскостях.

На основе выше сказанного можно записать общую формулу для импульсной характеристики многопутного канала следующим выражением [26, 53-56].

$$h(t,\tau) = \sum_{n=1}^{N} a_n(t)\delta(\tau - \tau_n(t)), \tag{2.1}$$

где  $a_n(t)$  –амплитуда n-го пути, которая изменяется во времени,  $\tau_n(t)$  – задержка распространения сигнала для n-го пути, N – общее количество путей.

Более конкретно импульсаня характеристка для представнного 3D канала WiMAX ее можно записать в следующем виде

$$h(t,\tau) = h^{LOS}(t,\tau) + h^{RB}(t,\tau) + h^{RG}(t,\tau),$$
 (2. 2)

где  $h^{LOS}(t,\tau)$  — прямой путь прохождения сигнала;  $h^{RB}(t,\tau)$  — отражение от различных окружающих объектов;  $h^{RG}(t,\tau)$  — отражение от поверхности земли.

Все составляющие формулы (2.2) описывают все возможные пути распространения сигала в модели. Каждый компонент, за исключением прямого пути, содержит п подпутей. Общее количество отраженных сигналов зависит от расстояния между передатчиком и приемником, а также от количества окружающих объектов и здание для городской среды. Если мобильная станция движется это приводит к появление эффекта Доплера,

который добавляет как смещение частоты к компонентам многолучевого распространения.

Математически прямой путь можно описать в следующем виде [26, 57-59].

$$h_{S,u}^{LOS}(t,\tau) = \sqrt{\frac{K}{K+1}} \cdot \sqrt{G_{BS}\left(\theta_{BS}^{\alpha}, \theta_{BS}^{\beta}\right)} \cdot \sqrt{G_{MS}\left(\theta_{MS}^{\alpha}, \theta_{MS}^{\beta}\right)} \cdot L_{S}(D_{LOS}) \cdot L_{A}(D_{LOS}) \cdot \delta(\tau - \tau_{LOS}) \exp(jkd_{BS}^{1} \sin(\theta_{BS}^{\alpha})) \exp(jkd_{BS}^{2} \sin(\theta_{BS}^{\beta})) \times \exp(jkd_{MS}^{1} \sin(\theta_{MS}^{\alpha})) \exp(jkd_{MS}^{2} \sin(\theta_{MS}^{\beta})) \times \exp(jK[v_{BS}\cos(\theta_{BS}^{\alpha} - \gamma_{BS}^{\alpha})\cos(\theta_{BS}^{\beta} - \gamma_{BS}^{\beta}) + v_{MS}\cos(\theta_{MS}^{\alpha} - \gamma_{MS}^{\alpha})\cos(\theta_{MS}^{\beta} - \gamma_{MS}^{\beta})]t),$$
(2.3)

где K – коэффициент Райса; s – количество элементов антенной решетки BS; u – количество элементов антенной решетки MS;  $L_s(D)$  – потери при распространении [26, 35, 60];  $G_{BS}(\theta^\alpha, \theta^\beta)$  – коэффициент усиления передатчика;  $G_{MS}(\theta^\alpha_{MS}, \theta^\beta_{MS})$  – коэффициент усиления приемника;  $d^1_{BS}$  – расстояние между элементами антенной решетки BS в горизонтальной плоскости;  $d^2_{BS}$  – расстояние между элементами антенной решетки BS в вертикальной плоскости;  $d^1_{MS}$  – расстояние между элементами антенной решетки MS в горизонтальной плоскости;  $d^2_{MS}$  – расстояние между элементами антенной элементами антенной решетки MS в вертикальной плоскости;

Отражение от объектов окружающие среды можно описать с помощью следующей формулы [26, 57, 61, 62]  $h^{RB}(t,\tau)$ :

$$h_{s,u,n}^{RB}(t,\tau) = \sqrt{\frac{1}{K+1}} \cdot L_S(D_n) \cdot \frac{1}{\sqrt{M}} \cdot \sum_{m=1}^{M} \sqrt{G_{BS}\left(\theta_{AOD_{RB},n,m}^{\alpha},\theta_{AOD_{RB},n,m}^{\beta}\right)} \times \frac{1}{\sqrt{G_{MS}\left(\theta_{AOA\_RB,n,m}^{\alpha},\theta_{AOA\_RB,n,m}^{\beta}\right)}} \times \frac{1}{\sqrt{G_{MS}\left(\theta_{AOA\_RB,n$$

$$\xi_{n,m} \emptyset_{n,m} \exp(jkd_{BS}^{1} \sin(\theta_{AOD\_RB,n,m}^{\alpha})) \exp(jkd_{BS}^{2} \sin(\theta_{AOD\_RB,n,m}^{\beta})) \times \\
\exp(jkd_{MS}^{1} \sin(\theta_{AOA\_RB,n,m}^{\alpha})) \exp(jkd_{MS}^{2} \sin(\theta_{AOA\_RB,n,m}^{\beta})) \times \\
\exp(jK[v_{BS} \cos(\theta_{AOD\_RB,n,m}^{\alpha} - \gamma_{BS}^{\alpha}) \cos(\theta_{AOD\_RB,n,m}^{\beta} - \gamma_{BS}^{\beta}) + \\
v_{MS} \cos(\theta_{AOA\_RB,n,m}^{\alpha} - \gamma_{MS}^{\alpha}) \cos(\theta_{AOA\_RB,n,m}^{\beta} - \gamma_{MS}^{\beta})]t), \qquad (2.4)$$

Отражение от поверхности земли  $h^{RG}(t,\tau)$  можно представить в виде:

$$h_{S,u,n}^{RG}(t,\tau) = \sqrt{\frac{1}{K+1}} \cdot L_{S}(D_{n}) \cdot \frac{1}{\sqrt{M}} \sum_{m=1}^{M} \sqrt{G_{BS}\left(\theta_{AOD_{RG},n,m}^{\alpha},\theta_{AOD_{RG},n,m}^{\beta}\right)} \times \left[ \sqrt{\frac{1}{K+1}} \cdot L_{S}(D_{n}) \cdot \frac{1}{\sqrt{M}} \sum_{m=1}^{M} \sqrt{G_{MS}\left(\theta_{AOA_{RB},n,m}^{\alpha},\theta_{AOA_{RG},n,m}^{\beta}\right)} \times \left[ \sqrt{\frac{1}{K+1}} \cdot L_{S}(D_{n}) \cdot \frac{1}{\sqrt{M}} \sum_{m=1}^{M} \sqrt{G_{MS}\left(\theta_{AOA_{RB},n,m}^{\alpha},\theta_{AOA_{RG},n,m}^{\beta}\right)} \times \left[ \sqrt{\frac{1}{K+1}} \cdot L_{S}(D_{n}) \cdot \frac{1}{\sqrt{M}} \sum_{m=1}^{M} \sqrt{G_{MS}\left(\theta_{AOA_{RG},n,m}^{\alpha},\theta_{AOA_{RG},n,m}^{\beta}\right)} \times \left[ \sqrt{\frac{1}{K+1}} \cdot L_{S}(D_{n}) \cdot \frac{1}{\sqrt{M}} \sum_{m=1}^{M} \sqrt{G_{MS}\left(\theta_{AOA_{RG},n,m}^{\alpha},\theta_{AOA_{RG},n,m}^{\beta}\right)} \times \left[ \sqrt{\frac{1}{K+1}} \cdot L_{S}(D_{n}) \cdot \frac{1}{\sqrt{M}} \sum_{m=1}^{M} \sqrt{G_{MS}\left(\theta_{AOA_{RG},n,m}^{\alpha},\theta_{AOA_{RG},n,m}^{\beta}\right)} \times \left[ \sqrt{\frac{1}{K+1}} \cdot L_{S}(D_{n}) \cdot \frac{1}{\sqrt{M}} \sum_{m=1}^{M} \sqrt{G_{MS}\left(\theta_{AOA_{RG},n,m}^{\alpha},\theta_{AOA_{RG},n,m}^{\beta}\right)} \times \left[ \sqrt{\frac{1}{K+1}} \cdot L_{S}(D_{n}) \cdot \frac{1}{\sqrt{M}} \sum_{m=1}^{M} \sqrt{G_{MS}\left(\theta_{AOA_{RG},n,m}^{\alpha},\theta_{AOA_{RG},n,m}^{\beta}\right)} \times \left[ \sqrt{\frac{1}{K+1}} \cdot L_{S}(D_{n}) \cdot \frac{1}{\sqrt{M}} \sum_{m=1}^{M} \sqrt{G_{MS}\left(\theta_{AOA_{RG},n,m}^{\alpha},\theta_{AOA_{RG},n,m}^{\beta}\right)} \times \left[ \sqrt{\frac{1}{K+1}} \cdot L_{S}(D_{n}) \cdot \frac{1}{\sqrt{M}} \sum_{m=1}^{M} \sqrt{G_{MS}\left(\theta_{AOA_{RG},n,m}^{\alpha},\theta_{AOA_{RG},n,m}^{\beta}\right)} \times \left[ \sqrt{\frac{1}{K+1}} \cdot L_{S}(D_{n}) \cdot \frac{1}{\sqrt{M}} \sum_{m=1}^{M} \sqrt{G_{MS}\left(\theta_{AOA_{RG},n,m}^{\alpha},\theta_{AOA_{RG},n,m}^{\beta}\right)} \times \left[ \sqrt{\frac{1}{K+1}} \cdot L_{S}(D_{n}) \cdot \frac{1}{\sqrt{M}} \sum_{m=1}^{M} \sqrt{G_{MS}\left(\theta_{AOA_{RG},n,m}^{\alpha},\theta_{AOA_{RG},n,m}^{\beta}\right)} \times \left[ \sqrt{\frac{1}{K+1}} \cdot L_{S}(D_{n}) \cdot \frac{1}{\sqrt{M}} \sum_{m=1}^{M} \sqrt{G_{MS}\left(\theta_{AOA_{RG},n,m}^{\alpha},\theta_{AOA_{RG},n,m}^{\beta}\right)} \times \left[ \sqrt{\frac{1}{K+1}} \cdot L_{S}(D_{n}) \cdot \frac{1}{\sqrt{M}} \right] \times \left[ \sqrt{\frac{1}{K+1}} \cdot L_{S}(D_{n}) \cdot L_{S}(D_{n}) \cdot L_{S}(D_{n}) \right] \times \left[ \sqrt{\frac{1}{K+1}} \cdot L_{S}(D_{n}) \cdot L_{S}(D_{n}) \cdot L_{S}(D_{n}) \right] \times \left[ \sqrt{\frac{1}{K+1}} \cdot L_{S}(D_{n}) \cdot L_{S}(D_{n}) \cdot L_{S}(D_{n}) \right] \times \left[ \sqrt{\frac{1}{K+1}} \cdot L_{S}(D_{n}) \cdot L_{S}(D_{n}) \cdot L_{S}(D_{n}) \right] \times \left[ \sqrt{\frac{1}{K+1}} \cdot L_{S}(D_{n}) \cdot L_{S}($$

где  $\xi_{n,m}$  – амплитуда сигнала от макроотражателей,  $\emptyset_{n,m}$  – фаза сигнала при отражении от макроотражателей.

Так как взаимной расположение базовой и мобильной станции генерируется случайным образом, то задержка распространения рассчитывается на основе этих параметров.

# 2.2. Описание моделей сигналов, помех и шумов, используемых при разработке и исследовании алгоритма

Как было сказано ранее в первой главе технология WiMAX использует многочастотные виды модуляции для передачи сигналов, которые являются лучшим решением для борьбы с замираниями в многолучевом канале связи. Поэтом в работе будет также применена технология OFDM для модуляции и

передачи сигналов от передатчика к приемнику. Сигнал имеет символьную структуру и состоит из множества поднисущих сигналов, которые несут полезную информацию или служебную информацию (пилот-сигналы) для работы системы связи. Кроме того OFDM-сигнал может иметь защитные поднесущие на границах полосы сигнала для снижения внеполосного излучения. Пилот-сигналы не несут полезную информацию, а используются в блоке демодуляции для оценки параметров беспроводного канала связи. Их структура и расположение в символе зависит от условий, в которых предстоит работать системе связи. Так, например символ OFDM может стоять из информационных поднесущих и пилот поднесущих, положение которых может быть фиксировано или изменяться от символа к символу [63-65]. Такой подход оправдан когда характеристики канала быстро изменяются во времени и оценку канала необходимо проводить постоянно. В этом случае частотная характеристика канала может быть рассчитана в определенных затем интерполирована на соседние поднесущие. характеристики канала не изменяются или изменяются медленно, то символы с данными могут чередоваться со служебными символами, которые состоят только из пилот-поднесущих. В этом случае оценка канала будет происходить более точно, но только если канала медленно изменяется [66-68].

В качестве модуляции поднесущих обычно в системах WiMAX используют один из видов цифровой манипуляции сигналов, такие как BPSK, QPSK, 16-QAM и 64-QAM[69-72].

Поскольку для системы МІМО принцип передачи OFDM одинаковый между любой отдельной парой для передающих антенн Мt и приемных антенн Мr, то сначала рассмотрим принцип работы OFDM для случая с одной антенной, а затем расширим до системы с множеством антенн.

Представление одного OFDM- символа в частотной области с одной антенной и N поднесущих можно представить в виде

$$X_n = [x_n(0)x_n(1)\dots x_n(N-1)]^{\tau}. (2.6)$$

Модулятор OFDM использует входной сигнал Nx1 в частотной области и получает представление символа OFDM во временной области, путем применения N-точечного обратного быстрого преобразования Фурье (IFFT). Перед передачей сигнала по каналу связи к результату во временной области добавляется защитный интервал, известный как циклический префикс. Циклический префикс получается путем копирования последних n отсчетов во временной области в начало символа для защиты от межсимвольной интерференции.

Рассмотрим, какие именно пилот-сигналы следует передавать для оценки канала. Для систем SISO-OFDM используются ортогональные сигналы из ряда Фурье в качестве оптимальных как описано в [33, 73-75].

$$c(p) = e^{-j2\pi p/P}$$
, (2.7)

где Р – общее количество пилот-сигналов.

Для системы MIMO-OFDM такая структура должна учитывать количество антенн, так как для каждой пары антенн пилот сигналы должны отличаться. Это связано с тем, что в системах MIMO сигналы от разных антенн передаются в одной и той же полосе частот, что приводит к помехам пилотным поднесущим от разных антенн. Задача состоит в том, чтобы выбрать пилотные сигналы таким образом, чтобы приемник мог однозначно оценить матрицу каналов по ним. Оптимальными сигналами также являются

сигналы основанные на дискретном преобразовании Фурье. Для этого модифицируем формулу (27) с учетом количества передающих антенн, в [73].

$$c(p) = e^{-j2\pi p N_{TX}/P}$$
 (2.8)

## 2.3. Использование пространственно-временной обработки для передачи по каналу связи

Применение технологии пространственно-временной обработки в системах связи позволяет значительно увеличить пропускную способность канала связи без необходимости расширения полосы частот как описано в [42, 76-79]. Однако применение таких технологий и требовательно к вычислительным ресурсам, такой подход оправдан в связи с ограниченным частотным ресурсом. Типичная структурная схема системы МІМО представлена на рисунке 2.18.

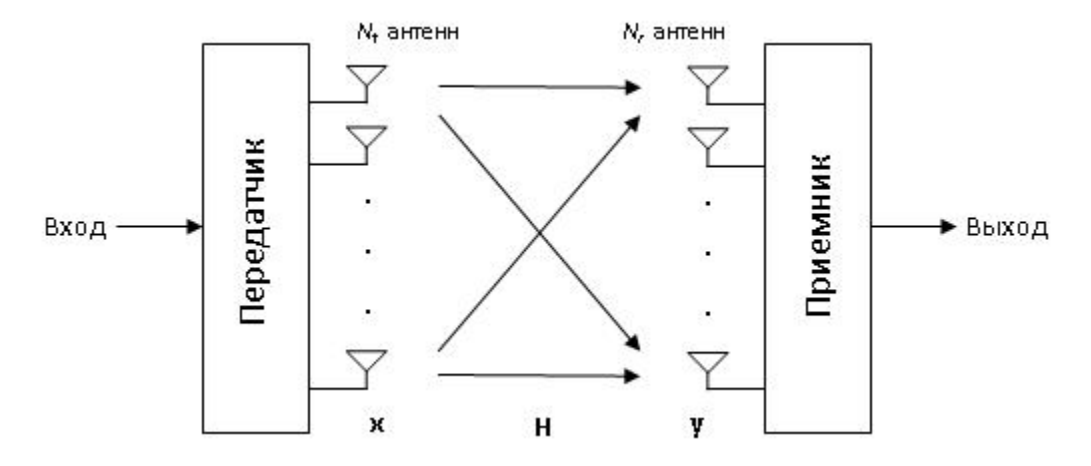


Рисунок 2.4 – Структурная схема системы МІМО

Использование технологии MIMO совместно с OFDM является наиболее предпочтительным решением для широкополосных систем связи с множеством абонентов. Так как такое решение позволяет не только увеличить пропускную способность и повысить спектральную

эффективность, но и обеспечить устойчивость к замираниям в многолучевом частотно-селективном канале.

Кроме того оценка характеристик канала с использованием пилот-сигналов OFDM-символа является походящим инструментом, поскольку ДЛЯ демодуляции МІМО каналов необходимо иметь оценку матрицы канала. Аналогично система с одной антенной пилот-сигналы несут информацию, которая используется приемником для оценки изменяющегося во времени канала. При этом информация и закон передачи пилот-сигналов априорно известны на принимающей стороне. Оценка канала на основе пилот-сигналов основана на таких известны методах, как метод наименьших квадратов LS и минимальной среднеквадратичной ошибки MMSE, которые метод рассматриваются в [33, 80-85].

Поскольку несколько антенн одновременно передаю независимые OFDMсигналы важно не только расположение пилот-сигналов в символе, но данные, которые на них передаются, поскольку пилот-сигналы одного символа не должны влиять на пилот-сигналы другого. Один из вариантов выбора значения пилот-сигналов описан в предыдущем разделе, но могут использоваться и другие[86].

Рассмотрим как демодулировать OFDM в системе MIMO. Их [33, 73] следует, что принятый сигнал можно записать в виде

$$Y^{r}(n) = \sum_{t=1}^{N_{t}} diag(S^{t}(n))Fh^{r,t} + \sum_{t=1}^{N_{t}} diag(B^{t}(n))Fh^{r,t} + N^{r}(n), \quad (2.9)$$

где  $h^{r,t}$  — импульсная характеристика; r, t — номер элемента антенной решетки BS и; n — номер символа OFDM;  $n=1\dots g$ ;  $N^r(n)=F\eta^r(n)$  — вектор шума; F — DFT матрица;  $\eta^r(n)$  — аддитивный гауссовский шум; S — информационный вектор; B — вектор данных пилот-сигналов;

Выражение (2.9) запишем в следующем виде

$$Y^r = Th^r + Ah^r + N^r , (2.10)$$

где

$$T = \begin{bmatrix} S_{diag}^{1}(1)F & \dots & S_{diag}^{N_{t}}(1)F \\ \vdots & \dots & \vdots \\ S_{diag}^{1}(g)F & \dots & S_{diag}^{N_{t}}(g)F \end{bmatrix};$$

$$A = \begin{bmatrix} B_{diag}^{1}(1)F & \dots & B_{diag}^{N_{t}}(1)F \\ \vdots & \dots & \vdots \\ B_{diag}^{1}(g)F & \dots & B_{diag}^{N_{t}}(g)F \end{bmatrix}. \tag{2.11}$$

Для оценки матрицы канала при использовании метода LS воспользуемся формулой описанной в [33, 73].

$$\hat{h}^r = A^+ Y^r \,, \tag{2.12}$$

где  $A^+ = (A^H A)^{-1} A^H$  псевдо-обратная матрицей.

Исходя из приведенного выше, формулу (2.109) запишем в виде

$$\hat{h}^r = h^r + A^+ T h^r + A^+ N^r \ . \tag{2.13}$$

Чтобы исключить помехи между пилотными сигналами и данными, необходимо обеспечить выполнение условия  $A^+T=0$ , тогда получим оценку импульсной характеристики канала  $\hat{h}^r$  состоит из истинного значения характеристики канала  $h^r$  и его шумовой составляющей:

$$\hat{h}^r = h^r + A^+ N^r \ . \tag{2.14}$$

Чтобы более точно выполнить оценку канала следует воспользоваться алгоритмом MMSE как это описано в [33, 87].

$$\hat{h}_{MMSE} = \hat{R}_h A^H (A \hat{R}_h A^H + \sigma^2 I)^{-1} Y , \qquad (2.15)$$

где  $\sigma^2$  – дисперсия шума;  $\widehat{\mathbf{R}}_h$  – оценка матрицы корреляции канала методом LS.

#### 2.4. Модели помех

В общем случае помеха приводит к процессу искажению передаваемого сигнала, когда он проходит по каналу связи между источником и приемником. Помехи могут возникать по целому ряду причин, начиная от шумового сигнала, добавляемого к полезному сигналу и внешнего заканчивая помехами от устройств, работающих на смежных частотах. Помехи считаются нежелательными, поскольку они могут снизить уровень отношения сигнал/шум в приемнике, что может ухудшить качество передачи информации. Существуют различные ТИПЫ помех Распространенные типы помех включают помехи в совместном канале (CCI), (ACI), собственные помехи соседних каналах помехи, помехи множественного доступа и межсимвольные помехи (ISI).

Перекрестные помехи. Помехи в совмещенном канале (CCI) – это перекрестные помехи от различных передающих устройств, которые используют один и тот же частотный канал. Эффект от помех в совмещенном помощью различных канале можно снизить  $\mathbf{c}$ схем управления распределения ресурсов. Помехи в совмещенном канале возникают в тех каналах, которые повторно используют один и тот же диапазон частот. Это вызывает перекрестные помехи, явление, при котором сигналы в одном канале влияют на сигналы в другом. Помехи в совмещенном канале также известны как межсотовые помехи.

Ключевая концепция в системах сотовой связи заключается в повторном использовании частоты, Она была разработана для предоставления услуг очень большому числу абонентов при использовании ограниченного спектра. Схемы повторного использования частот используются таким образом, чтобы максимально увеличить пропускную способность системы без значительного снижения производительности из-за возникающих помех. Плохо продуманный шаблон повторного использования может привести к серьезному увеличению влияния совместного канала [88-90]. Глубокое понимание производительности системы при наличии межканальных помех имеет значение для успешного проектирования многих приложений, таких И локальные сети [88, 90. 911. Эти факторы как сотовые сети производительности включают анализ особых типов замирания сигнала[90, 92], наличие или отсутствие фонового шума и количество независимых или коррелированных источников помех [90, 92, 93].

Помехи в соседнем канале. Помехи смежного канала (ACI) – это помехи, создаваемые между линиями связи, которые обмениваются данными в одном и том же географическом местоположении, используя соседние полосы частот. Передатчик, занимающий определенную полосу частот, также пропускает энергию на частоте, смежной с этой полосой. Внеполосные излучения воспринимаются другими приемниками как помехи. Влияние внеполосных излучений может быть количественно оценено с использованием коэффициента мощности смежного канала (ACPR).

Сигналы за пределами номинальной полосы частот создают помехи на внутриполосных частотах приемника. Чувствительность смежного канала (ACS) определяет способность приемника справляться с внеполосным источником помех. Свойства радиочастотной цепи, влияющие на

характеристики ACS, включают в себя; качество фильтров, разрядность аналого-цифрового преобразователя и линейность усилителей и микшеров.

Собственные помехи. Собственные помехи возникают из-за помех, создаваемых сигналами, которые передаются от общего передатчика. Величина создаваемых помех зависит от типа модуляции. В OFDM собственные помехи между поднесущими возникают из-за смещений несущей частоты, вызванных несоответствиями генератора, эффектом замиранием, вызванным радиальным движением Доплера и быстрым приемопередатчиков. Неидеальности приемопередатчика, нелинейность усилителя и дисбаланс IQ компонент комплексного сигнала, также могут быть источником собственных помех. Помехи между передачей по восходящей и нисходящей линиям связи в дуплексной системе могут классифицироваться как собственные помехи, поскольку возникают между сигналами, передаваемыми по одному и тому же двустороннему соединению. Эти помехи уменьшаются за счет использования дуплексных фильтров. Влияние собственных помех может быть уменьшено путем выбора нумерологии физического уровня таким образом, чтобы учитывались условия эксплуатации и технологию реализации.

Помехи при множественном доступе. Помехи множественного доступа относятся к помехам, возникающим при передаче сигналов от нескольких радиостанций, использующих один и тот же частотный ресурс, к одному приемнику. Теоретически физический уровень позволит осуществлять ортогональный множественный доступ, однако такие факторы, как ошибки радиочастотной схемы синхронизации, неидеальности влияние беспроводного распространения, поддерживать канала позволят не ортогональность практике. Важным на методом поддержания

ортогональности в сценариях множественного доступа является управление питанием.

Межсимвольная интерференция. Межсимвольные искажения ( Inter Symbol Interference, ISI) является одной видов искажения сигнала, при которой каждый передаваемый информационный символ оказывает влияние на последующие символы. Основной причиной ISI является многолучевое распространение, которое приводит к тому что сигналы, передаваемые от передатчика, перемещаются по нескольким путям. Они рассеиваются, дифрагируются, отражаются и преломляются объектами (деревьями, зданиями и холмами), проходя по каналу между передатчиком и приемником, из-за этого сигналы поступают в разное время и складываются в приемнике с разным затуханием, задержкой и с разной фазой. В зависимости от задержки и затухания сигналы могут усиливаться или взаимно ослаблять друг друга. В технологии OFDM уменьшить ISI можно путем использования защитного интервала или циклического префикса.

При формировании сигналов путей — отражения, например, от зданий, происходит от нескольких «блестящих» точек, распределенных по фасаду здания (есть разные модели такой отражающей системы), поэтому каждый путь имеет некоторое число подпутей с отличающимися длиной пути, а значит, отличающимися по фазе в раскрыве приемной антенной системы. Это приводит к некоторой нормализации сигнала (по центральной предельной теореме теории вероятности), что адекватно снижению отношения сигнал/шум.

Надо провести моделирование сигнала пути с учетом подпутей и оценить по критерию согласия  $\chi^2$ -Пирсона степень близости плотности вероятности сигнала пути к нормальному закону. Если эта близость тесная, то это приведет к полной потере передаваемой информации.

#### 2.5. Выводы

- 1. Описаны факторы, влияющие на распространение сигналов в беспроводных каналах, такие как потери на пути распределения, затенение, отражение, дифракция, рассеяние, многолучевое и затухание.
- 2. Разработана модель 3D-канала, учитывающая углы распространения сигнала при отражениях. Беспроводной канала для системы WiMAX разработан на основе общей схемы модели 3GPP/WiMAX. Модель канала WiMAX представляет собой стохастическую модель. Такие параметры как затухание, задержки распространения сигнала и угловой разброс, выбираются случайным образом, это позволяет смоделировать случайно расположение различных отражающих объектов в канале. Характеристики прямого пути, углы прихода сигнала в раскрыв приемной антенны и углы излучения сигнала передающей антенной, рассчитываются на основе по законам геометрической оптики. Трехмерная модель распространения сигналов показывает отражения от зданий, объектов и земли, а также показывает прямой путь.
- 3. Были описаны различные методы пространственной обработки, используемые в методах кодирования с несколькими антеннами. Пространственное кодирование повышает производительность системы, без увеличения пропускной способности передачи или расширения полосы сигнала.
- 4. Физический уровень WiMAX используют модуляцию OFDM для повышения производительности в частотно-селективных каналах с затуханием в среде где отсутствует прямой пути. Системы WiMAX поддерживают различные схемы модуляции, такие как BPSK, QPSK, 16-QAM и 64-QAM. OFDM является базовой технологией, используемой в платформе MIMO-WiMAX, где OFDM преобразует передачу нескольких

антенн по затухающим частотно-селективным каналам в набор плоских каналов.

## 3. АЛГОРИТМЫ ПРОСТРАНСТВЕННО-ВРЕМЕННОЙ ОБРАБОТКИ СИГНАЛОВ ИЗОБРАЖЕНИЙ ДЛЯ ТРЕХМЕРНЫХ БЕСПРОВОДНЫХ КАНАЛОВ С МНОЖЕСТВЕННЫМИ ПЕРЕОТРАЖЕНИЯМИ

#### 3.1. Особенности алгоритмов передачи изображения

Для передачи изображений по каналу связи важным фактором является пропускная способность. Обработка и передача большого количества изображений с высоким разрешением по беспроводному каналу связи является одной из задач различных мобильных систем связи. Быстрое развитие информационных технологий и широкополосного доступа в сеть интернет привело к росту медицинских услуг для населения. Современные больницы адаптируются к технологическому прогрессу и предоставляют медицинскому персоналу различные вспомогательные и технические ресурсы. В крупном технологическом развитии сыграло важную роль развитие телемедицины или «медицины на расстоянии». Что позволяет не обмен осуществлять медицинскими базами только данных больницами, который территориально находятся в различных регионах, но и оказывать медицинскую консультацию удаленно использованием мобильных сетей.

Надежная и быстрая диагностика важна в медицинской сфере для спасения жизни людей. Диагностика включает создание медицинских изображений, которые создаются с использованием многих способов, таких как магнитнорезонансная томография (МРТ), рентгенография, ультразвук, медицина, тактильная визуализация, термография, фотоакустическая электроэнцефалография (ЭЭГ). Изображения визуализация И генерируются во время медицинских тестов, таких как электрокардиография (ЭКГ) и магнитоэнцефалография (МЭГ). Так как размер этих изображений велик, требуется огромные базы данных для хранения и высокая пропускная

способность для передачи этих изображений без потери качества. В текущем сценарии передача изображений становится повседневной рутиной, и из-за этого возникает необходимость в эффективном способе передачи [94-96].

Стандарт WiMAX обеспечивает пропускную способность более 1 Гбит/с и обеспечивает связь в среде без прямой видимости между передатчиком и приемником благодаря использованию передовых методов обработки сигналов, таких как множественный вход и множественный выход (МІМО) и мультиплексирование с ортогональным частотным разделением (ОFDM), в сочетании с адаптивным алгоритмом.

## 3.2. Схематическое изображение передающей и приемной систем связи

Разработка модели системы беспроводной связи важна для создания и исследования эффективности адаптивных алгоритмов обработки сигналов.

Рассмотрим основные компоненты схемы модели канала связи, представленной на рисунке 3.1, в состав которой входят:

- блок преобразования и кодирования исходной битовой информации;
- блок модуляции и разнесения информации по количеству пространственных потоков
  - модулятор OFDM;
  - квадратурный преобразователь сигналов в аналоговую форму;
  - математический блок беспроводной среды;
- аналого-цифровой преобразователь с квадратурным демодулятором и блоком адаптации;
  - демодулятор OFDM;
- блок преобразования пространственных параллельных битовых потоков в один

– блока демодуляции и декодирования принятого битового потока.

Данный раздел рассматривает структуру основных узлов системы беспроводной, которая ляжет в основу программы для моделирования. Цифровые битовые потоки, используемые в качестве входных данных, могут нести речевые данные, видеоданные, управляющие директивы и т. д. Такая система изображена на рисунке 3.1, в которой исходная информация подается на вход кодера, где выполняется помехоустойчивое кодирование. по необходимости. затем полученный информационный мере поток направляется на цифровой модулятор, где модулируется одна из схем модуляции. Далее выполняется пространственно-временное кодирование и преобразованием информации на отдельные потоки.

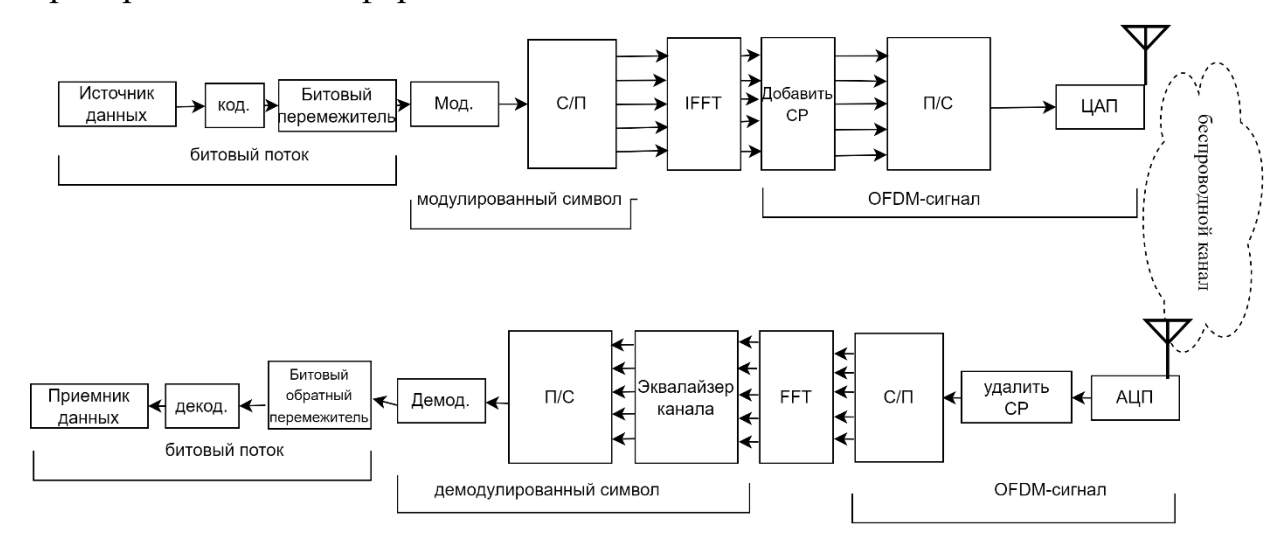


Рисунок 3.1 – Обобщенная структурная схема системы беспроводной связи

Блок OFDM после пространственной обработки модулирует каждый независимый поток. Спектр результирующей OFDM-символа с помощью квадратурного модулятора переносится на несущую частоту и с использованием аналого-цифрового преобразователя (ЦАП) преобразуется в аналоговую форму для излучения антенной решеткой. Принятый приемной антенной решеткой сигнал с помощью аналого-цифрового преобразователя

(АЦП) поступает на блок адаптации путем весовой обработки с выходов элементов антенны и затем с помощью квадратурного демодулятора переносится на промежуточную частоту для дальнейшей обработки. Далее идет блок демодулятора OFDM сигналов, который выполняет оценку матрица канала по пилот-сигналам и демодуляцию поднесущих. Выходной сигнал пространственного декодера представляет собой последовательный поток символов, который демодулируется и в выходной битовый поток. Структура системы с одной передающей и одной приемной антенны будет аналогична, кроме блока пространственной обработки.

Далее рассмотри более подробно основные узлы системы связи. Блок формирования OFDM-сигнала показан на рисунке 3.2. Входными отсчетами для данного блока являются комплексные числа с выхода цифрового модулятора одним их выбранных видов цифровой манипуляции QPSK, QAM, PSK, т.д. Количество таких блоков зависит ОТ количества Количество информационных поднесущих в пространственных потоков. символе OFDM определяет, сколько символов поступает в каждый блок модуляции, а полученные комплексные отсчеты обеспечивают параллельный поток сигналов для поднесущих OFDM. Затем добавляются защитные и пилотные поднесущие. Устройство быстрого обратного преобразования Фурье (IFFT), которое формирует результирующий OFDM-сигнал на выходе.

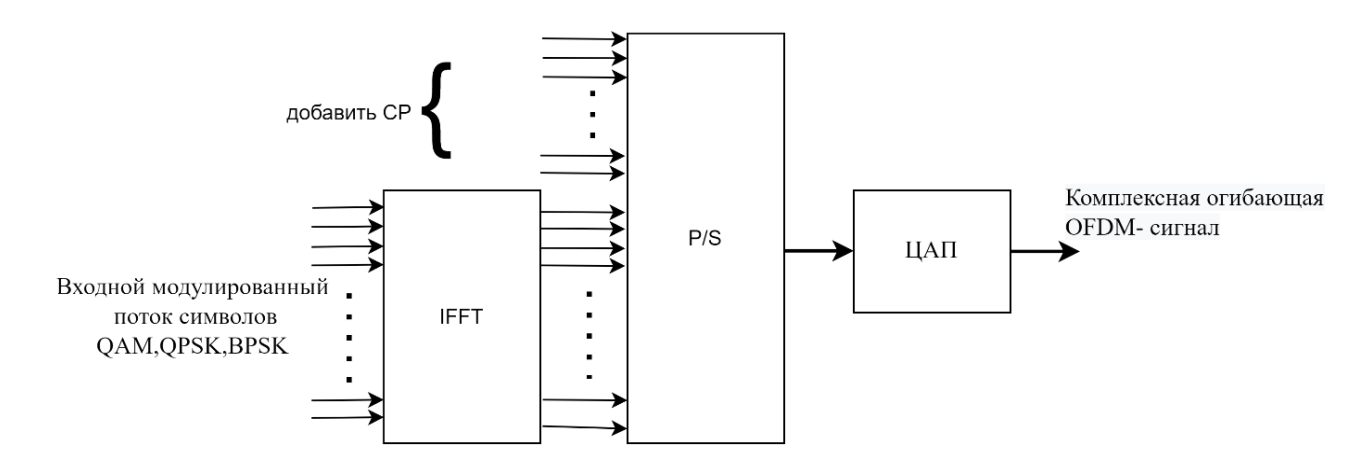


Рисунок 3.2 – Структурная схема формирования ОFDM-сигнала

Спектр переводится на несущую частоту квадратурным модулятором (см. рисунке 3.3). Действительная и мнимая части комплексного сигнала разделяются, а затем каждая часть интерполируется. При прохождении сигнала к антенне передатчика его квадратурные составляющие подаются на ЦАП, который преобразует цифровой сигнал в аналоговый. Опорный сигнал от квадратурного генератора умножается на квадратурную и синфазную составляющие. Затем сигнал поступает на вход усилителя передатчика и с помощью антенны излучается в канал.

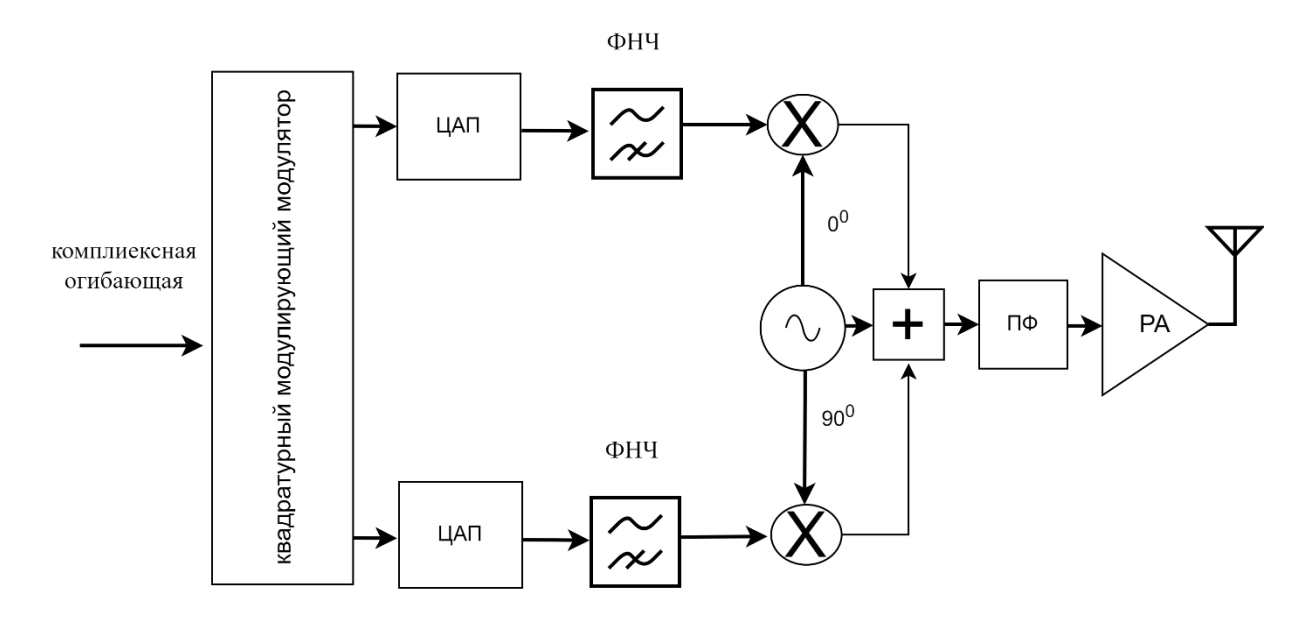


Рисунок 3.3 – Структурная схема квадратурного модулятора

После похождения через беспроводной канал сигнал поступает в приемную антенну, а заем после первичной обработки на вход квадратурного демодулятора рисунк 3.4.

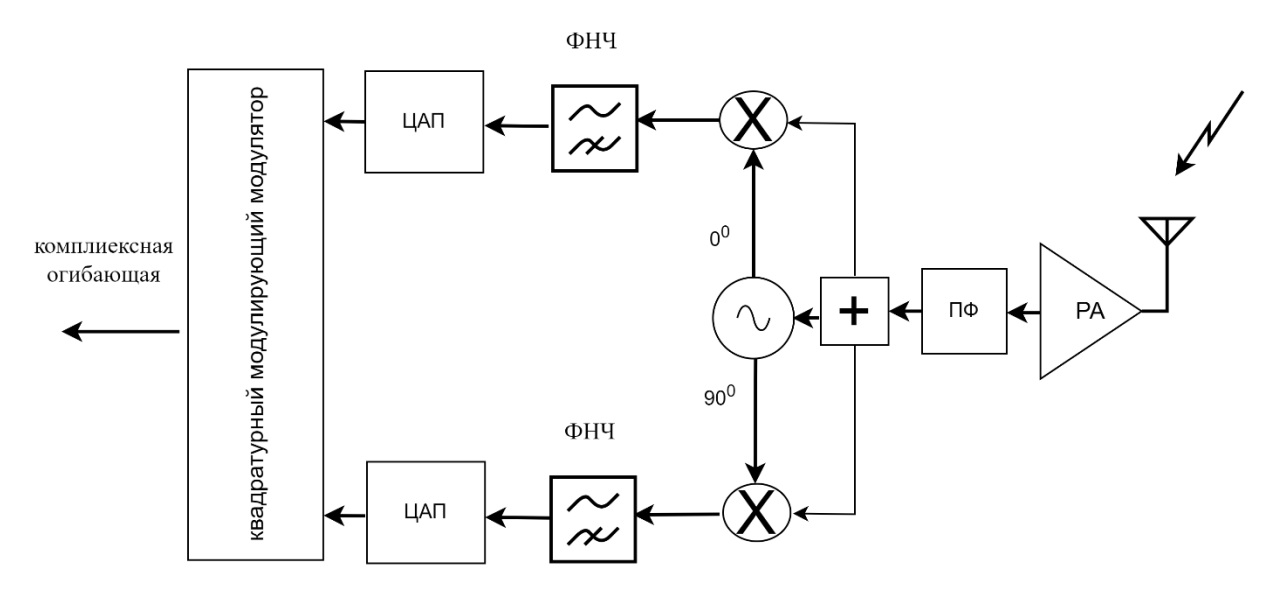


Рисунок 3.4 – Структурная схема квадратурного демодулятора

Сигнал от генератора опорной частоты умножается на принятый сигнал, а АЦП оцифровывает результат. Принятый сигнал OFDM с комплексной огибающей идет на блок децимации и цифровой фильтрации. Сигнал блока демодуляции OFDM показан на рисунке 3.5. В этом блоке выполняется последовательное преобразование сигнала в параллельное, удаление циклического префикса и обеспечивается временная и частотная синхронизация.

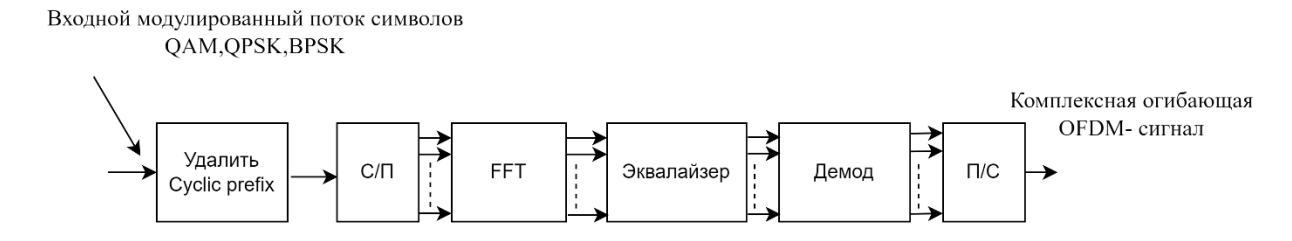


Рисунок 3.5 – Структурная схема демодулятора сигнала OFDM

После удаления СР (cyclic prefix) для отделения поднесущих данных от пилот-сигналов используется прямое преобразование Фурье (FFT). Характеристики канала оцениваются на основе пилот-сигналов. Затем данные последовательно преобразуются и поступают в демодулятор и канальный декодер.

### 3.3. Разработка алгоритма моделирования системы связи

Для моделирования системы беспроводной связи в целом разработаем аогоритм моделирования на основе отдельных объектов, которые будут реализовывать реальные узлы приемопередатчика на основе рассмотренной ранее блок-схемы приемопередатчика (см. рисунк 3.1) по следующей структуре:

• Формирование компонента, содержащего исходные параметры сигнала, который содержит данные о частоте несущего сигнала,

полосе пропускания, а также о типе и параметрах модуляции битового потока;

- Кодирование и декодирование сигнала МІМО, а также определение параметров канала выполняются объектами пространственновременного кодирования/декодирования;
- Объекты, обеспечивающие перенос сигнала на несущую частоту и обратно;
- Объекты, описывающие параметры приемной и передающей антенной решетки, таки как количестве элементов AP, расстояния между элементами антенной решетки и параметры блока адаптации;
- Объект описывающий беспроводной канал связи, который содержит все параметры модели, такие как информация о количестве путей, углах прихода и излучения сигнала, затухании сигнала и т.д.

Структура разработанной программы моделирования показана на рисунке 3.6. Основной программный файл, в котором вызываются основные методы объектов, описывающих узлы-приемники, является основным циклом моделирования. Модульная структура, такая как приложение с графическим интерфейсом, может легко заменить цикл моделирования на вершине иерархии при построении системы связи с использованием объектно-ориентированного подхода.

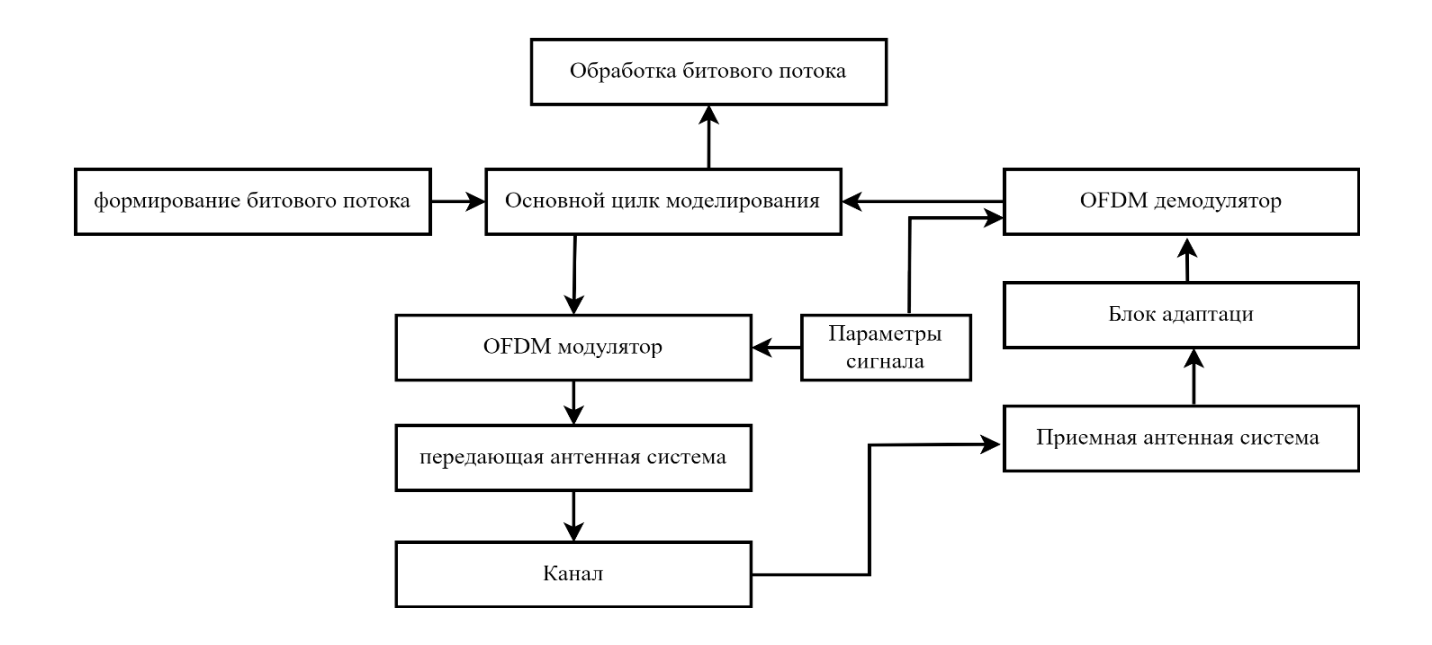
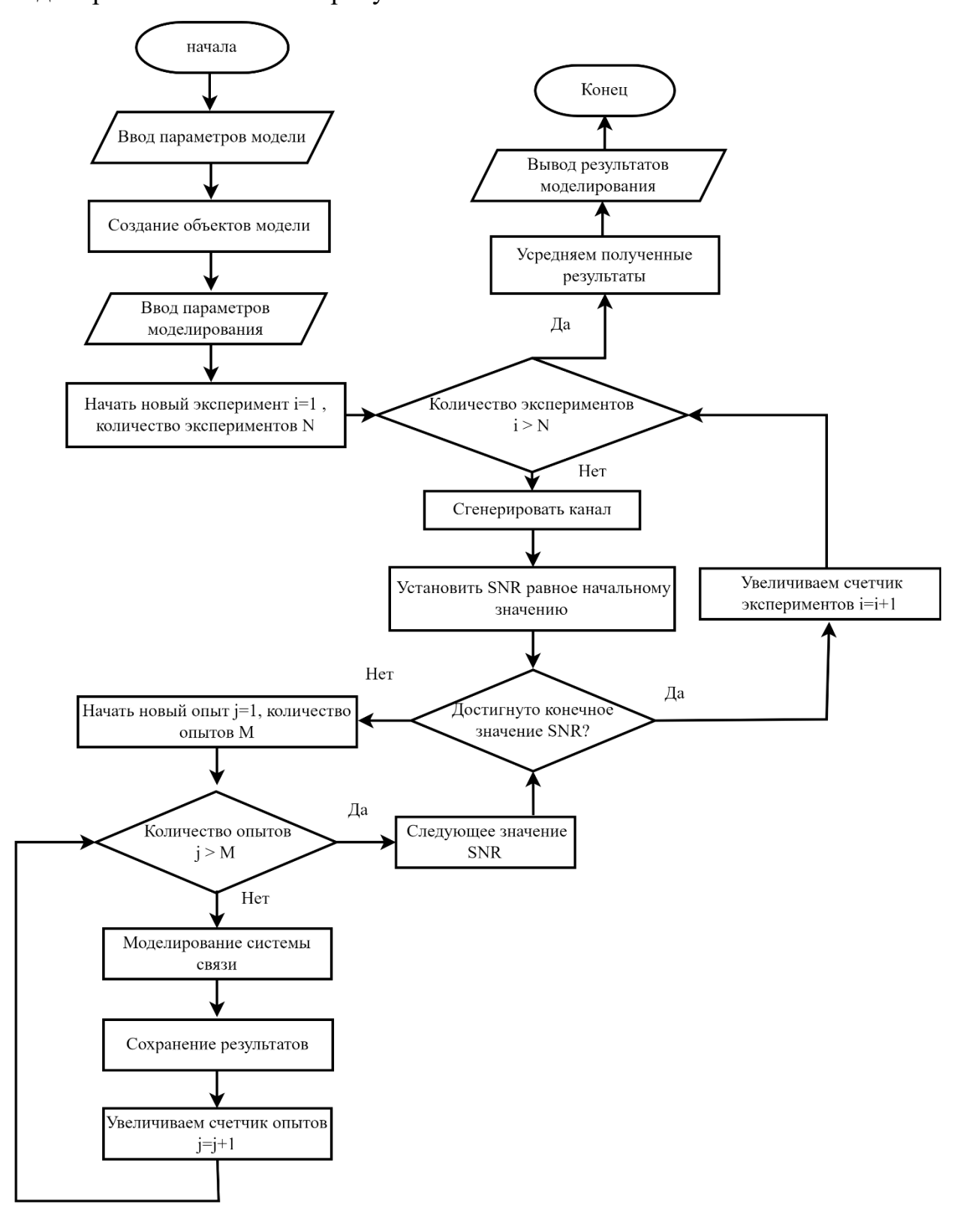


Рисунок 3.6 – Структура схема блоков моделирования системы связи В процессе моделирования информационный поток передается через модель беспроводной системы связи, а оценка статистических характеристик выполняются на основе отношения сигнал/шум. Далее устанавливаются параметры моделирования, такие как количество экспериментов, чтобы усреднить результаты моделирования ДЛЯ оценки вероятностных характеристик. Для каждого эксперимента выполняется полный цикл моделирования беспроводного канала при заданных отношениях сигнал/шум. Количество экспериментов определяет средние значения для каждого значения отношения сигнал/шум. Перед началом моделирования задаются все параметры модели, после чего создаются основные объекты программы. Для каждого значения отношения сигнал/шум выполняется моделирование, и результаты усредняются по всем экспериментам. Результат для каждого эксперимента сохраняется и выполняется следующий, в начале каждого нового эксперимента формируются новые характеристики канала, и процесс После моделирования повторяется. завершения всех экспериментов,

полученные результаты усредняются и выводятся в виде графика. Алгоритм моделирования показан на рисунке 3.7.



## Рисунок 3.7 – Алгоритм моделирования беспроводной системы связи

Более подробно процесс передачи сигнала через блоки системы связи показан на рисунке 3.8.

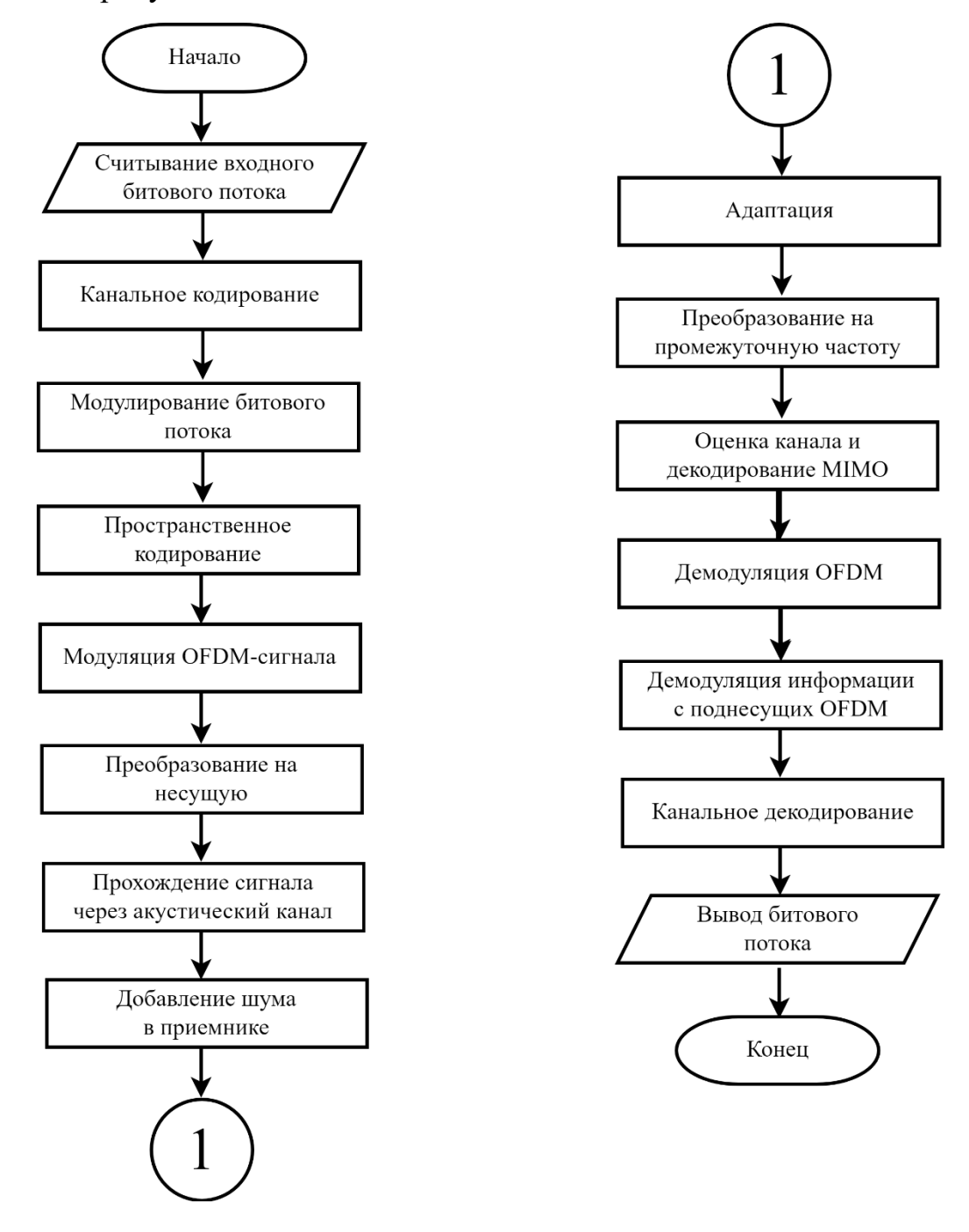


Рисунок 3.8 — Подробная структурная схема алгоритма моделирования системы связи

Запись голоса, изображение ИЛИ произвольно сгенерированная последовательность могут быть источником потока информации, который необходимо передать пока каналу связи. Для выполнения канального кодирования исходные данные преобразуются в битовый поток. Количество пространственных потоков, подаваемых на независимые модуляторы OFDM, распределяется данные по поднесущим сигнала. Квадратурный модулятор обрабатывает комплексную огибающую и переводит спектр на несущую частоту. Затем полученный сигнал передается через беспроводной канал и поступает в приемник, в котором добавляется шум. В приёмнике пространственная фильтрация полученных данных выполняется после их обработки адаптивным процессором. Комплексная огибающая принятого сигнала получается, когда квадратурный демодулятора, который переводит спектр на промежуточную частоту и демодулирует его в демодуляторе OFDM. Цифровой декодер и блок декодирования канала обрабатывают информацию от поднесущих. На выходе имеем оценку передаваемого битового потока после всех преобразований.

В случае передачи изображения исходные данные (информация, состоящая из значений яркости и цвета для каждого пикселя) преобразуются в битовый поток и обратно. Для численной оценки производительности алгоритмов используются численные показатели качесва передаваемого изобраюения [97, 98].

### 3.4. Разработка адаптивного алгоритма обработки сигналов

Приемная антенная AP системы MIMO разбивается на отдельные блоки; в случае системы SISO это только одна AP, [99-101]. Эквивалентная XH антенны формируется после взвешивания выходных сигналов. Ширина

диаграммы направленности и размеры антенны в целом зависят от количества элементов, входящих в единый блок. Следует отметить, что AP может быть очень дорогим в производстве и иметь большие размеры для систем МІМО 5х5 и более. Адаптивный процессор генерирует весовой вектор, максимизируя отношение сигнал/шум в качестве критерия для определения оптимального весового вектора. При отсутствии активных помех выбранный критерий генерирует XH на путь, по которому приходит сигнал с наибольшей мощностью. Для определения оптимальных весовых векторов осуществляется на основе нахождения собственных значений корреляционный матрицы [35, 102, 103], собственный вектор которой и будет весовым для формаирования XH антенны. Схема адаптивного блока в приемнике для системы МІМО показана на рисунке 3.9.

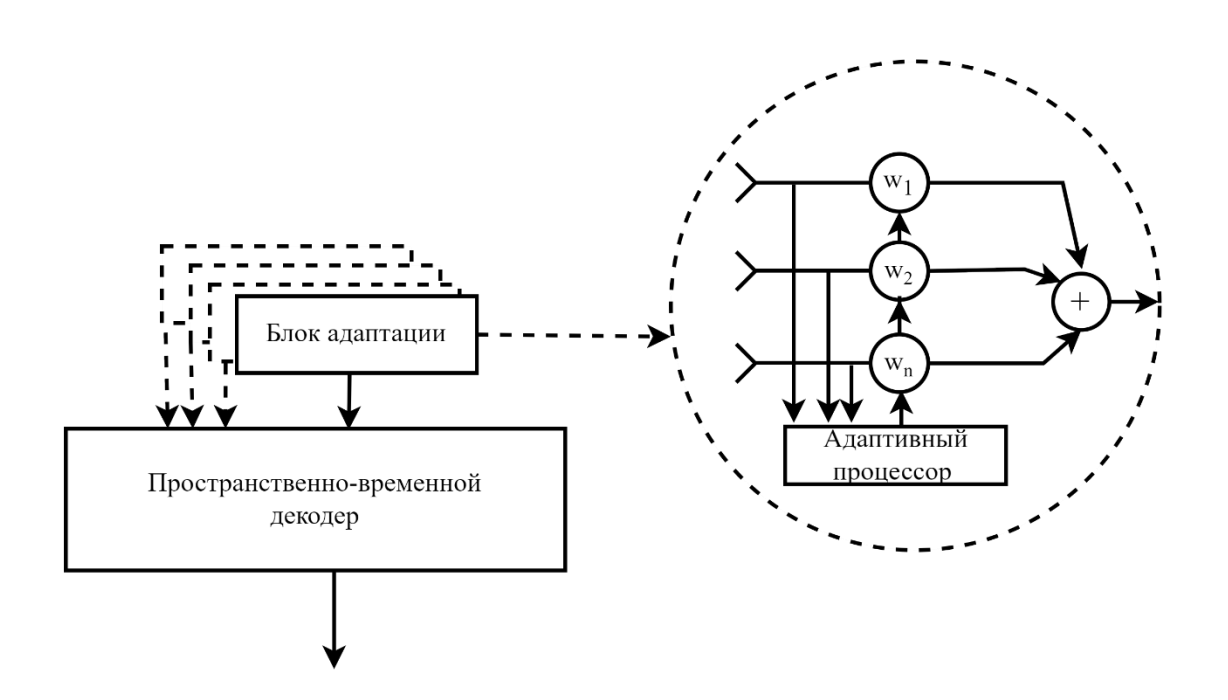


Рисунок 3.9 - Структура блока адаптации в приемной антенне

Блок адаптации для классических систем с одной антенной будет аналогичным, но будет иметь только один блок адаптации. Приемная антенна

общим количеством N элементов, разбивается блоки для работы блока адаптации. При формировании адаптивной XH приемной антенны ее максимум направлен на путь с максимальной мощностью и нули на остальные пути. При этом необходимо учитывать, что количество элементов AP в блоке адаптации должно быть больше чем количество путей, что была возможность сформировать нули на помеховые пути.

Сигнал на выходе блока адаптации будет меть вид

$$Y(t) = \sum_{i=1}^{N} w_i x_i(t) = W^H X(t), \tag{3.1}$$

где  $x_i$  — входной сигнал; N — количество элементов AP блоке адаптации;  $w_i$  — весовой вектор.

Принятый сигнал X(t) можно представить в виде суммы полезного сигнала и помехи [25, 104]:

$$X(t) = S(t) + N(t).$$
 (3.2)

Сигналы можно считать некоррелированными, если задержка распространения сигнала больше чем интервал корреляции сигнала[105]. В случае если количество путей меньше числа элементов АР, то часть диагональных элементов корреляционной матрицы будут мощности внутренних шумов, а часть мощности сигнальных путей. Задачей адаптации является найти весовой вектор, который максимизирует ОСПШ (отношение сигнал/(помеха + шум)) [106].

$$q = \frac{P_s}{P_n} = 0.5 \frac{|W^H S|^2}{|W^H N|^2} = \frac{W^H R_{ss} W}{W^H R_{nn} W},$$
 (3.3)

где  $R_{ss}$  — матрица пространственной корреляции сигнала;  $R_{nn}$  — матрица пространственной корреляции шума.

Из [107] известно, что максимум формулы (3.3) дает собственный вектор матрицы, который соответствует ее максимальному собственному числу. Корреляционную матрицу можно найти следующим образом

$$R_{xx}(i,j) = E\{X(i)\cdot X^H(j)\} = \frac{1}{L}\sum_{i=0}^{L-1} X(i)\cdot X^H(j), \tag{3.4}$$

где L – количество отсчетов входного сигнала; () $^{H}$  – операция транспонирования; X – входной сигнал;

Для любой эрмитовой матрицы известное из линейной алгебры уравнение, известное как диагонализация корреляционной матрицы без изменения её детерминанта (разложение на собственные значения), поэтому (3.4) можно переписать в виде:

$$R_{xx} = V\Lambda V^H, \tag{3.5}$$

где  $\Lambda$  – диагональная матрица собственных значений  $\lambda_n$ ; V – матрица собственных векторов.

$$V = [V_1 \quad V_2 \cdots V_n], \Lambda = \begin{bmatrix} \lambda_1 & 0 & 0 \\ 0 & \ddots & 0 \\ 0 & 0 & \lambda_n \end{bmatrix} . \tag{3.6}$$

Поскольку столбцы и строки матрицы V ортогональны и нормированы, то детерминант будет определяться как

$$VV^H = V^H V = I$$
,

где I — единичная матрица. Из данного соотношения следует следующее, что

$$V^{-1} = V^H$$

а значит, собственные значения матрицы будут вещественными числами, которые обозначают мощность сигналов, которые поступают на раскрыв приемной AP по различным путям в результате переотражений сигналов в канале связи. Максимизация отношения выходной мощности помех и шума заключается в нахождении собственного вектор корреляционной матрицы  $R_{xx}$ , который соответствует максимальному собственному значению этой матрицы. На основе выше сказанного сигнал после адаптивной обработки можно представить как

$$Y_w = Y^H W_{onm}; (3.7)$$

$$Y_w = H_w X + N, (3.8)$$

где  $H_w$  — матрица канала после применения весового вектора

$$H_w = HW_{onm}. (3.9)$$

Алгоритм адаптации на рисунке 3.10. Таким образом формируется эквивалентная характеристика направленности блока адаптации приёмной AP, имеющая максимальное значение в направлении на путь с максимальной мощностью и нулевые значения в направлениях остальных путей.



Рисунок 3.10 – Алгоритм адаптации

#### 3.5. Выводы

1. Исследованы основные особенности алгоритма передачи изображений. Обработка и передача огромных данных изображения по беспроводной сети является одной из основных задач мобильной мультимедийной связи. Медицинские изображения создаются с использованием многих методов, таких как МРТ, рентгенография, ультразвук, ядерная медицина, тактильная визуализация, термография, фотоакустическая визуализация и ЭЭГ.

Изображения также генерируются во время медицинских тестов, таких как ЭКГ и МЭГ. Поскольку размер этих изображений большой, он требует огромного количества места для хранения и хорошей пропускной способности для передачи в исходном состоянии.

- 2. Рассмотрены основные блоки беспроводной системы связи, на основе которых была составлена структурная схема.
- 3. Разработан алгоритм моделирования и блока адаптации для систем связи на основе антенны решеток.
- 4. Разработана и описана структура работы адаптивного блока на основе AP. Кроме того, описана процедура расчета весовых векторов и обработки входных сигналов блоком адаптации.

### 4. МОДЕЛИРОВАНИЕ АНАЛИЗ ЭФФЕКТИВНОСТИ РАЗРАБОТАНОГО АЛГОРИТМА ПЕРЕДАЧИ ИЗОБРАЖЕНИЙ ПО БЕСПРОВОДНОМУ КАНАЛУ СВЯЗИ

#### 4.1. Описание условий моделирования беспроводного канала

Целью данной главы является анализ эффективности предложенного адаптивного алгоритма в системе беспроводной связи. Для этой цели была доработана модель уже существующего канала, с учетом распространения сигналов в трехмерном пространстве. Также необходимо разработать общую модель передатчика и приемника беспроводной системы связи, которая позволит выполнить моделирование прохождения сигнала через основные узлы. Что позволит выполнить общий анализ поведения системы в течение времени позволит оценить теоритически заданного И возможные характеристики системы. Такой подход обеспечивает гибкое управление узлами приемника и передатчика и позволяет мгновенно вносить любые изменения до их технической реализации. На сегодняшний день существует множество вычислительных пакетов, которые позволяют моделирование сложных систем, например LabVIEW, MatLab, MathCAD, которые обладают высокой вычислительной скоростью и точностью расчетов. В данной работе будет использоваться среда моделирования MatLab, как наиболее удобная в плане моделирования отдельных узлов системы беспроводной передачи данных.

В общем случае импульсная характеристика между всеми элементами антенной решетки передатчика и приемника позволяет описать частотные и временные характеристики беспроводного канала. В рассматриваемом случае импульсная характеристика представляет собой отдельные отклики канала передачи данных, которые представляю собой: сигнал прямого пути, в случае если между передатчиком и приемником существует прямая видимость, а

также сигналы, отраженные от различных окружающих предметов. Каждый путь (компонент импульсной характеристики) характеризуется основными параметрами, такие как потри в результате переотражения сигналов и угловые характеристики (азимут и угол места). В качестве несущей частоты выберем частоту из не лицензируемого диапазона 2,4 ГГц и полосой сигнала 30 МГц. В работе сделаны также следующие допущения, что базовая станция стационарна, а мобильная станция движется не более чем 90 км/ч. В таблице 4.1 представлены основные параметры моделирования.

Таблица 4.1 Параметры моделирования канала WiMAX

параметры моделирования канала vvnviAX				
Параметр	Значени	обозначения		
	e			
f, ГГц	2,4	Частота несущего сигнала		
$h_{BS}$ , м	100	Высота базовой станции		
$h_{MS}$ , м	2	Высота мобильной станции		
<i>R</i> , м	2500	Горизонтальное расстояние между мобильной		
		и базовой станцией		
N	5	Количество путей распространения		
М	20	Количество подпутей для каждого пути		
$N_{TX}$	2	Количество приемних антенн мобильной		
		станции		
$d_{BS}$	5λ	Расстояние между фазовыми центрами		
		элементов антенной решетки для BS		
$f_{\!\scriptscriptstyle  m Z}$ , ГГц	15	Частота дискретизации сигнала		
$v_{BS}$ , $M/c$	0	Скорость движения BS		
$v_{MS}$ , M/ $c$	1,5	Скорость движение MS		
LoS	да	Наличие прямого пути		

$\sigma_{\!\scriptscriptstyle AoD}$ , градусы	5	Углы под которыми распространяются сигналы
		от BS относитнельго LOS
$\sigma_{\!\scriptscriptstyle AoA}$ , градусы	35	Углы под которым сигналы приходят к MS
		относительно LOS
$N_{RX}$	2	Количество приемних антенн мобильной
		станции
$d_{MS}$	0,5 λ	Расстояние между фазовыми центрами
		элементов антенной решетки MS

Известно, что пропускная способность системы МІМО возрастает при увеличении интервала между элементами передающей и приемной АР. Поэтому при моделировании на стороне базовой станции используется разреженная АР с интервалом 5λ, а на мобильной стации используется плотная АР 0,5λ. Так как предложенный адаптивный алгоритм основан на вычислении пространственной (взаимной) корреляции сигналов на выходах АР , приемная АР дополнительно разбивается на блоки для адаптации, причём число блоков приёмной АР должно быть равным числу элементов передающей АР.

## 4.2. Моделирование системы беспроводной связи

Как было сказано ранее, моделирование позволяет анализировать характеристики системы связи при выбранных параметрах и учетом характеристики среды распространения. Результатом моделирования являются вероятностные характеристики, которые зависят от переменных параметров для каждого эксперимента, например отношение сигнал/шум. Целью моделирования также будет сравнение классических систем SISO и систем с пространственным кодированием МІМО, для которых и будет

применяться алгоритм адаптации. Основной вероятностной характеристикой в данной работе, будем считать вероятность битовой ошибки, которая определяется отношением количества ошибочно принятых битов к общему количеству переданных байт при заданном отношении сигнал/шум[26, 58, 108, 109].

$$BER = \frac{N_{error}}{N_{total}},\tag{4.1}$$

где  $N_{total}$  — общее количество полученных битов приемником

 $N_{error}$  – количество битов с ошибкой

В работе, как уде было сказано во второй главе, системы беспроводной связи будут использовать OFDM в качестве модуляции сигналов. Введем еще одно допущение, что канала является стационарным, т.е. не изменяется в течение одного символа OFDM. Зададимся следующими параметрами OFDM-сигнала, которые соответствуют представленным в таблице 4.2.

Таблица 4.2 Параметры сигнала **OFDM** 

Параметр	Значение
Количество поднесущих	4096
Длительность защитного интервала	1/4
Несущая частота	2,4 <i>GHz</i>
Выделенная полоса частот	20 MHz
Длительность одного OFDM-	0,2048 μs
символа	
Информационные поднесущие	2786
Пилот-сигналы	911
защитных поднесущих	398

Первым делом оценим, как влияет вид модуляции поднесущих OFDMсигнала на помехоустойчивость систем SISO. Для этого посмотрим на график зависимость вероятности битовой ошибки от отношения сигнал/шум с применением различных видов цифровой манипуляции поднесущих рисунок 4.1. Из чего можно сделать вывод, что повышение скорости за счет применения многопозиционных видов модуляции снижает помехоустойчивость.

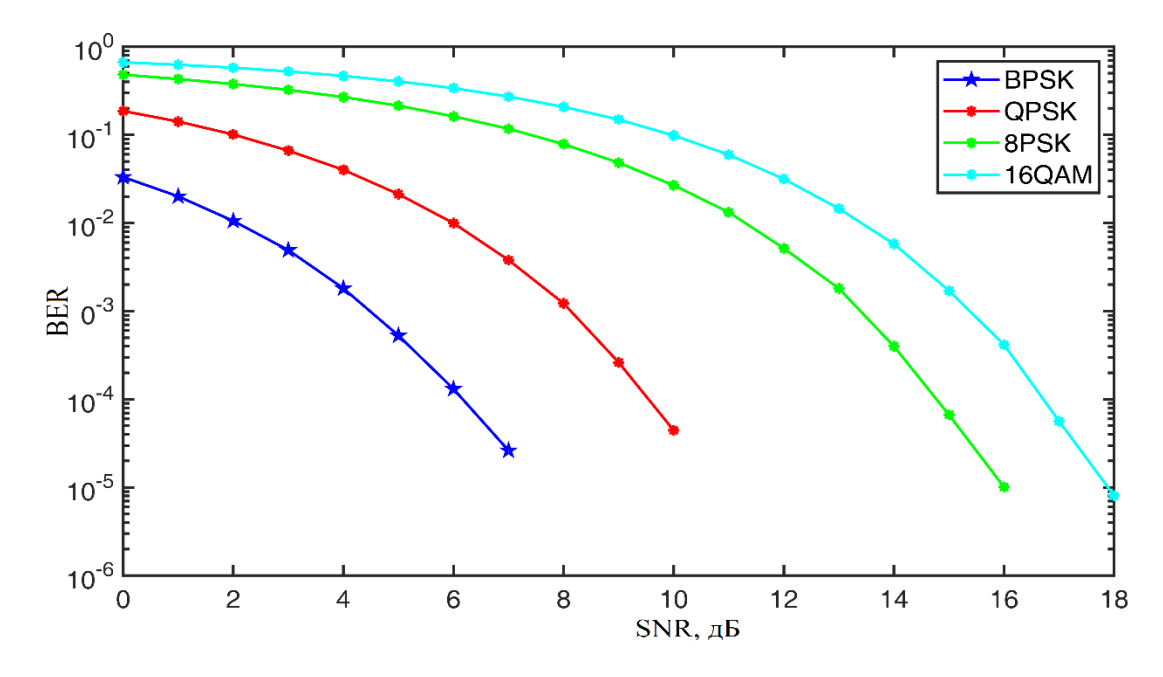


Рисунок 4.1. Зависимость вероятности битовой ошибки при различных видах цифровой манипуляции для системы SISO

Это связанно с тем, что расстояние между цифровыми кодами на сигнальном созвездии для 16-QAM существенно ниже, чем у ВРЅК. Для наглядной демонстрации выше сказанного, на рисунках 4.2 и 4.3 можно увидеть сигнальные созвездия сигналов на выходе демодулятора приемника при разном отношении сигнал/шум.

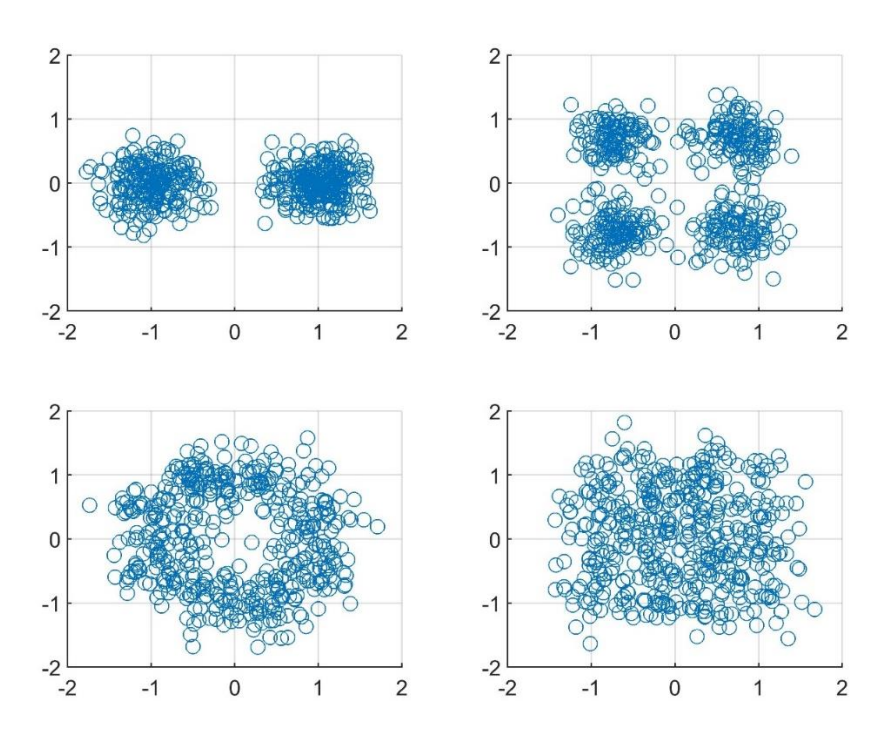


Рисунок 4.2. Сигнальное созвездие при SNR 6 дБ

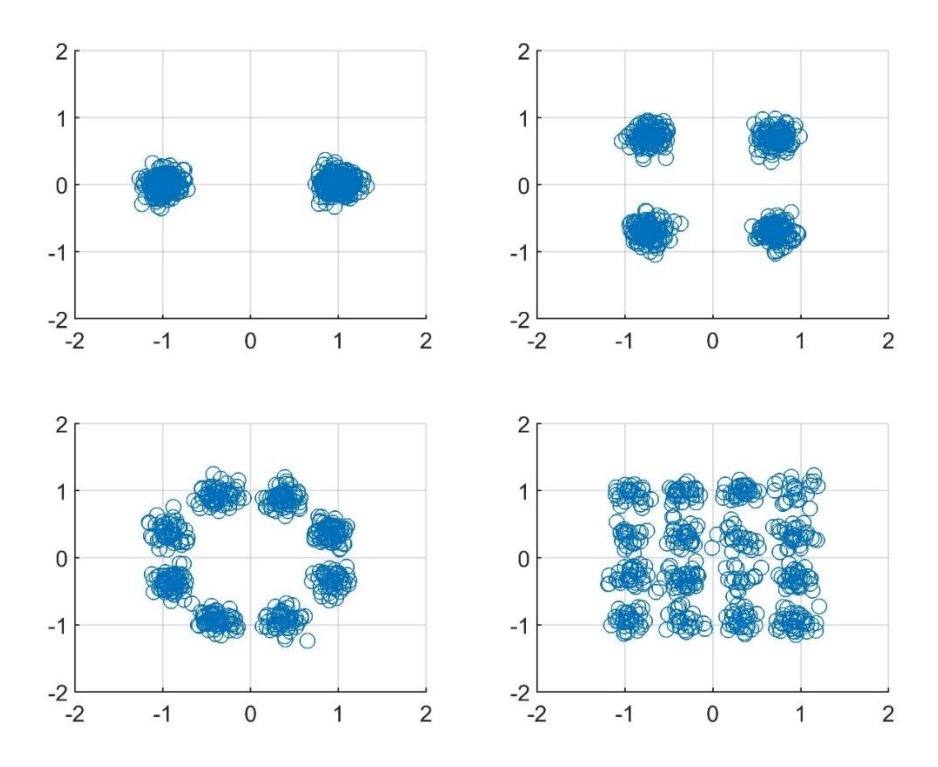


Рисунок 4.3. Сигнальное созвездие при SNR 10 дБ

На основании рисунка 4.2 можно сделать вывод, что если для модуляции BPSK и QPSK информация может быть принята с определенной вероятностью ошибки, в то время как для 8-PKS и 16-QAM декодировать информации практически невозможно. При увеличении отношения сигнал/шум картина изменяется и из рисунка 4.3 уже видно, что для всех видов манипуляции, за исключением 16-QAM, вероятность ошибки стремиться к нулю. Из этого можно сделать вывод, что при разработке системы беспроводной связи необходимо найти баланс между пропускной способностью и вероятностью ошибки при выборе вида модуляции поднесущих OFDM-сигнала. В идеале система связи должна автоматически адаптировать модуляцию поднесущих В зависимости OT помеховой обстановки.

В таблице 4.3 представлены сводные данные по вероятности битовой ошибки в системе SISO для представленных выше видов цифровой манипуляции.

Таблица 4.3 Вероятность ошибки системы SISO для представленных видов цифровой манипуляции при SNR 6 дБ и 10 дБ

Вид манипуляции	BER		
	SNR 6 дБ	SNR 10 дБ	
BPSK	$1,3x10^{-4}$	0	
QPSK	0,01	$4,4x10^{-5}$	
8-PSK	0,162	0,0267	
16-QAM	0,338	0,098	

В системах МІМО картина будет сильно отличаться, так как для передачи используются несколько пространственных потоков. Что в свою очередь отразится на графике помехоустойчивости, как это показано на рисунке 4.4.

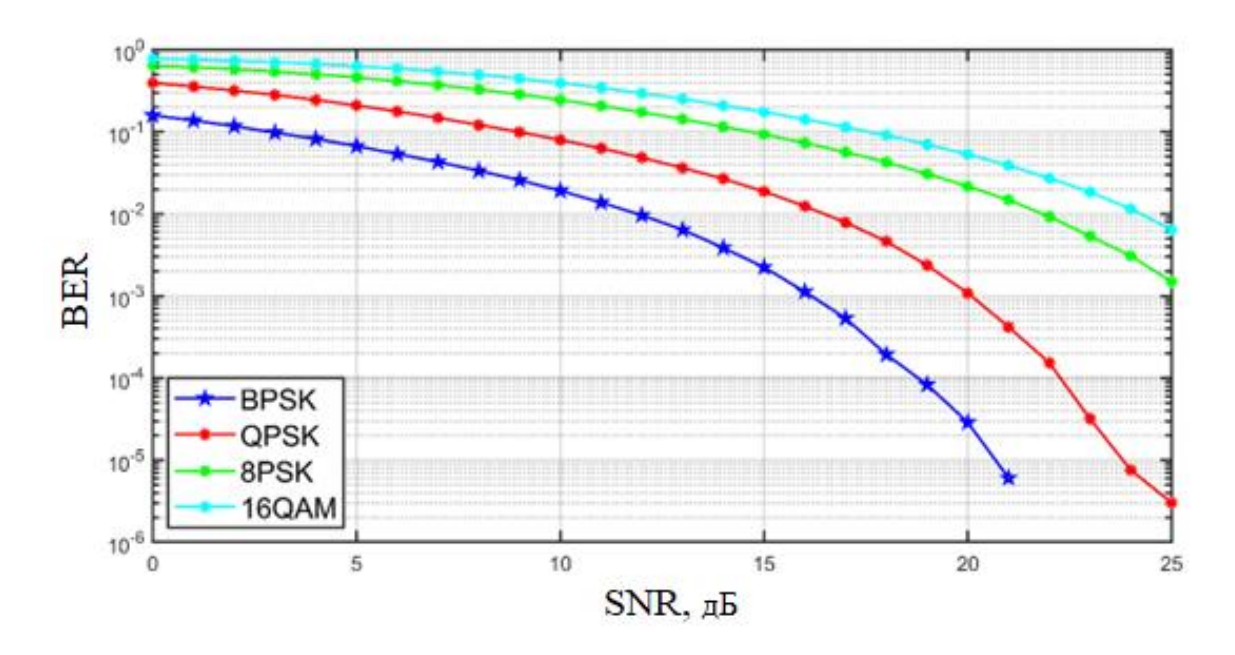


Рисунок 4.4 — Зависимость вероятности битовой ошибки при различных видах цифровой манипуляции для системы MIMO

Ожидаемо помехоустойчивость системы снижается при изменении вида модуляции поднесущих, но отличия уже не так существенны, как это было для системы SISO. Из этого можно сделать вывод, что применение многопозиционных видов модуляции в системах МІМО является предпочтительным.

Аналогично системе SISO в таблице 4.4 представлены сводные данные по вероятности битовой ошибки в системе MIMO.

Таблица 4.4 Вероятность ошибки системы MIMO для представленных видов цифровой манипуляции при SNR 6 дБ и 10 дБ

Тип манипуляции	BER		
	SNR 6 дБ	SNR 10 дБ	
BPSK	$5,3x10^{-2}$	$1,9x10^{-2}$	
QPSK	0,17	$7,9x10^{-2}$	
8-PSK	0,4	0,24	
16-QAM	0,5	0,39	

Как уже было сказано в первой главе в системах МІМО используется несколько пространственных параллельных потоков, ПО которым информации, осуществляется передача В результате чего помехоустойчивость будет снижаться при ИХ увеличении из-за интерференции сигналов от соседних потоков.

В связи с этим имеет смысл также проанализировать, какой будет иметь вид вероятность битовой ошибки для систем МІМО с различным количество антенн на рисунке 4.5.

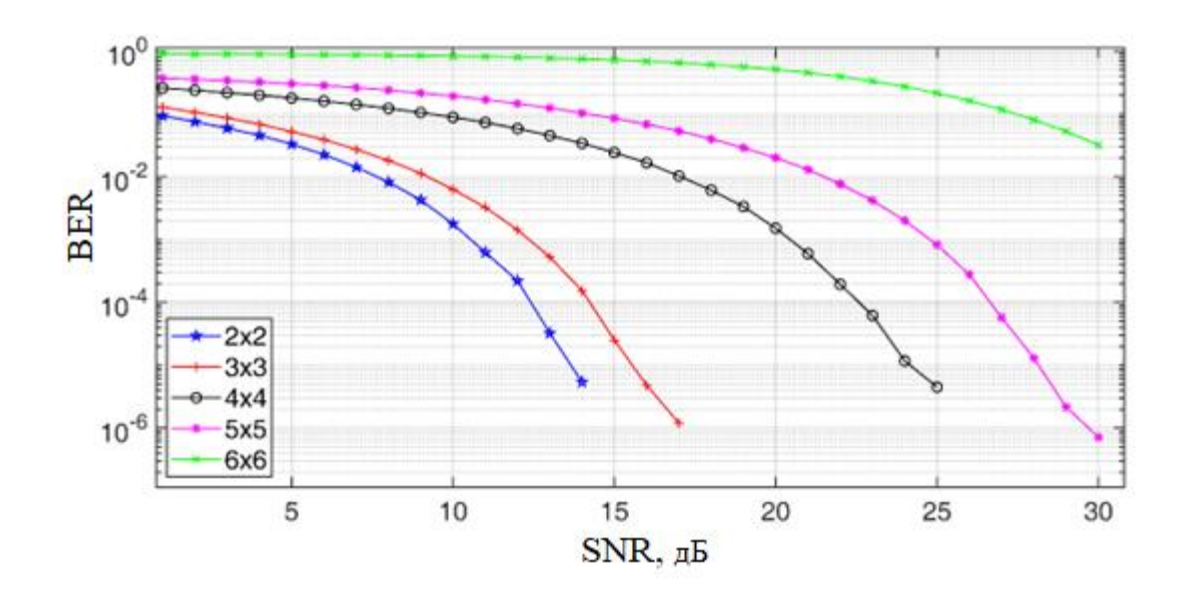


Рисунок 4.5 — Зависимость вероятности битовой ошибки от количества MIMO-антенн с BPSK модуляцией поднесущих

Из рисунка видно, что платой за увеличение пропускной способности является снижение помехоустойчивости системы беспроводной связи. Это связанно с тем, что сигналы от разных антенн интерферируют между собой и чем больше потоков, тем выше эта интерференция. Однако, не смотря на это, такой подход позволяет увеличить спектральную эффективность используемой полосы частот, что может эффективно использоваться при высоком отношении сигнал/шум.

Оценим, как увеличится спектральная эффективность при увеличении пространственных потоков. Для этого построим зависимость пропускной способности системы при различном количестве антенн рисунок 4.6. Из рисунка видно, что по сравнению с самой простой системой МІМО 2х2 пропускная способность систем МІМО 3х3, 4х4, 5х5 и 6х6 в процентном соотношении увеличивается на 30%, 56%, 61% и 65% соответственно.

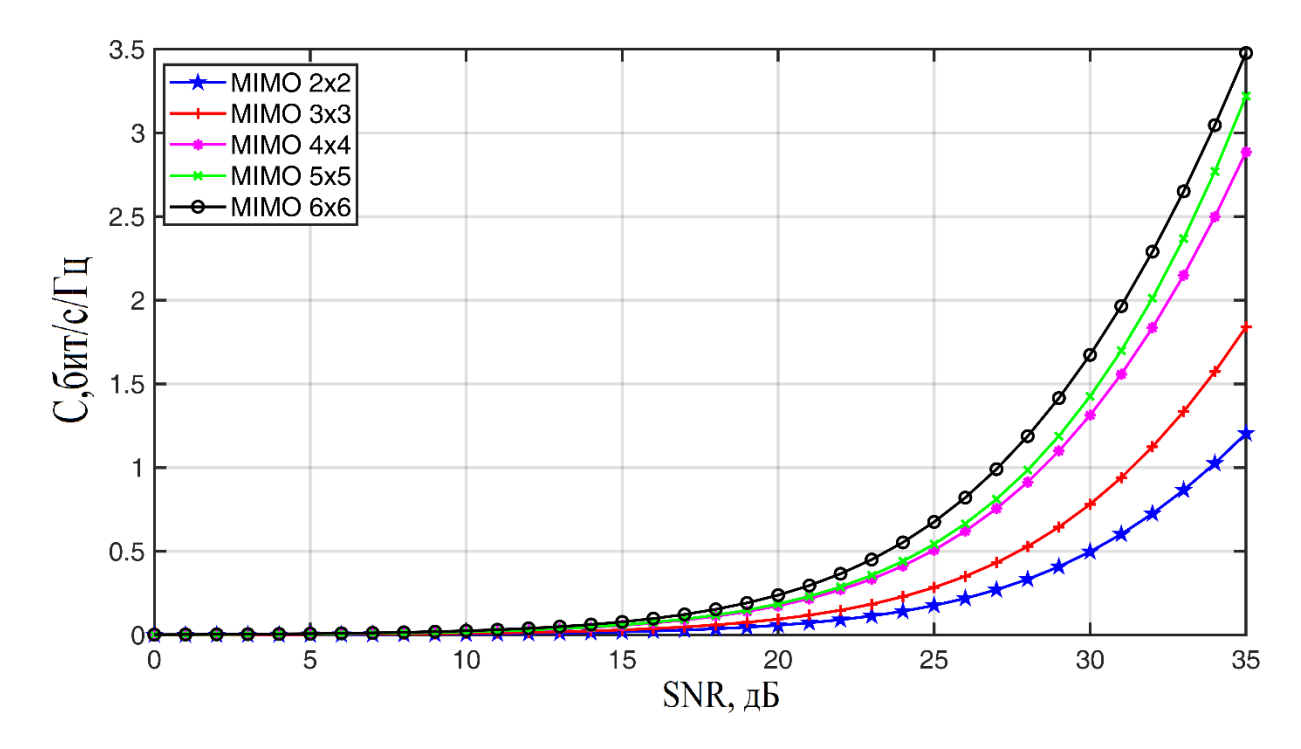


Рисунок 4.6 – Зависимость пропускной способности канала от количества MIMO-антенн без адаптации

# 4.3. Моделирование адаптивного алгоритма в системе беспроводной связи

В данном разделе рассмотрим, как применение разработанного адаптивного алгоритма на основе антенных решеток позволяет улучшить характеристики системы беспроводной связи. Как уже упоминалось ранее, адаптация будет выполняться только на мобильной станции, а базовая будет осуществлять ненаправленную передачу. В данном разделе аналогично предыдущим буде рассмотрено применение алгоритма в традиционных системах с одной антенной на прием и передачу, так и к системам, основанным на пространственной обработке с множеством антенн на прием и передачу.

Характеристики беспроводной среды и параметры сигналов будут аналогичными приведенных в предыдущих разделах. Количество элементов

антенной решетки для алгоритма адаптации выберем равным восьми, так как в этом случае будет выполняться условие, что количество элементов антенной решетки должно быть больше чем общее количество путей. Для обеспечения лучшей пространственной корреляции сигналов между антеннами выберем расстояние между элементами равным половине длины волны. Сводные параметры блока адаптации для системы SISO представлены в таблице 4.5

Таблица 4.5 Параметры антенной системы SISO с алгоритмом адаптации

Параметр	Значение	
Антенна передатчика: количество элементов	1	
Антенна приёмника: количество элементов	8	
Блок адаптации: количество элементов	8	
Антенна приёмника: расстояние между элементами	0,5λ	

Работа адаптивного алгоритма, заключается в формировании характеристики направленности на путь с наибольшей мощностью и нули на остальные пути. Для этого рассмотрим, как будет выглядеть характеристика направленности в результате весовой обработки рисунк 4.7.

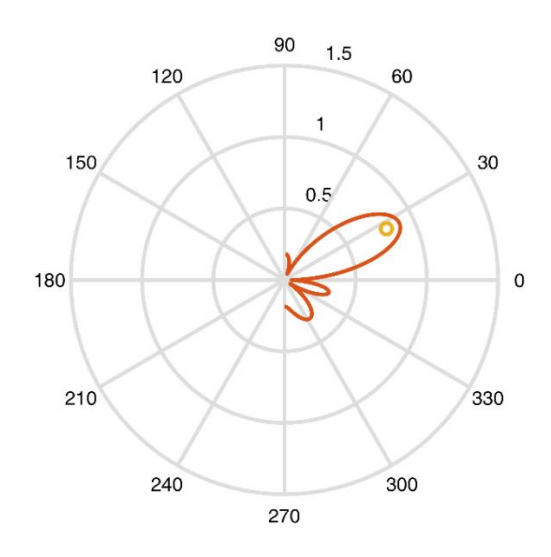


Рисунок 4.7— Эквивалентная диаграмма направленности приемной антенны на выходе блока адаптации.

Анализ рисунка показывает, что блок адаптации позволил получить желаемы результат, максимум диаграммы направленности направлен на прямой путь, который ожидаемо, имеет наибольшую мощность по сравнение с другими путями, так как имеет меньшее затухание и не имеет потерь на переотражения. На этом же рисунке кружком показано реально направление на прямой путь, которое получено при расчете характеристик беспроводного канала при заданных условиях. Также можно отметить, что в направлении на остальные пути диаграмма направленности будет иметь ноль по возможности или боковые лепестки, которые будет иметь минимальный уровень.

Для наглядности рассмотри, как будет выглядеть сигнальное созвездие демодулированного сигнала с адаптивным алгоритмом (справа) и без него (слева) на рисунке 4.8 при одинаковом отношении сигнал/шум.

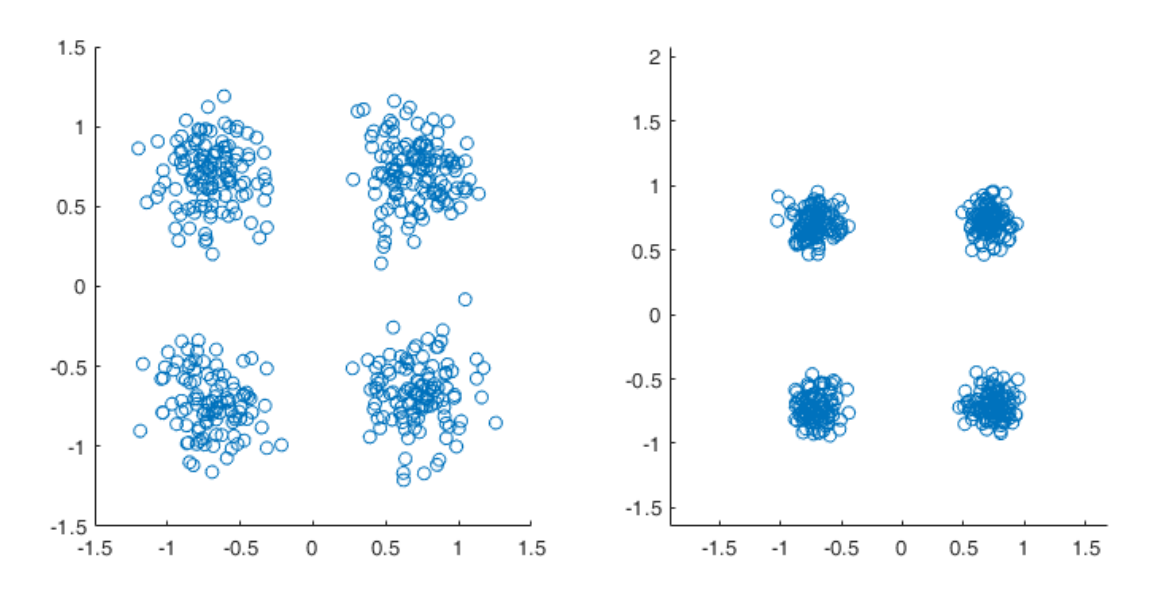


Рисунок 4.8. Созвездие сигналов после демодуляции в приемнике без адаптации и с адаптацией при SNR 10 дБ

Как можно заметить разброс значений демодулированного сигнала без применения адаптивного алгоритма сильно больше чем с адаптивным алгоритмом. Кроме того, можно отметить, что с алгоритмом адаптации вероятность ошибки при таком отношении сигнал/шум стремится к нулю. В отличии от приемника без адаптации. Чтобы более наглядно увидеть разницу построим зависимость вероятности битовой ошибки от отношения сигнал/шум для двух версий приемников на рисунке 4.9.

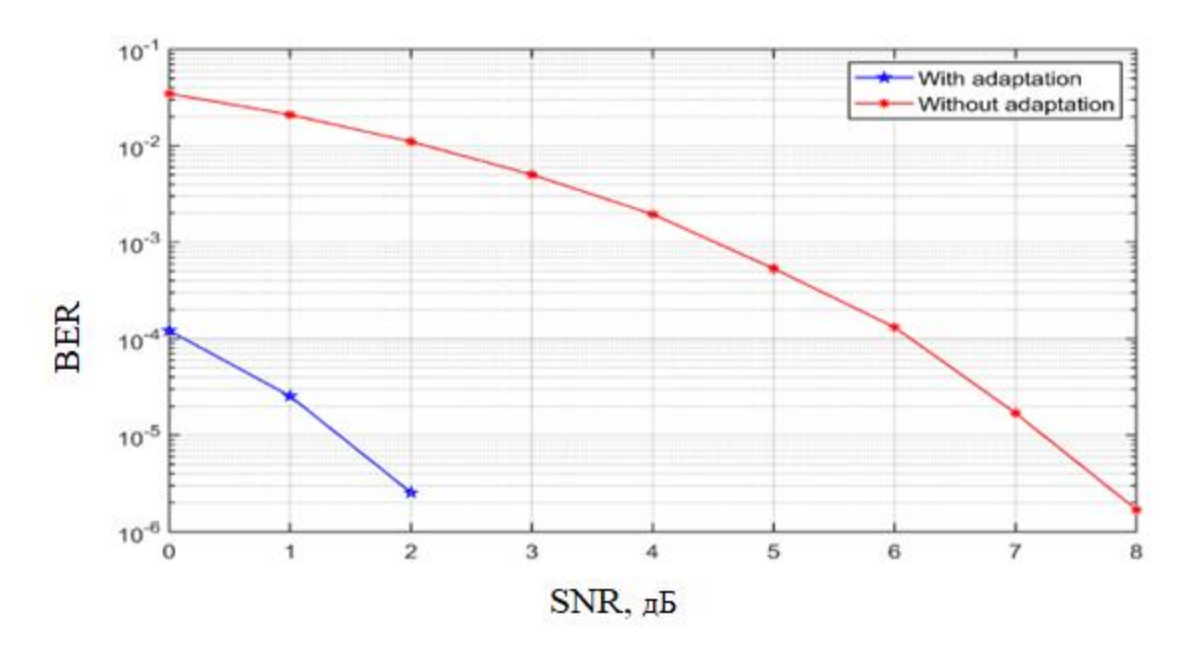


Рисунок 4.9. Зависимость вероятность битовой ошибки для системы SISO с применением адаптивного алгоритма и без него

Данный рисунок наглядно демонстрируется эффективность адаптивного алгоритма в системах SISO, что существенно увеличивает помехоустойчивость системы связи в многолучевом канале. Далее рассмотри аналогично применение адаптивного алгоритма для системы МІМО с теми же параметрами моделирования. При этом в передатчике будет разреженная антенная решетка, а в приемнике плотная. В таблице 4.6 представлена сводная таблица с параметрами системы МІМО

Таблица 4.6. Параметры антенной системы MIMO с алгоритмом адаптации

Параметр	Значение	
Антенна передатчика: количество элементов	2	
Антенна приемника: количество элементов	16	
Блок адаптации: количество элементов	8	
Антенна приёмника: расстояние между элементами	0,5ʎ	
Антенна передатчика: расстояние между элементами	5.⁄ι	

В данном случае мы имеем две приемные антенны, которые имеют свои независимые адаптивные блоки, на выходе которых формируется своя характеристика направленности. Построим зависимость вероятности битовой ошибки от отношения сигнал/шум для такой системы на рисунке 4.10

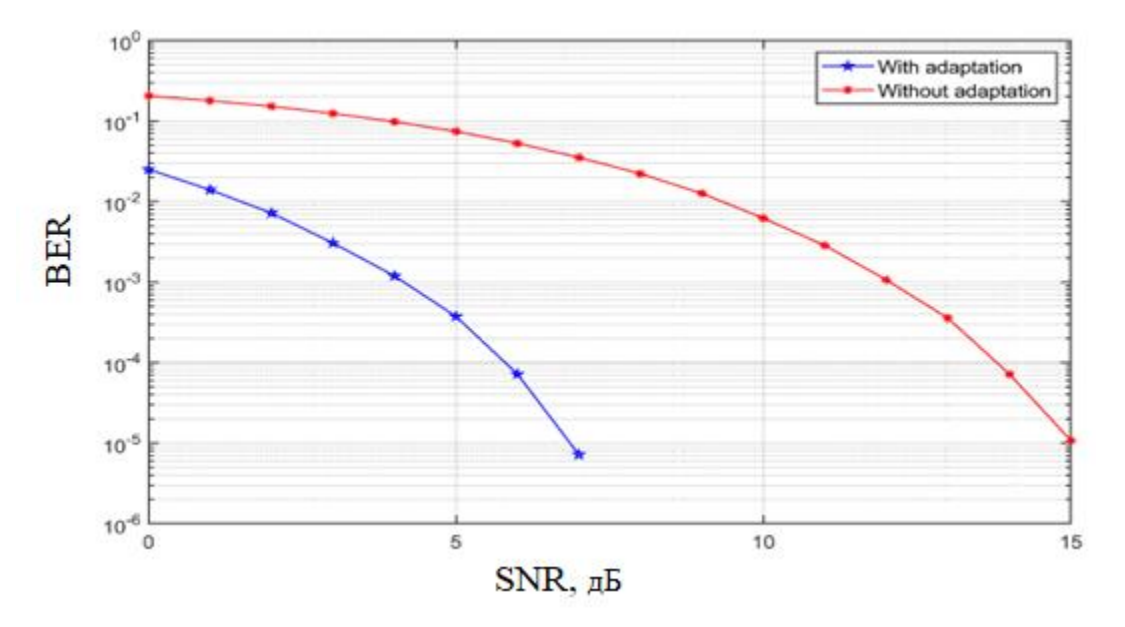


Рисунок 4.10. Зависимость вероятность битовой ошибки для системы MIMO с применением адаптивного алгоритма и без него

Анализ рисунка 4.10 показывает, что применение адаптивного алгоритма существенно повышает помехоустойчивость системы связи, что позволяет применять многопозиционные виды модуляции поднесущих для увеличения скорости передачи информации.

До этого мы рассматривали беспроводной канал, в котором есть прямая видимость между приемником и передатчиком. В реальности прямая видимость может отсутствовать в результате затенения мобильной станции различными объектами. В таком случае многолучевое распространение является полезным и играет важную роль, так как позволяет обеспечить передачу данных от передатчика к приемнику при отсутствии прямой

видимости, что часто характерно для городской среды. Рассмотрим, как будет зависеть вероятность битовой ошибки от отношения сигнал/шум в аналогичном эксперименте, но только при отсутствии прямого пути рисунок 4.11.

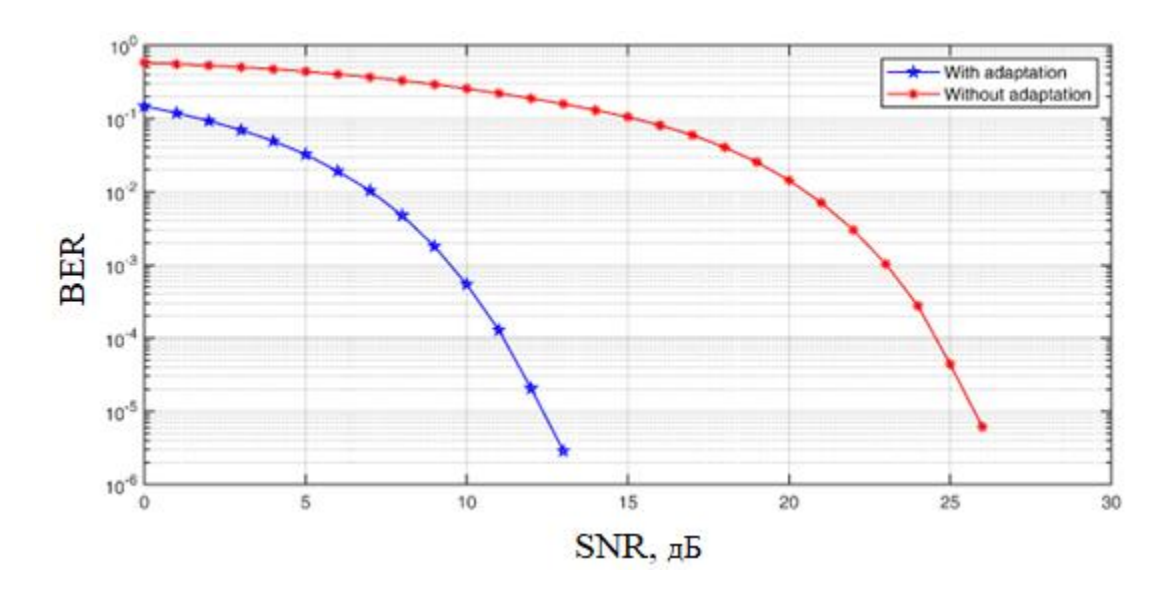


Рисунок 4.11 — Зависимость вероятность битовой ошибки для системы МІМО с применением адаптивного алгоритма и без него в отсутствии прямого пути

На основе приведенных зависимостей вероятности ошибки от отношения сигнал/шум можно сделать вывод, что адаптивный алгоритм позволяет эффективно бороться негативным эффектом многолучевого распространения в среде WiMAX как при наличии прямого пути, так и при его отсутствии. Кроме того применение адаптивного алгоритма позволяет увеличить пропускную способность канала, в этом можно убедиться, если посмотреть на зависимость пропускной способности от отношения сигнал/шум рисунок 4.12.

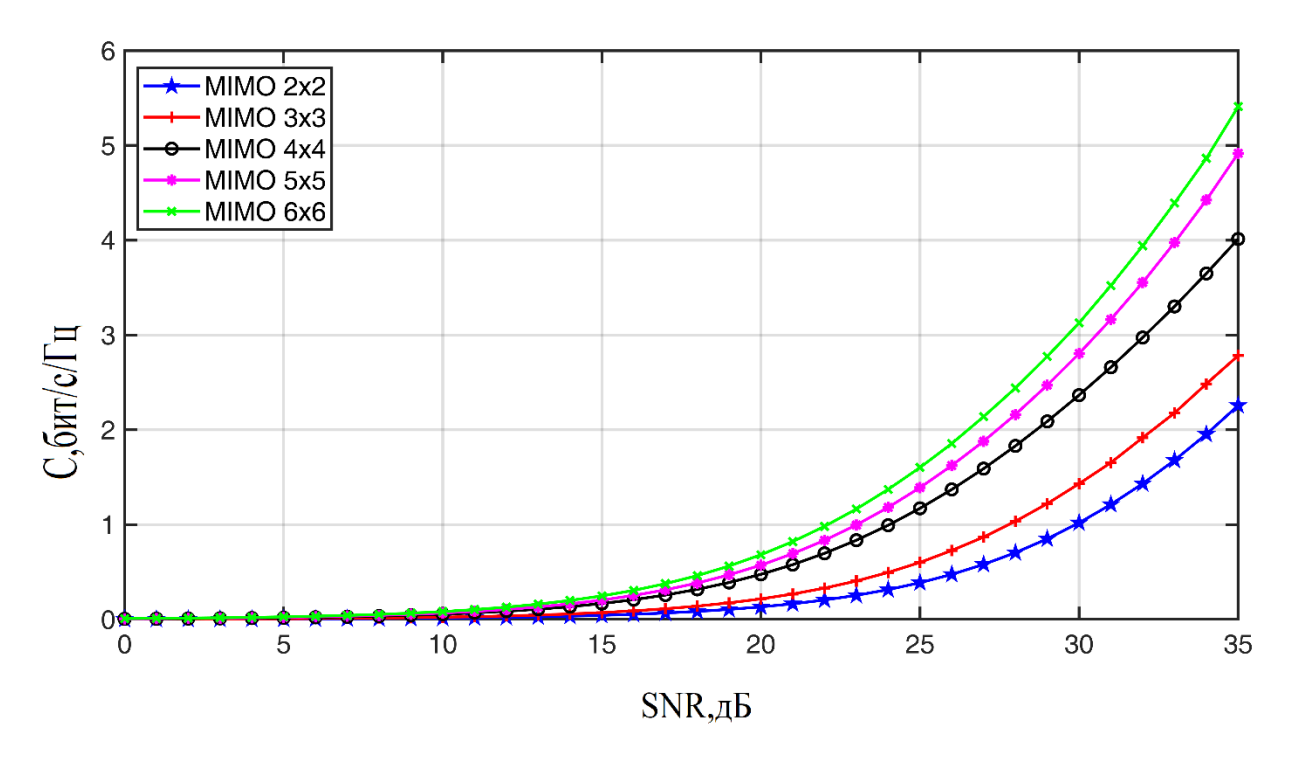


Рисунок 4.12 — Зависимость пропускной способности канала с применением алгоритма адаптации

Таблица 4.7 показывает зависимость вероятности битовой ошибки для системы МІМО при различных видах цифровой манипуляции поднесущих и значениях отношения сигнал/шум.

Таблица 4.7 **BER** для систем **MIMO** для различной модуляции при различных **SNR** 

	BER							
SNR (dB)	BPSK		QPSK		8-PSK		16-QAM	
	без адаптации	С адаптацией	без адаптации	С адаптацией	без адаптации	С адаптацией	без адаптации	С адаптацией
5	0,0741	0,0003	0,4854	0,0484	0,5361	0,3316	0,6815	0,2414
6	0,0527	$7,2*10^{-5}$	0,4524	0,0321	0,4954	0,2778	0,6461	0,1862
7	0,351	7,3 * 10 <sup>-6</sup>	0,4161	0,0181	0,4539	0,2271	0,6023	0,1351
8	0,0221	0	0,3767	0,0102	0,4064	0,1769	0,5572	0,0957
9	0,0125	0	0,3365	0,0044	0,3645	0,1324	0,5078	0,0621
10	0,0062	0	0,2911	0,0018	0,3174	0,0932	0,4592	0,0377
11	0,0028	0	0,2481	0,0005	0,273	0,0615	0,4067	0,021
12	0,001	0	0,2079	9,9 * 10 <sup>-5</sup>	0,23	0,0383	0,3566	0,01

## 4.4. Передача изображений по беспроводному каналу связи

Рассмотрим передачу черно-белого изображения, представленного на рисунке 4.13, по каналу WiMAX. Данное изображение имеет следующие параметры: разрешение 700×560 пикселей, глубина цвета 8 бит и несет информацию только о яркости пикселя. Цветные изображения уже содержат три цветовых канала, что увеличивает объем передаваемой информации в три раза, такие изображения будут рассмотрены далее.

Для количественно оценки качества изображения будем использовать значение среднеквадратической ошибки (MSE) на выходе приемника [56, 99, 101, 110].

$$MSE = \frac{1}{M \cdot N} \sum_{j=1}^{M} \sum_{k=1}^{N} (x_{j,k} - \dot{x}_{j,k})^{2}, \tag{4.2}$$

где M и N – размер в пикселях; х – исходное изображение;  $\hat{x}$  – полученное изображение.



Рисунок 4.13 – Исходное изображение

Как и раньше, рассмотри для начала передачу черно-белого изображения по беспроводному каналу WiMAX для системы SISO для двух видов модуляции поднесущих при SNR 10 дБ с применением алгоритма адаптации и без него на рисунке 4.14 и 4.15.



(a) с адаптацией (MSE=0)

(b) без адаптации (MSE=0.0027)

Рисунок 4.14: Передача изображения в системе SISO с BPSK модуляцией поднесущих



(a) с адаптацией (MSE= $1.5 * 10^{-5}$ )

(b) без адаптации (MSE=0.0315)

Рисунок 4.15: Передача изображения в системе SISO с QPSK модуляцией поднесущих

Из проведенного эксперимента видно, что шум на изображении при использовании алгоритма адаптации стал ниже, особенно для модуляции QPSK.

Далее рассмотрим результат передачи этого же изображения в системе MIMO 2x2 с видами цифровой манипуляции BPSK и QPSK на рисунках 4.16 и 4.17 и MIMO 5x5 с модуляцией 16-QAM при отношении сигнал-шум 10 дБ на рисунке 4.18.



(b) с адаптацией (MSE= $3.5 * 10^{-3}$ )

(с) без адаптации (МSE=0.0266)

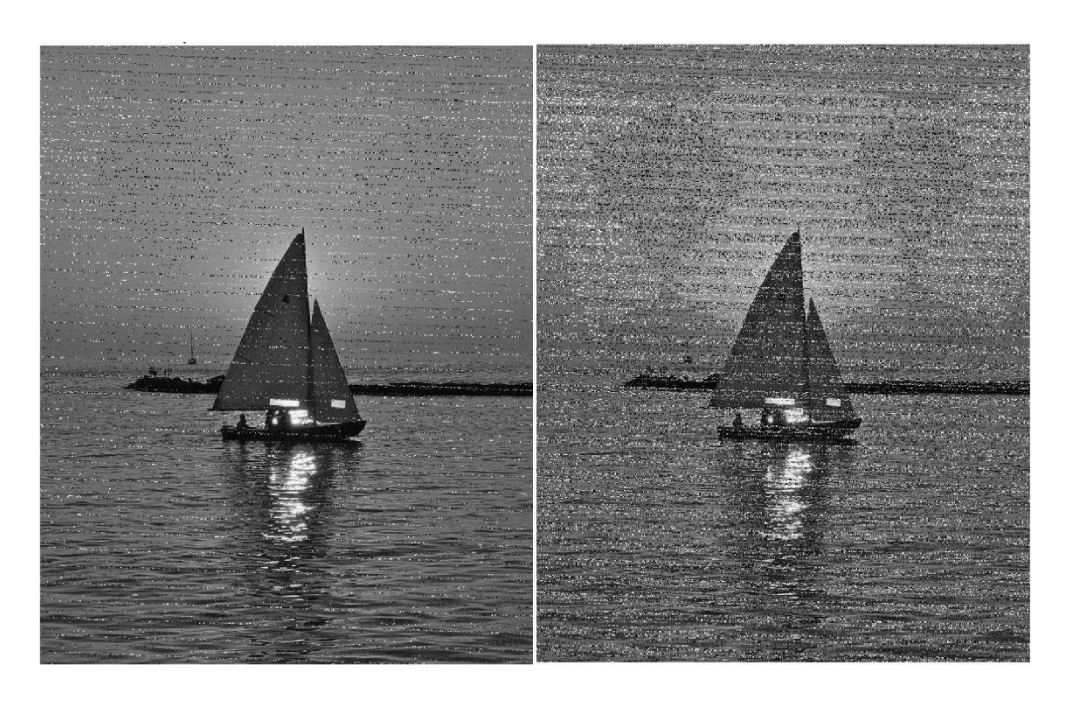
Рисунок 4.16: Передача изображения в системе MIMO 2x2 с BPSK



(b) с адаптацией (MSE= $1.54 * 10^{-3}$ )

(c) без адаптации (MSE=0.112)

Рисунок 4.17: Передача изображения в системе MIMO 2x2 с QPSK.



(b) с адаптацией (MSE=0.041)

(c) без адаптации (MSE=0.227)

Рисунок 4.18: Передача изображения в системе 5x5 MIMO с модуляцией 16-QAM

Далее работе рассмотрим передачу цветных медицинских изображений. Цветные изображения отличаются от черно-белых тем, что они трехмерны, что усложняет работу с ними. Медицинские изображения оборудования, создаются помощью широкого спектра например компьютерная томография (КТ), магнитно-резонансная томография (МРТ), ультразвуковое исследование (УЗИ) и т. д. которые имеют большой объем и 3D-изображений рассматриваться как последовательность могут (фрагментов). Передача медицинских изображений может потребоваться, например, в области телемедицины, где можно осуществить медицинскую консультацию И обмен медицинскими данными на расстоянии использованием телекоммуникационных средств.

На рисунках ниже представлены результаты передачи цветных и медицинских изображений для случая с адаптивным алгоритмом и без него

при SNR = 10 дБ. На рисунке 4.19 показан исходный снимок, а на рисунке 4.20 и 4.21 результат передачи по беспроводному каналу связи в системе SISO при модуляции поднесущих BPSK и 16-QAM соответственно.

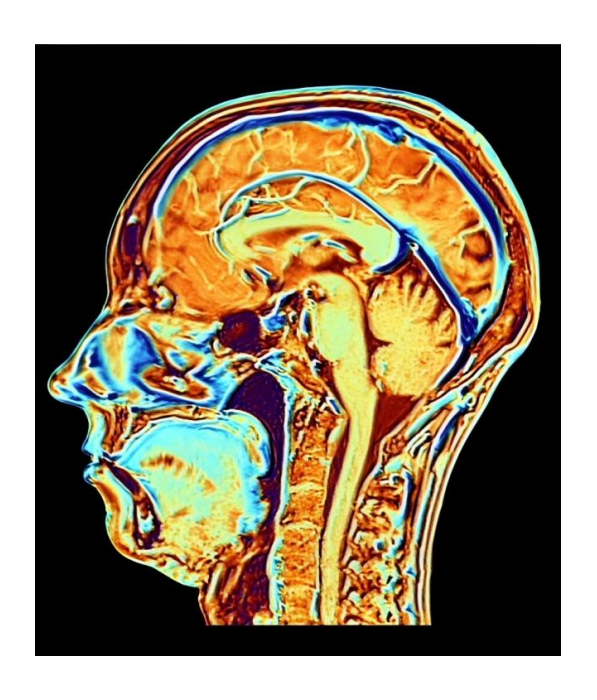


Рисунок 4.19. Исходное изображение

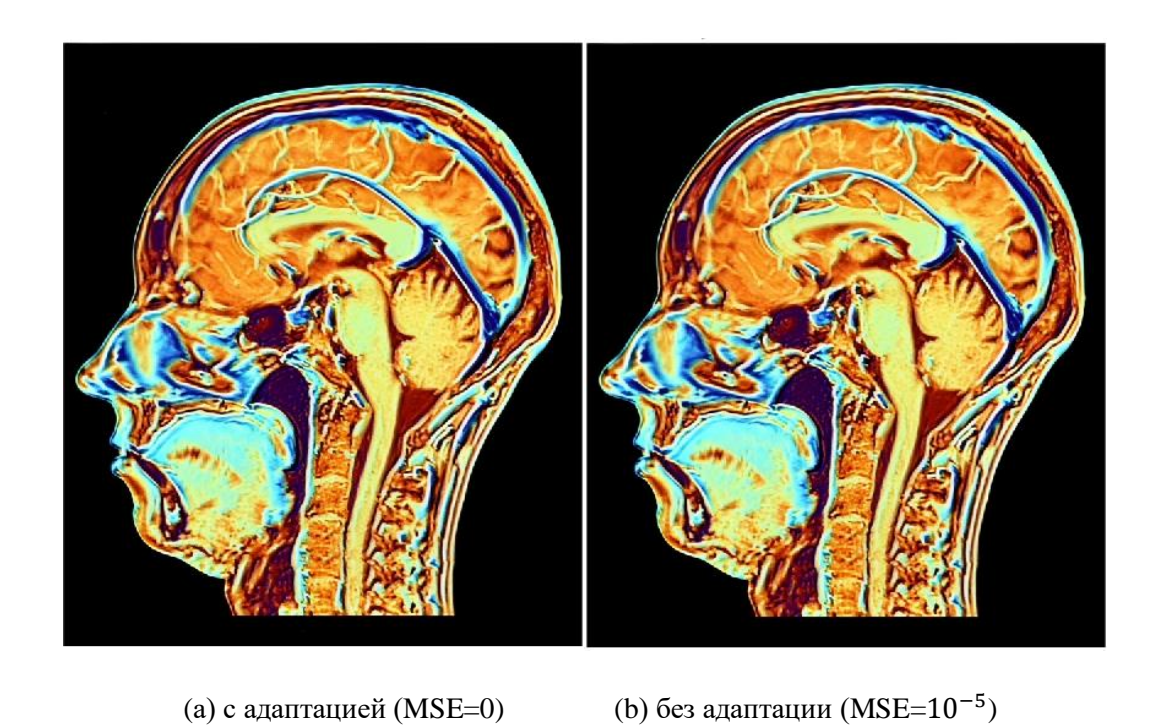


Рисунок 4.20. Передача изображения в системе SISO с BPSK при SNR= 10 дБ

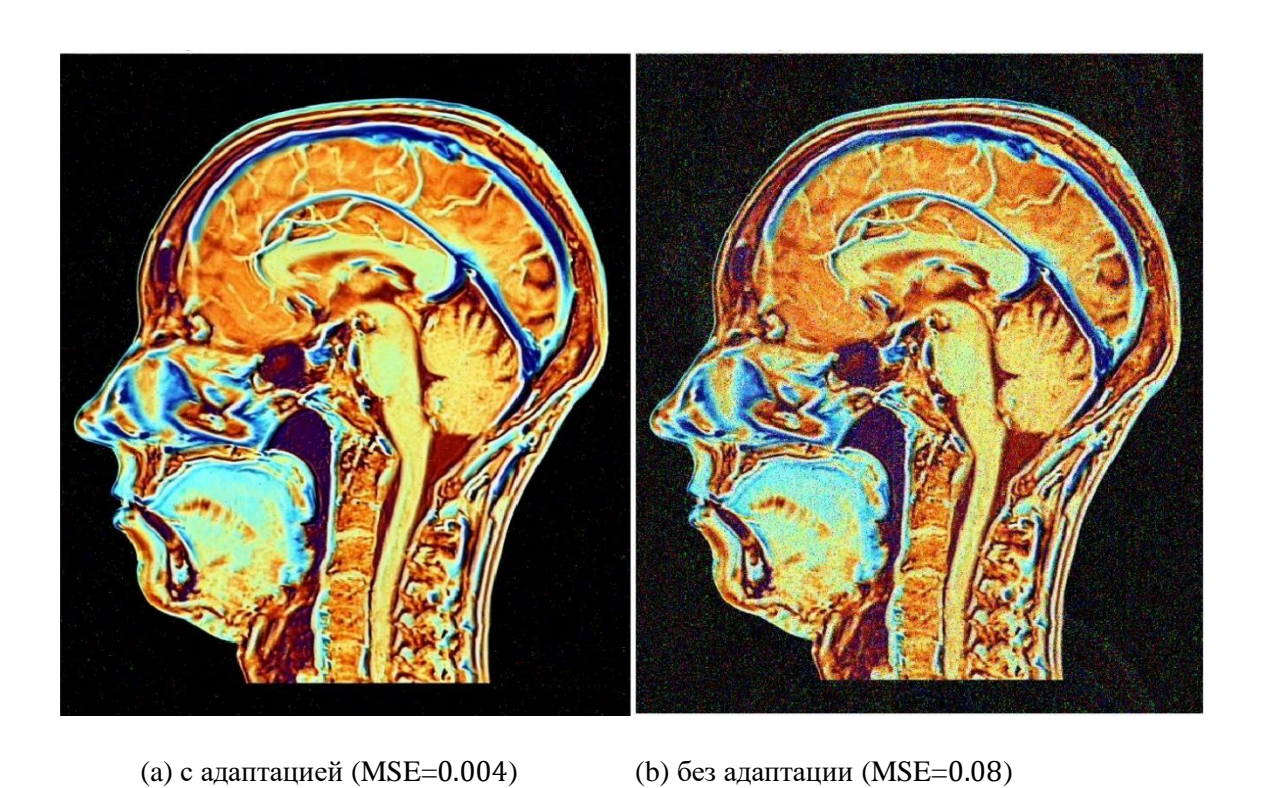


Рисунок 4.21. Передача изображения в системе SISO с 16-QAM при SNR= 10  ${\rm д}{\rm B}$ 

На рисунке 4.22 и 4.23 показан аналогичный результат для системы MIMO 2x2 с типом модуляции поднесущих BPSK и 16-QAM соответственно.

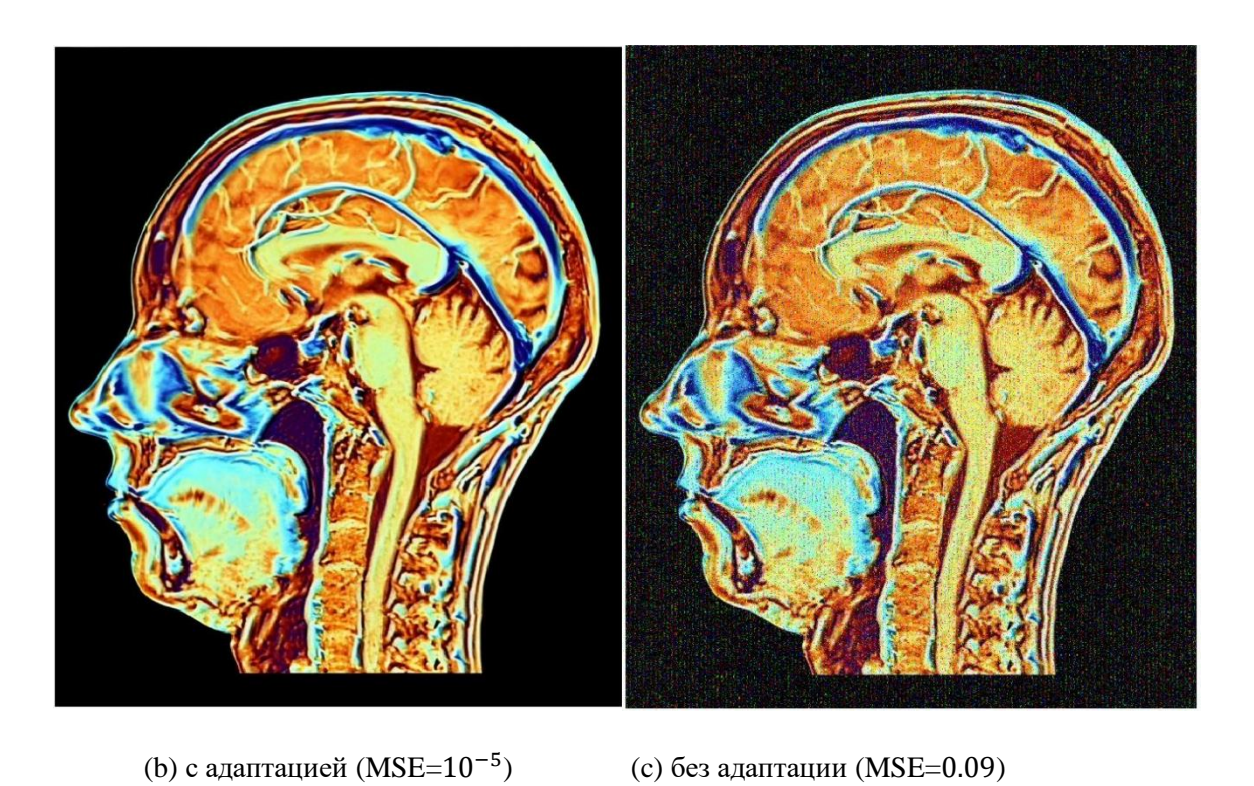
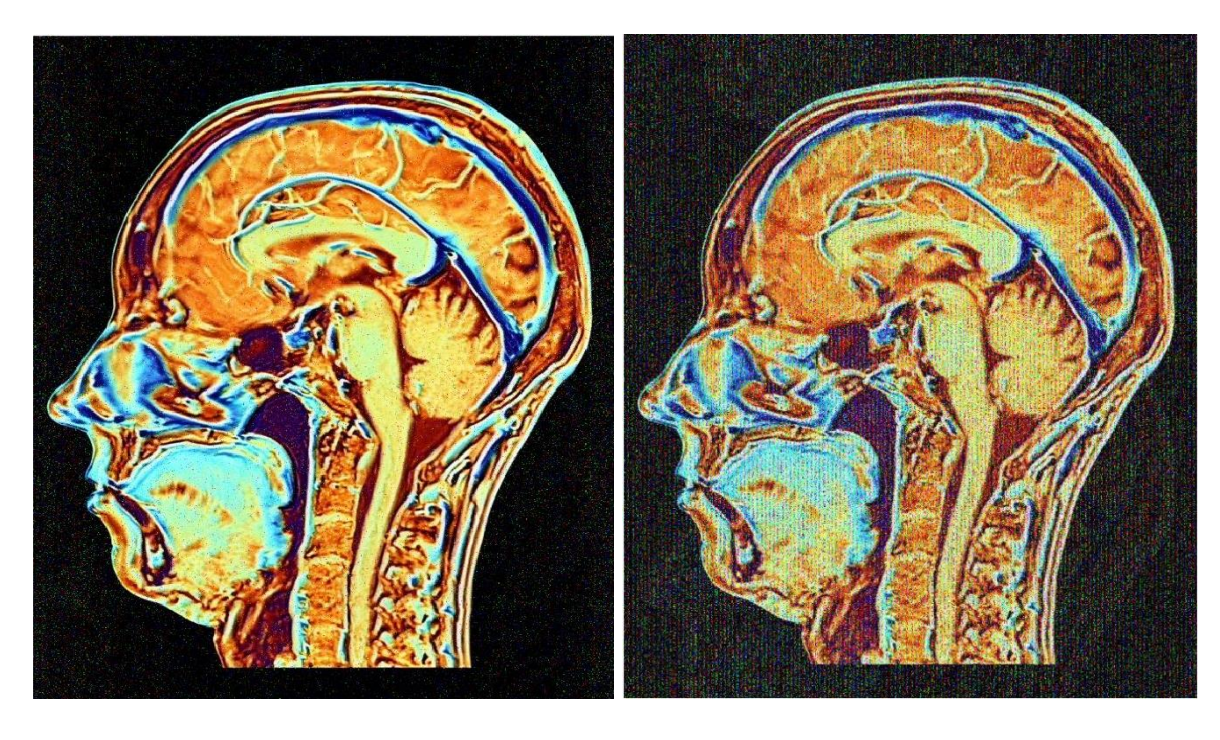


Рисунок 4.22. Передача изображения в системе MIMO с BPSK при SNR= 10 дБ



(b) с адаптацией (MSE=0.024)

(c) без адаптации (MSE=0.17)

Рисунок 4.23. Передача изображения в системе MIMO с 16-QAM при SNR=  $10~\mathrm{д}\mathrm{F}$ 

Далее рассмотри передачу обычных цветных изображений по беспроводному каналу. На рисунке 4.24 представлено оригинальное изображение, а на рисунках 4.25 и 4.26 показан результат для систем SISO и МІМО соответственно при модуляции поднесущих с помощью BPSK и отношением сигнал/шум 10 дБ.



Рисунок 4.24. Исходное изображение



(a) с адаптацией (MSE=0) (b) без адаптации (MSE= $1.9 \times 10^{-5}$ )

Рисунок 4.25. Передача цветного в системе SISO с BPSK при SNR= 10~дБ





(a) с адаптацией (MSE= $2.3x10^{-5}$ )

(b) без адаптации (MSE=0.063)

Рисунок 4.26. Передача изображения в системе 2х2МІМО с BPSK при SNR=  $10~\mathrm{д}\mathrm{F}$ 

Для количественно оценки качества принимаемых изображений построим зависимость среднеквадратической ошибки от отношения сигнал/шум для исходного черно-белого изображения.

Рассмотрим сначала систему SISO с модуляцией поднесущих BPSK и 16-QAM на рисунках 4.27 и 4.28 соответственно.

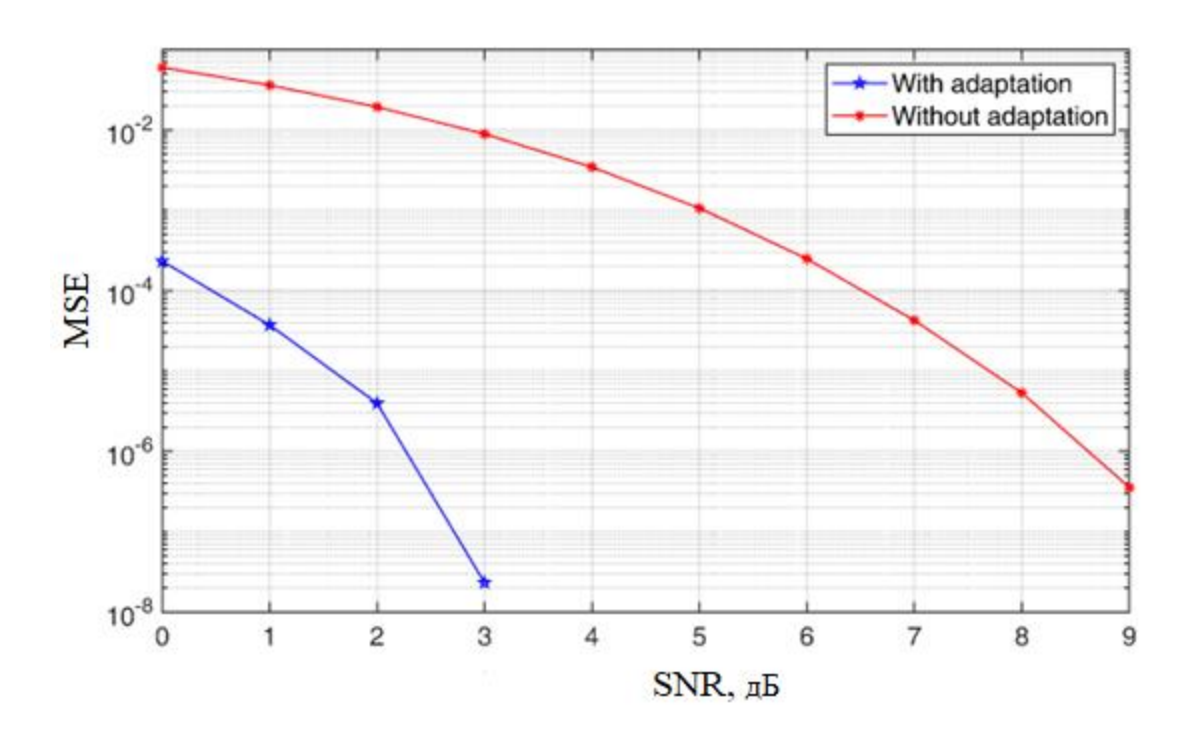


Рисунок 4.27. MSE принятого изображения в системе SISO с применением адаптивного алгоритма и модуляцией BPSK

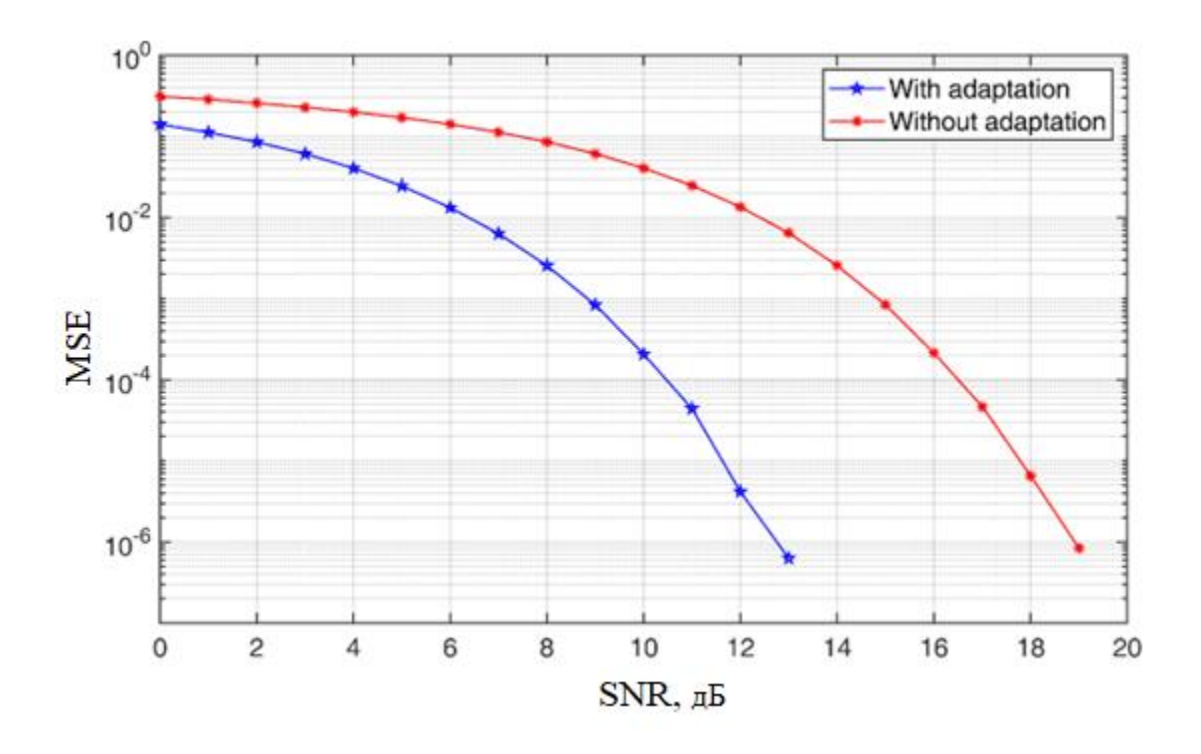


Рисунок 4.28. MSE принятого изображения в системе SISO с применением адаптивного алгоритма и модуляцией 16-QAM

Результаты аналогичного эксперимента для системы MIMO показаны на рисунках 4.29 и 4.30 соответственно.

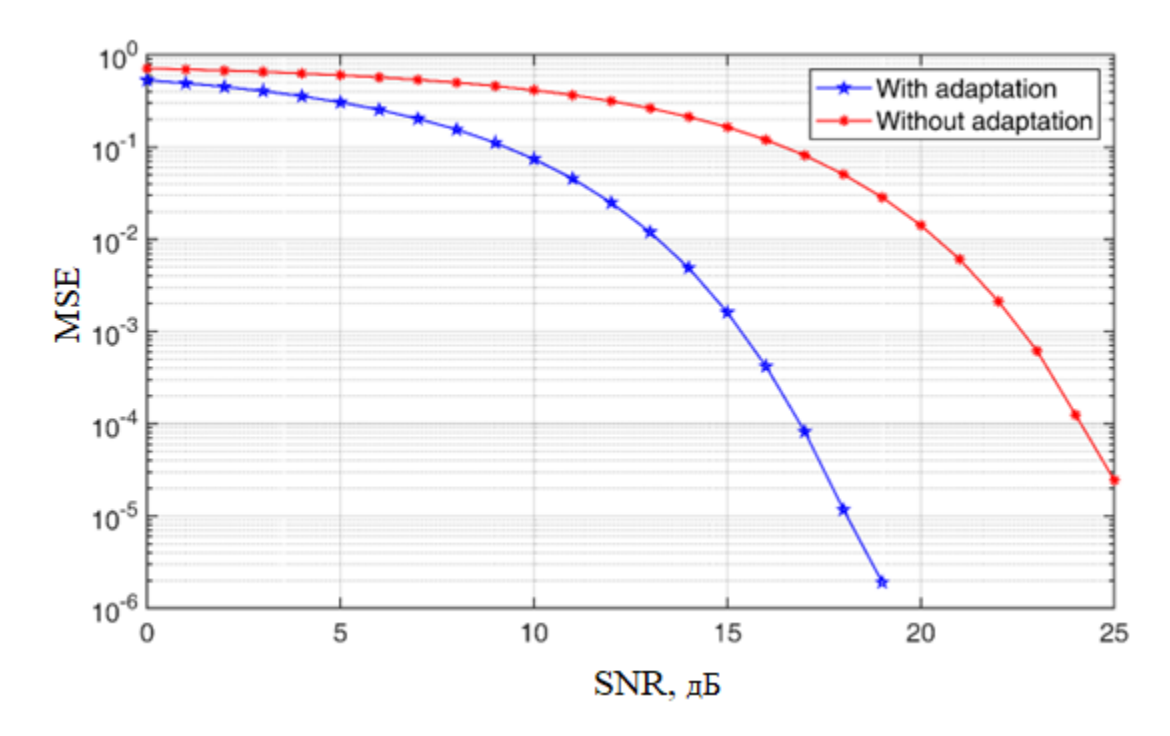


Рисунок 4.29. MSE принятого изображения в системе MIMO с применением адаптивного алгоритма и модуляцией BPSK

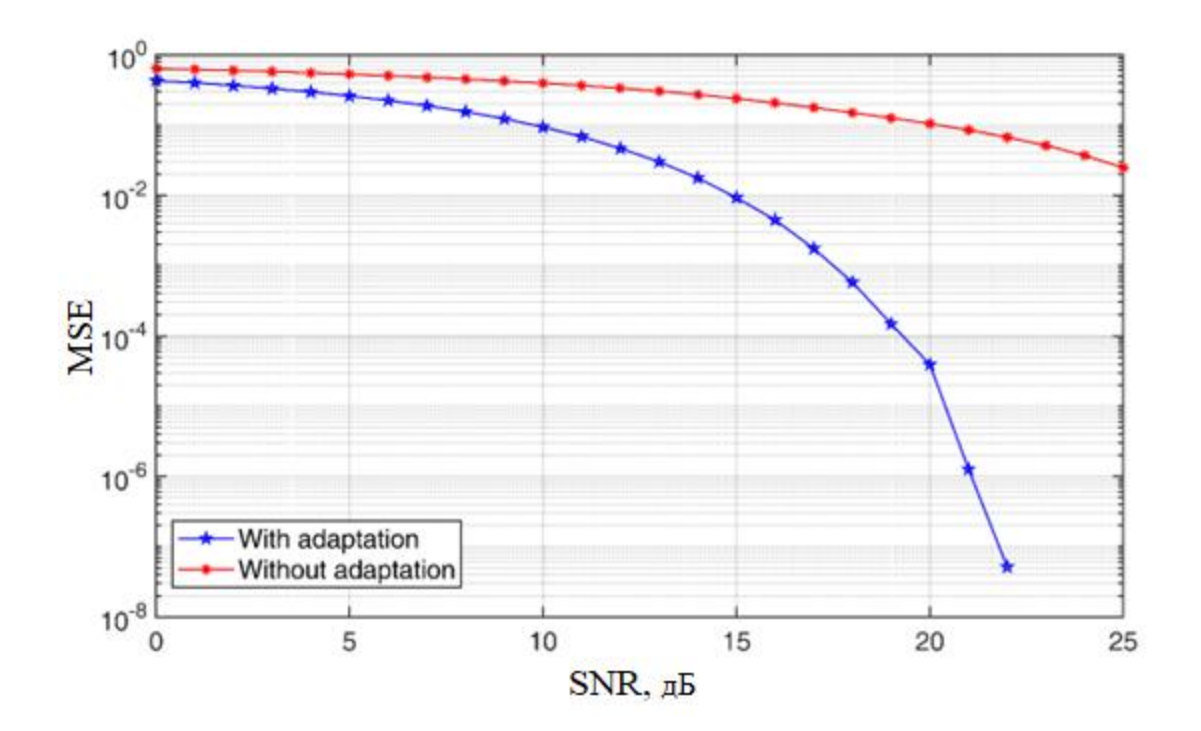


Рисунок 4.30. MSE принятого изображения в системе MIMO с применением адаптивного алгоритма и модуляцией 16-QAM

Анализ представленных рисунков показывает, что значение среднеквадратичной ошибки значительно снижается для систем SISO и МІМО, использующих адаптивный алгоритмом.

### 4.5. Выводы

- 1. Моделирование систем SISO и MIMO без применения адаптивного блока позволило сравнить помехоустойчивость этих систем при различных OFDM. цифровой манипуляции поднесущих также была видах проанализировано, будет как изменяться зависимость пропускной способности для систем с пространственно-временной обработкой при различном количестве антенн.
- 2. Было выполнено моделирование систем беспроводной связи с применение блока адаптивной обработки, который позволяет выполнять пространственную фильтрацию переотражённых сигналов для снижения

помех. В результате при различных параметрах блока адаптивной обработки были получены зависимости вероятности битовой ошибки в системе SISO и МІМО. Также была представлена зависимость пропускной способности бля систем с пространственной и адаптивной обработкой. Результаты показали, что адаптивный алгоритм формирует характеристику направленности приемной антенны в направлении пути с наибольшей мощностью.

- 3. Выполнено моделирование передачи изображений по беспроводному каналу с применение адаптивного алгоритма и без него для систем SISO и MIMO. Результаты были представлены в виде изображения на выходе приемника после декодирования сигнала, а также построены между нормализованной среднеквадратической ошибкой и отношением сигнал/шум. Результаты, зависящие от значений SNR, показали следующие значения MSE, например, для SISO при SNR 2 дБ получена MSE, равная  $1.5x10^{-4}$ , для MIMO  $2\times2$  при SNR 10 дБ получена MSE  $3.5*10^{-3}$  а для MIMO  $5\times5$  при SNR 12 дБ, MSE составила 0.041.
- 4. Выполнено моделирование передачи цветных и медицинских изображений в тех же системах с применение адаптивного алгоритма и без него. По результатам можно сделать вывод, что использование алгоритма адаптации эффективно позволяет передавать цветные и медицинские изображениями, снижает вероятность ошибок в передаваемом сообщении. Например, при фиксированном уровне SNR 10 дБ МЅЕ была получена 10<sup>-5</sup> при использовании адаптивного алгоритма для системы МІМО, тогда как МЅЕ для той же системы без адаптивного алгоритма равна 0,09. Также при том же значении SNR для системы SISO МЅЕ равна нулю при использовании адаптивного алгоритма, тогда как МЅЕ без адаптивного алгоритма равна 10<sup>-5</sup>.

### **ЗАКЛЮЧЕНИЕ**

Диссертация работа посвящена системам беспроводной связи на основе использования многочастотной метолов модуляции сигналов, обработки пространственного кодирования, a также адаптивной При диссертациии пространственно-временных сигналов. подготовке решены следующие задачи:

- 1. Разработана 3D-модель беспроводного канала WiMAX для анализа и исследования беспроводных систем связи на основе антенных решеток для передачи изображений по беспроводному каналу. Модуль учитывает отражения от различных объектов городской застройки и позволяет моделировать пути прохождения сигналов в трехмерном пространстве.
- 2. Для эффективной борьбы с переотражениями и замираниями в качестве сигналов используются многочастотные сигналы. Был рассмотрен один из популярных видов модуляции OFDM, а также предложена его структура, которая использовалась в работе.
- 3. Рассмотрено применение пространственно-временной обработки сигналов с целью обеспечить спектральной эффективности выделенной полосы частот для систем беспроводной связи и обеспечение большей скорости передачи информации.
- 4. Разработан адаптивный алгоритм пространственной фильтрации сигналов для беспроводных систем на основе антенных решеток. Разработанный алгоритм адаптации позволил снизить вероятность битовой ошибки при передаче информации за счет фильтрации сигналов в канале с отражениями.
- 5. Выполнено моделирование, которое подтвердило ээффективность разработанного алгоритма путем оценки вероятности битовой ошибки и пропускной способности. На основе результатов можно сделать вывод, что

применение алгоритма адаптации позволяет снизить вероятность битовой ошибки для систем SISO на несколько порядков, а для систем МІМО в десятки раз.

6. Моделирование передачи изображения позволило еще раз наглядно продемонстрировать эффективность предложенного алгоритма. А зависимость среднеквадратичной ошибки позволила численно оценить качество изображения на приемной стороне, в результате чего для систем SISO с отношением сигнал/шум 2 дБ был получен MSE равный  $1,5x10^{-4}$ , а для MIMO  $2\times2$  с тем же значением SNR MSE равный  $3,5*10^{-3}$ .

#### ЛИТЕРАТУРА

- 1 *Тихвинский В.О.* Сети мобильной связи LTE: технологии и архитектура [Текст] / В.О. Тихвинский, С.В. Терентьев, А.Б. Юрчук Москва: Эко-Трендз, 2010. 284 с.
- Федосов В.П. Научные задачи развертывания сети связи 5 поколения (5G) на основе сетей предыдущих поколений беспроводного доступа [Текст]
   / В.П. Федосов, А.В. Емельяненко, Р.В. Рубцов // Телекоммуникации . 2015.
   № 2. С. 2–9.
- 3 *Рошан*  $\Pi$ . Основы построения беспроводных локальных сетей стандарта 802.11 [Текст] /  $\Pi$ . Рошан, Д. Лиэри; пер. с англ. Москва: Издательский дом «Вильямс», 2004-304 с.
- 4 *Вишневский В.М.* Энциклопедия WiMAX Путь к 4G [Текст] / В.М. Вишневский, С.Л. Портной, И.В. Шахнович Москва: Техносфера, 2009. 472 с.

- 5 Pareit D. The history of WiMAX: A complete survey of the evolution in certification and standardization for IEEE 802.16 and WiMAX [Teκcτ] / D. Pareit, B. Lannoo, I. Moerman, P. Demeester // IEEE Communications Surveys & Tutorials. 2011. No. 14 (4). P. 1183–1211.
- 6 Продукция АО «Концерн «Гранит-Электрон» и принципы, используемые в разработках Концерна [Электронный ресурс] // Электрон.дан. АО "Концерн "Гранит-Электрон". URL: https://www.granit-electron.ru/ (дата обращения: 27.04.2018).
- 7 Российский научно-исследовательский институт радио имени М.И. Кривошеева (ФГБУ НИИ Радио) [Электронный ресурс] // Электрон.дан. ФГБУ НИИ. URL: https://www.niir.ru (дата обращения: 30.04.2023).
- 8 AO «Росэлектроника» [Электронный ресурс] // Электрон.дан. AO «Росэлектроника». URL: https://ruselectronics.ru (дата обращения: 30.04.2023).
- 9 Krishna D. Image transmission through OFDM system under the influence of AWGN channel [Tekct] / D. Krishna, M. Anuradha // Book Image transmission through OFDM system under the influence of AWGN channel. IOP Publishing. 2017. P. 012217.
- 10 Reddy A.Y. MSE and BER analysis of text, audio and image transmission using ML based OFDM [Teκct] / A.Y. Reddy, B.L. Reddy, A.S.N.V. Sai, K. Anuraj // Book MSE and BER analysis of text, audio and image transmission using ML based OFDM. IEEE. 2020. P. 1–3.
- 11 *Mannan A*. Adaptive processing of image using DWT and FFT OFDM in AWGN and Rayleigh channel [Teκct] / A. Mannan, A. Habib // International conference on communication, computing and digital systems (C-CODE). IEEE. 2017. P. 346–350.

- 12 Usha S.M. Least square channel estimation for image transmission with OFDM over fading channel [Teκcτ] / S.M. Usha, H.B. Mahesh // International Journal of Computer Networks & Communications. − 2020. − Vol. 12. № 1. − P. 1–17.
- 13 Wu H. Vision transformer for adaptive image transmission over MIMO channels [Электронный ресурс] / H. Wu // arXiv preprint arXiv:2210.15347. URL: https://arxiv.org/abs/2210.15347 (дата обращения: 30.04.2023).
- 14 *Dharavathu K*. Efficient transmission of an encrypted image through a MIMO–OFDM system with different encryption schemes [Tekct] / K. Dharavathu, S.A. Mosa //Sensing and Imaging. 2020. Vol. 21. № 1. P. 13.
- 15 Kansal L. Performance analysis of massive MIMO-OFDM system incorporated with various transforms for image communication in 5G systems [Электронный ресурс] / L. Kansal // Electronics. URL: https://www.mdpi.com/2079-9292/11/4/621 (дата обращения: 30.04.2023).
- 16 Bandyopadhyay D. Internet of things: Applications and challenges in technology and standardization [Teκcτ] / D. Bandyopadhyay, J. Sen // Wireless personal communications. 2011. Vol. 58. C. 49–69.
- 17 Castells M. Mobile communication and society: A global perspective [Электронный ресурс] / Mit Press. URL: https://direct.mit.edu/books/ (дата обращения: 30.04.2023).
- *Chang R.* A theoretical study of performance of an orthogonal multiplexing data transmission scheme [Teκcτ] / R. Chang, R. Gibby // IEEE transactions on Communication Technology. 1968. No. 16 (4). P. 529–540.
- 19 Sen S. The body is the network: to safeguard sensitive data, turn flesh and tissue into a secure wireless channel [Teκcτ] / S. Sen, S. Maity, D. Das // IEEE Spectrum. 2020. No. 57 (12). P. 44–49.

- 20 *Meng H.* Modeling of transfer characteristics for the broadband power line communication channel [Teκcτ] / H. Meng, S. Chen, Y. Guan, C. Law, P. So, E. Gunawan, T. Lie // IEEE Transactions on Power delivery. 2004. No. 19 (3). P. 1057–1064.
- Weinstein S. Data transmission by frequency-division multiplexing using the discrete Fourier transform [Τεκcτ] / S. Weinstein, P. Ebert // IEEE transactions on Communication Technology. 1971. No. 19 (5). P. 628–634.
- 22 Wang B. Advances in cognitive radio networks: A survey [Teκcτ] / B. Wang, K.R. Liu // IEEE Journal of selected topics in signal processing. 2010. –No. 5 (1). P. 5–23.
- 23 Bingham J.A. Multicarrier modulation for data transmission: An idea whose time has come [Teκcτ] / J.A. Bingham // IEEE Communications magazine. 1990. –No. 28 (5). P. 5–14.
- 24 *Shen Y.* Channel estimation in OFDM systems [Teκcτ] / Y. Shen, E. Martinez // Freescale semiconductor application note. 2006. P. 1–15.
- 25 Cho Y.S. MIMO-OFDM wireless communications with MATLAB [Teκcτ] / Y.S. Cho, J. Kim, W.Y. Yang, C.G. Kang // John Wiley & Sons. 2010. P. 457.
- 26 Федосов В.П. Передача данных в канале 3D WIMAX на основе SISO-OFDM и МІМО-OFDM [Текст] / В.П. Федосов, Д.С.Д. Джамил, С.В. Кучерявенко // Известия Южного федерального университета. Технические науки. -2020. -№6. С. 6-18.
- 27 Mobile WiMAX. Part I: A technical overview and performance evaluation. WiMAX Forum [Электронный ресурс] / Book I: A technical overview and performance evaluation. URL: https://wimaxforum.org/ (дата обращения: 30.04.2023).

- *Etsi T.R.* Intelligent Transport Systems (ITS); Vehicular Communications; Basic Set of Applications; Definitions [Teκcτ] / T.R. Etsi //ETSI, Sophia Antipolis. Cedex. France. 2009.
- *Kaur S.* Performance evaluation of bit error rate in WiMAX using different modulation techniques [Teκcτ] / S. Kaur, K. Singh // International Journal for Technological Research in Engineering. 2014. Vol. 1 (10). P. 1135–1138.
- 30 Ali N.A. A performance study of uplink scheduling algorithms in point-to-multipoint WiMAX networks [Teκct] / N.A. Ali, P. Dhrona, H. Hassanein // Computer communications. 2009. Vol. 32 (3). P. 511–521.
- *Kasban H.* Performance improvement of digital image transmission over mobile WiMAX networks [Teκcτ] / H. Kasban, M.A.M.K. El-Bendary // Wireless Personal Communications. 2017. Vol. 94. P. 1087–1103.
- 32 Sedani B.S. Modeling simulation and comparative analysis of wimax system using mimo OFDM and alamouti coding scheme [Teκcτ]: for the degree of Doctor of Philosophy in Engineering and Technology (Electronics and Communication) / B.S. Sedani. Shri Jagdishprasad Jhabarmal Tibarewala University. Vidyanagari. Jhunjhunu. Rajasthan, 2012. 650 p.
- *Легин А.А.* Адаптивный алгоритм обработки пространственновременных сигналов для цифровой линии связи в среде с переотражениями [Текст]: дис. ... к. т. н.: 05.12.04 / А.А. Легин. Таганрог, 2018. 167 с.
- *Mostofi Y.* Mathematical analysis of the impact of timing synchronization errors on the performance of an OFDM system [Tekct] / Y. Mostofi, D.C. Cox // IEEE Transactions on Communications. 2006. Vol. 54 (2). P. 226–230.
- 35 Fedosov V. Modeling of systems wireless data transmission based on antenna arrays in underwater acoustic channels [Tekct] / V. Fedosov, A. Lomakina, A. Legin, V. Voronin // Proceedings of SPIE. The International Society for Optical Engineering. Architectures, Algorithms, and Applications.

- Multisensor, Multisource Information Fusion: Architectures, Algorithms, and Applications 2016. 2016. P. 98720G.
- 36 *Федосов В*. Алгоритмы обработки пространственно-временных сигналов. Учебное пособие [Текст] / В. Федосов, А. Ломакина // Таганрог: Издательство Южный федеральный университет, 2015. –73 с.
- 37 *Holter B*. On the capacity of the MIMO channel: A tutorial introduction [Teκcτ] / B. Holter // Proc. IEEE Norwegian Symposium on Signal Processing. 2001. Vol. 2. P. 167–172.
- 38 Yu K. Models for MIMO propagation channels: a review [Tekct] / K. Yu, B. Ottersten // Wireless communications and mobile computing. -2002. Vol. 2. Nototion 7. P. 653–666.
- Gesbert D. From theory to practice: An overview of MIMO space-time coded wireless systems [Teκct] / D. Gesbert, M. Shafi, D.-S. Shiu, P.J. Smith, A. Naguib // IEEE Journal on selected areas in Communications. 2003. Vol. 21 (3). P. 281–302.
- 40 *Harbi Y.* Enhanced air-interfaces for fifth generation mobile broadband communication [Teκcτ]: PhD thesis / Y. Harbi. University of York, 2017. P. 37.
- 41 Laneman J.N. Distributed space-time-coded protocols for exploiting cooperative diversity in wireless networks [Teκcτ] / J.N. Laneman, G.W. Wornell // IEEE Transactions on Information theory. − 2003. − Vol. 49. № 10. − C. 2415–2425.
- 42 *Bölcskei H.* Space-time wireless systems: from array processing to MIMO communications [Текст] / H. Bölcskei, D. Gesbert, C.B. Papadias // Cambridge University Press. 2006. 620 р.

- 43 *Vilar F.C.* Implementation of zero forcing and MMSE equalization techniques in OFDM [Teκcτ] / F.C. Vilar, A. de Lucena // Universitat Politècnica de Catalunya: Escola Tècnica Superior d'Enginyeria. 2015. 52 p.
- *Kumar N.S.* Performance analysis of m\* n equalizer based minimum mean square error (MMSE) receiver for MIMO wireless channel [Tekct] / N.S. Kumar, K.R.S. Kumar //International Journal of Computer Applications. − 2011. − Vol. 16. N 7. − C. 47−50.
- 45 *Kim N*. Performance analysis of MIMO system with linear MMSE receiver [Teκcτ] / N. Kim, Y. Lee, H. Park // IEEE Transactions on Wireless Communications. 2008. Vol. 7. № 11. C. 4474–4478.
- 46 *Uthansakul P.* Multipath signal effect on the capacity of MIMO, MIMO-OFDM and spread MIMO-OFDM [Teκcτ] / P. Uthansakul, M.E. Bialkowski // 15th International Conference on Microwaves. Radar and Wireless Communications. IEEE Cat. No. 04EX824. 2004. Vol. 3. P. 989–992.
- 47 Shafin R. DoA estimation and capacity analysis for 3-D millimeter wave massive-MIMO/FD-MIMO OFDM systems [Teκcτ] / R. Shafin, L. Liu, J. Zhang, Y.C. Yu // IEEE Transactions on Wireless Communications. − 2016. − Vol. 15. № 10. − P. 6963–6978.
- 48 Guerreiro J. On the achievable capacity of MIMO-OFDM systems in the CathLab environment [Tekct] / J. Guerreiro, R. Dinis, L. Campos // Sensors. 2020. Vol. 20. № 3. 938 p.
- 49 Zatman M. Underwater acoustic mimo channel capacity [Текст] / M. Zatman, B. Tracey // Book Underwater acoustic mimo channel capacity. IEEE. 2002. P. 1364–1368.
- 50 Catreux S. Adaptive modulation and MIMO coding for broadband wireless data networks [Tekct] / S. Catreux, V. Erceg, D. Gesbert, R.W. Heath // IEEE communications Magazine. 2002. Vol. 40. № 6. P. 108–115.

- 51 *Lee D.* DQN-based adaptive modulation scheme over wireless communication channels [Teκcτ] / D. Lee, Y. Ghyu Sun, S. Hyun Kim, I. Sim // IEEE Communications Letters. 2020. Vol. 24. № 6. P. 1289–1293.
- 52 Fantacci R. Adaptive modulation and coding techniques for OFDMA systems [Tekct] / R. Fantacci, D. Marabissi, D. Tarchi, I. Habib // IEEE Transactions on Wireless Communications. 2009. Vol. 8. № 9. P. 4876–4883.
- 53 Berberidis K. Efficient decision feedback equalizer for sparse multipath channels [Τεκcτ] / K. Berberidis, A.A. Rontogiannis // IEEE international conference on acoustics speech and signal processing. 2000. Vol. 5. P. V–2725.
- 54 *Barry J.R.* Simulation of multipath impulse response for indoor wireless optical channels [Teκcτ] / J.R. Barry, J.M. Kahn, W.J. Krause, E.A. Lee, D.G. Messerschmitt // IEEE journal on selected areas in communications. − 1993. − Vol. 11. № 3. − P. 367–379.
- 55 Coleri S. Channel estimation techniques based on pilot arrangement in OFDM systems [Teκcτ] / S. Coleri, M. Ergen, A. Puri, A. Bahai // IEEE Transactions on broadcasting. 2002. Vol. 48. № 3. P. 223–229.
- Fedosov V.P. Analysis of an Adaptive Algorithm for Processing Space-Time Signals for Image Transmission Based on 3D Wireless Channel Model [Τεκcτ] / V.P. Fedosov, J.S. Jameel, S.V. Kucheryavenko // 2021 Radiation and Scattering of Electromagnetic Waves (RSEMW), IEEE. 2021. P. 443–446.
- 57 Fedosov V.P. Theoretical Analysis of Adaptive Algorithm Modulation Scheme in 3D OFDM WiMAX System [Tekct] / V.P. Fedosov, J.S. Jameel, S.V. Kucheryavenko // Trends in Sciences. 2022. Vol. 19, № 12. P. 4605-4605.

- Fedosov V. Three-dimensional model of hydro acoustic channel for research MIMO systems [Teκcτ] / V. Fedosov, A. Lomakina, A. Legin, V. Voronin // Proceedings of SPIE. The International Society for Optical Engineering. Ocean Sensing and Monitoring IX. 2017. Vol. 9. P. 101860W.
- 59 Ademaj F. 3GPP 3D MIMO channel model: A holistic implementation guideline for open source simulation tools [Teκcτ] / F. Ademaj, M. Taranetz, M. Rupp // EURASIP Journal on Wireless Communications and Networking. 2016. Vol. 1. P. 1–14.
- 60 *Khan M.W.* Modeling of acoustic propagation channel in underwater wireless sensor networks [Teκct] / M.W. Khan, Y. Zhou, G. Xu // Book Modeling of acoustic propagation channel in underwater wireless sensor networks. IEEE. 2014. P. 586–590.
- 61 Zajic A.G. Statistical modeling of MIMO mobile-to-mobile underwater channels [Текст] / A.G. Zajic // IEEE Transactions on Vehicular Technology. 2011. Vol. 60 (4). Р. 1337–1351.
- 2 Zhang L. On the 3D beamforming and proactive cell shaping with 3GPP 3D channel model [Teκct] / L. Zhang, J. Liu, K. Liu, Y. Zhou // Book On the 3D beamforming and proactive cell shaping with 3GPP 3D channel model. IEEE. 2014. P. 688–693.
- 63 *Oberli C.* Maximum likelihood tracking algorithms for MIMO-OFDM [Текст] / C. Oberli, B. Daneshrad // IEEE International Conference on Communications. 2004. Vol. 4. P. 2468–2472.
- 64 *Mashhadi M.B.* Pruning the pilots: Deep learning-based pilot design and channel estimation for MIMO-OFDM systems [Tekct] / M.B. Mashhadi, D. Gündüz // IEEE Transactions on Wireless Communications. − 2021. − Vol. 20. № 10. − P. 6315–6328.

- 65 Baxley R.J. Pilot design for OFDM with null edge subcarriers [Tekct] / R.J. Baxley, J.E. Kleider, G.T. Zhou // IEEE Transactions on Wireless Communications. 2009. Vol. 8. № 1. P. 396–405.
- 66 Zhao Y. A novel channel estimation method for OFDM mobile communication systems based on pilot signals and transform-domain processing [Τεκcτ] / Y. Zhao, A. Huang // IEEE 47th Vehicular Technology Conference. Technology in Motion. 1997. Vol. 3. P. 2089–2093.
- 67 Dietrich F.A. Pilot-assisted channel estimation based on second-order statistics [Teket] / F.A. Dietrich, W. Utschick // IEEE Transactions on Signal Processing. 2005. Vol. 53. № 3. P. 1178–1193.
- 68 Choi Y.S. On channel estimation and detection for multicarrier signals in fast and selective Rayleigh fading channels [Teκcτ] / Y.S. Choi, P.J. Voltz, F.A. Cassara // IEEE Transactions on Communications. 2001. Vol. 49. № 8. P. 1375–1387.
- 69 *Poornima R*. Performance improvement in mobile WiMAX using higher order sub carrier modulation techniques [Teκcτ] / R. Poornima, N. Prabakaran // International Conference on Circuits. Power and Computing Technologies: ICCPCT-2015. 2015. P. 1–5.
- 70 Salleh A. Simulation of WiMAX System Based on OFDM Model with Difference Adaptive Modulation Techniques [Tekct] / A. Salleh, N.R. Mohamad, M.Z.A. Abd Aziz, M.H. Misran, M.A. Othman, N.M.Z. Hashim // International Journal of Computer Science and Mobile Computing. − 2013. − Vol. 2. № 9. − P. 178–183.
- 71 Konyeha C. An Investigation into Bit Error Rate (BER) Performance of WiMAX Standard Compliant Systems [Электронный ресурс] / C. Konyeha, S. Konyeha // Wireless Communications. URL:

- https://www.researchgate.net/publication/344999913 (дата обращения: 30.04.2023).
- Mohamed M.A. Performance simulation of IEEE 802.16 e WiMAX physical layer [Текст] / M.A. Mohamed, M.S. Abo-El-Seoud, H.M. Abd-El-Atty // 2nd IEEE International Conference on Information Management and Engineering. 2010. P. 661–668.
- *Barhumi I.* Optimal training design for MIMO OFDM systems in mobile wireless channels [Tekct] / I. Barhumi, G. Leus, M. Moonen // IEEE Transactions on signal processing. 2003. Vol. 51 (6). P. 1615–1624.
- 74 *Minn H*. Optimal training signals for MIMO OFDM channel estimation [Teκcτ] / H. Minn, N. Al-Dhahir // IEEE transactions on wireless communications. 2006. Vol. 5 (5). P. 1158–1168.
- 75 Liao Y. Deep learning based channel estimation algorithm for fast timevarying MIMO-OFDM systems [Teκcτ] / Y. Liao, Y. Hua, Y. Cai // IEEE Communications Letters. 2019. Vol. 24. № 3. P. 572–576.
- 76 Foschini G.J. On limits of wireless communications in a fading environment when using multiple antennas [Teκcτ] / G.J. Foschini, M.J. Gans // Wireless personal communications. 1998. Vol. 6 (3). P. 311–335.
- 77 Mare K.P. On the performance gain of STFC-LDPC concatenated coding scheme for MIMO-WiMAX [Tekct] / K.P. Mare // University of Pretoria. 2009. 125 p.
- 78 Abe T. Space-time turbo equalization in frequency-selective MIMO channels [Tekct] / T. Abe, T. Matsumoto // IEEE Transactions on Vehicular Technology. 2003. Vol. 52. № 3. P. 469–475.
- Paulraj A.J. Space-time processing for wireless communications [Teκct] / A.J. Paulraj, C.B. Papadias // IEEE signal processing magazine. 1997. Vol. 14. № 6. P. 49–83.

- 80 Krouma H. Low rank MMSE channel estimation in MIMO-OFDM systems [Текст] / H. Krouma, M. Benslama, F. Othmani-Marabout // Book Low rank MMSE channel estimation in MIMO-OFDM systems. IEEE. 2012. P. 279–284.
- 81 *Luo Z.* General MMSE channel estimation for MIMO-OFDM systems [Teκcτ] / Z. Luo, D. Huang // Book General MMSE channel estimation for MIMO-OFDM systems. IEEE. 2008. P. 1–5.
- 82 Shrivas A.K. A comparative analysis of LS and MMSE channel estimation techniques for MIMO-OFDM system [Tekct] / A.K. Shrivas // International Journal for Scientific Research and Development. − 2015. − Vol. 1. № 8. − P. 44–48.
- 83 *Raju M.* Mean square error analysis in MIMO-OFDM system using pilot based channel estimation [Текст] / M. Raju, K.A. Reddy // International Conference on Signal Processing. Communication. Power and Embedded System. 2016. P. 1631–1636.
- 84 *Dubey N*. A comprehensive review on channel estimation in OFDM system [Tekct] / N. Dubey, A. Pandit // International Journal online of science. -2019. Vol. 5. No 3. P. 1–4.
- 85 Bagadi K.P. MIMO-OFDM channel estimation using pilot carries [Tekct] / K.P. Bagadi, S. Das // International Journal of computer applications. 2010. Vol. 2. № 3. P. 81–88.
- 86 *Dong M*. Optimal design and placement of pilot symbols for channel estimation [Tekct] / M. Dong, L. Tong // IEEE Transactions on Signal Processing. 2002. Vol. 50. № 12. P. 3055–3069.
- 87 Yang L.X. Synchronization of three identical systems and its application for secure communication with noise perturbation [Tekct] / L.X. Yang, J. Zhang //

- International Conference on Information Engineering and Computer Science. 2009. P. 1–4.
- Ramanathan A. Machine Learning in Music Genre Classification [Tekct] / A. Ramanathan, P. Srivastava, R. Jeya // Turkish Online Journal of Qualitative Inquiry. 2021. Vol. 12. № 3. P. 2494–2510.
- 89 *Hendessi F.* Co-channel and adjacent channel interference in wireless cellular communications [Teκcτ] / F. Hendessi, A.U. Sheikh, R.M. Hafez // Wireless Personal Communications. 2000. Vol. 12 (3). P. 239–253.
- 90 Ramanathan A. Machine Learning in Music Genre Classification [Tekct] / A. Ramanathan, P. Srivastava, R. Jeya // Turkish Online Journal of Qualitative Inquiry. 2021. Vol. 12. № 3. P. 2494–2510.
- 91 Bhargav N. Co-channel interference and background noise in k-μ fading channels [Tekct] / N. Bhargav, C.R.N. da Silva, Y.J. Chun, S.L. Cotton, M.D. Yacoub // IEEE Communications Letters. 2017. Vol. 21 (5). P. 1215–1218.
- 92 Romero-Jerez J.M. Receive antenna array strategies in fading and interference: an outage probability comparison [Teκcτ] / J.M. Romero-Jerez, A.J. Goldsmith // IEEE Transactions on Wireless Communications. 2008. Vol. 7 (3). P. 920–932.
- 93 *Ermolova N.Y.* Outage probability analysis in generalized fading channels with co-channel interference and background noise:  $\eta-\mu/\eta-\mu$ ,  $\eta-\mu/\kappa-\mu$ , and  $\kappa-\mu/\eta-\mu$  scenarios [Tekct] / N.Y. Ermolova, O. Tirkkonen // IEEE Transactions on Wireless Communications. 2013. Vol. 13 (1). P. 291–297.
- Madhusudhan K. A secure medical image transmission algorithm based on binary bits and Arnold map [Текст] / K. Madhusudhan, P. Sakthivel // Journal of Ambient Intelligence and Humanized Computing. 2021. Vol. 12. P. 5413–5420.

- 95 Jameel J.S. Lossy Compression of Medical Images Using Multiwavelet Transforms [Tekct] / J.S. Jameel, M.H. Ali, M. Abomaaly, H.K. Shamkhi, N. Yahya // Journal of Telecommunication, Electronic and Computer Engineering (JTEC). − 2017. − № 9. − P. 7–11.
- 96 Jameel J.S. Medical Image Denoising Using Mixed Transforms [Τεκcτ] / J.S. Jameel // Journal of University of Babylon for Engineering Sciences. 2018. Vol. 26 (4). P. 272–281.
- 97 *Mrak M.* Picture quality measures in image compression systems [Текст] / M. Mrak, S. Grgic, M. Grgic // Book Picture quality measures in image compression systems. IEEE. 2003. P. 233–236.
- 98 Yang C.-Y. Single-image super-resolution: A benchmark [Текст] / С.-Y. Yang, C. Ma, M.-H. Yang // Book Single-image super-resolution: A benchmark. 2014. P. 372–386.
- 99 Fedosov V. Adaptive algorithm for data transmission in wireless channels based on MIMO-OFDM technique [Teκcτ] / V. Fedosov, A. Legin, A. Lomakina // Book Adaptive algorithm for data transmission in wireless channels based on MIMO-OFDM technique. 2017. P. 218–221.
- 100 *Fedosov V.* Algorithms based on MIMO-OFDM technology for realization of digital hydroacoustic communication channel [Tekct] / V. Fedosov, A. Legin, A. Lomakina // Izvestiya SfedU. Engineering Sciences. 2015. Vol. 168 (7). P. 148–158.
- 101 *Fedosov V.P.* Transmitting Image in 3D Wireless Channel using Adaptive Algorithm Processing with MMSE based on MIMO principles [Tekct] / V.P. Fedosov, J.S. Jameel, S.V. Kucheryavenko // Journal of Physics: Conference Series. IOP Publishing. 2021. Vol. 1973, № 1. P. 012131.

- 102 Korn G.A. Analog/hybrid computation and digital simulation [Текст] / G.A. Korn, R. Vichnevetsky // IEEE Transactions on Computers. 1976. Vol. 25 (12). Р. 1312–1320.
- *Fedosov V.* Adaptive algorithm based on antenna arrays for radio communication systems [Teκcτ] / V. Fedosov, A. Legin, A. Lomakina // Serbian Journal of Electrical Engineering. 2017. Vol. 14. № 3. P. 301–312.
- *Schulze H*. Theory and applications of OFDM and CDMA: Wideband wireless communications [Текст] / H. Schulze, C. Lüders // John Wiley & Sons. 2005. P. 420.
- *Sklar B*. Rayleigh fading channels in mobile digital communication systems.

  I. Characterization [Τεκcτ] / B. Sklar // IEEE Communications magazine. 1997.

   Vol. 35 (7). P. 90–100.
- *Belouchrani* A. Direction finding in correlated noise fields based on joint block-diagonalization of spatio-temporal correlation matrices [Текст] / A. Belouchrani, M.G. Amin, K. Abed-Meraim // IEEE Signal Processing Letters. 1997. Vol. 4 (9). P. 266–268.
- *Ordóñez L.G.* Ordered eigenvalues of a general class of Hermitian random matrices with application to the performance analysis of MIMO systems [Τεκcτ] / L.G. Ordóñez, D.P. Palomar, J.R. Fonollosa // IEEE Transactions on Signal Processing. 2008. Vol. 57 (2). P. 672–689.
- *Рыжов В.П.* Многопользовательское пространственно-временное кодирование и декодирование в системе связи на основе антенных решеток [Текст] / В.П. Рыжов, В.П. Федосов // Излучение и рассеяние электромагнитных волн ИРЭМВ-2003. 2003. С. 271–275.
- 109 Ahmadi S. Mobile WiMAX: A systems approach to understanding IEEE 802.16 m radio access technology [Текст] / S. Ahmadi // Academic Press. 2010. P. 20123.

110 Wang H. 4G wireless video communications [Текст] / H. Wang, L. Kondi, A. Luthra, S. Ci // John Wiley & Sons. – 2009. – 394 р.

#### приложения

## Функция модуляции OFDM-сигнала

```
classdef OFDMModulator < handle</pre>
  properties (Access = private) % Properties
      NSbuCarrier = 256; % Number of subcarriers (total))
      NumGuardSubCarriers = [0, 0]; % Number of subcarriers at the edges of the symbol
      CycPrefixLength = 8; % Cyclic prefix duration
      Windowing = false; % Window treatment
      DCSubCarrier = true; % Presence of zero subcarrier
      WindowingLength = 16; % Window duration
      NumofPilots = []; % Pilot subcarrier numbers
      NumSymbols = 1; %Characters
      PreambuleInsert = false; % Add preamble
      PreambulePeriod = 4; % Preamble is added every 4 characters
  end
  methods (Access = public) %??????
     function obj = OFDMModulator(varargin)
       if nargin > 0
         for i = 1 : 2 : length(varargin)
            switch varargin{i}
               case 'NSbuCarrier'
                 obj.NSbuCarrier = 2^nextpow2(varargin{i + 1});
                 if((obj.NumGuardSubCarriers(1) + obj.NumGuardSubCarriers(2)) >=
obj.NSbuCarrier)
                   error(");
                 end
               case 'DCSubCurrier'
                 if(isa(varargin{i + 1}, 'logical'))
                   obj.DCSubCarrier = varargin{i + 1};
                 else
                    error('DCSubCarrier');
                 end
               case 'NumGuardSubCarriers'
                 [n, m] = size(varargin\{i + 1\});
                 if(n == 1 \&\& m == 2)
                    if((varargin\{i+1\}(1) + varargin\{i+1\}(2)) >= obj.NSbuCarrier)
                       error('NumGuardSubCarriers');
                    obj.NumGuardSubCarriers(1) = varargin\{i + 1\}(1);
                    obj.NumGuardSubCarriers(2) = varargin{i + 1}{(2)};
                   error('NumGuardSubCarriers');
```

```
case 'NumPilotSubCarriers'
                  [n, \sim] = size(varargin\{i + 1\});
                  if(n > 1)
                     error('NumPilotSubCarriers');
                  obj.NumofPilots = varargin\{i + 1\};
               case 'CycPrefixLength'
                  obj.CycPrefixLength = varargin{i + 1};
               case 'WindowingLength'
                  obj. Windowing Length = varargin\{i + 1\};
               case 'Windowing'
                 if(isa(varargin{i + 1}, 'logical'))
                   obj. Windowing = varargin\{i + 1\};
                   error('Windowing');
                 end
               case 'NumSymbols'
                 if(varargin{i + 1} > 0)
                    obj.NumSymbols = varargin{i + 1};
                 else
                   error('OFDM');
                 end
               case 'PreambuleInsert'
                  if(isa(varargin{i + 1}, 'logical'))
                     obj.PreambuleInsert = varargin\{i + 1\};
                   error('PreambuleInsert');
                  end
               otherwise
                 error(");
            end
         end
       else
          warning(");
       end
     end
     function [OutSignal_t, OutSignal_f] = Modulate(obj, objTx, InSignal, channel)
      NumTx = objTx.getNumTxAntenna();
      [PosData, PosPilot, PilotData] = obj.DataAndPilotPos(obj.NumofPilots,
obj.NumGuardSubCarriers, NumTx, obj.NSbuCarrier, obj.DCSubCarrier,
channel.GetNumPath());
      if(obj.PreambuleInsert)
```

end

```
Hpr = comm.PNSequence('Polynomial',[11 2 0], ...
                'SamplesPerFrame', obj.NSbuCarrier,...
                'InitialConditions',[1 1 1 1 1 1 1 1 1 1 1]);
         NumPreambule = ceil(obj.NumSymbols / obj.PreambulePeriod);
       else
         NumPreambule = 0;
      end
      TimeFrameLength = obj.NSbuCarrier + obj.CycPrefixLength;
      OutSignal t = zeros(obj.NSbuCarrier+obj.CycPrefixLength, obj.NumSymbols, NumTx);
      OutSignal_f = zeros(obj.NSbuCarrier, obj.NumSymbols, NumTx);
      SymbolSuffix = zeros(1, obj.CycPrefixLength);
      tempT = zeros(1, obj.NSbuCarrier + obj.CycPrefixLength);
      for tx = 1 : 1 : NumTx
        SymCount = 1:
        for Nsym = 1 : 1 : obj.NumSymbols + NumPreambule
           if(mod((Nsym - 1) + obj.PreambulePeriod, obj.PreambulePeriod) == 0 &&
obj.PreambuleInsert == true)
             tempF = step(Hpr);
             tempF = 4/3*2*(0.5-tempF);
             for l = 1 : 1 : obj.NSbuCarrier/2
                tempF(1*2) = 0;
             end
              OutSignal_f(:, Nsym, tx) = ifftshift(tempF);
           else
              OutSignal_f(PosData, Nsym, tx) = InSignal(:, SymCount, tx);
              OutSignal_f(PosPilot(tx, :), Nsym, tx) = PilotData(:, tx);
              OutSignal_f(:, Nsym, tx) = ifftshift(OutSignal_f(:, Nsym, tx));
              SymCount = SymCount + 1;
           tempT(obj.CycPrefixLength+1:end) = ifft(OutSignal_f(:, Nsym, tx).').*
obj.NSbuCarrier;
           tempT(1:obj.CycPrefixLength) = tempT(end-obj.CycPrefixLength+1:end);
           if(obj.Windowing == true)
             windowNextSymbol=[0.5*(1-cos(pi*(0.5:obj.WindowingLength-
0.5)/obj.WindowingLength)), ones(1, obj.CycPrefixLength - obj.WindowingLength)];
             windowPreviousSymbol=fliplr(windowNextSymbol);
             SymbolPrefix = tempT(end-obj.CycPrefixLength+1:end) .* windowNextSymbol +
SymbolSuffix .* windowPreviousSymbol;
             SymbolSuffix = tempT(obj.CycPrefixLength+1 : obj.CycPrefixLength * 2);
             tempT(1:obj.CycPrefixLength) = SymbolPrefix;
           else
             tempT(1:obj.CycPrefixLength) = tempT(end-obj.CycPrefixLength+1:end); %
           OutSignal t(:, Nsym, tx) = tempT.';
        end
      end
```

```
end %Modulate END
    function [n] = GetNSym(obj)
       n = obj.NumSymbols;
    end%GetNSym END
    function [payload_size] = GetRequireBits(obj)
       payload_size = obj.NSbuCarrier - obj.DCSubCarrier - obj.NumGuardSubCarriers(1) -
obj.NumGuardSubCarriers(2) - length(obj.NumofPilots);
    end %GetRequireBits END
  end %Public mothods END
  methods (Access = private)
    function [PosData, PosPilot, PilotData] = DataAndPilotPos(obj, NumPilots,
NumGuardSubCarriers, NTx, NSbuCarrier, DCSubCarrier, L)
       LengthPilot = length(NumPilots);
       PosPilot = zeros(NTx, LengthPilot);
       PosData = NumGuardSubCarriers(1) + 1 : 1 : NSbuCarrier - NumGuardSubCarriers(2);
       for tx = 1 : 1 : NTx
         PosPilot(tx, :) = NumPilots;
         for i = 1 : 1 : LengthPilot
           PosData(PosData == PosPilot(tx, i)) = [];
         end
       end
       if (DCSubCarrier)
         PosData(PosData == (NSbuCarrier / 2 + 1)) = [];
       end
       PilotData = zeros(LengthPilot, NTx);
       for tx = 1 : 1 : NTx
         PilotData(:, tx) = \exp(-sqrt(-1) * 2 * pi * (tx-1) * L * (1:LengthPilot).' / LengthPilot);
    end %DataAndPilotPos END
  end %Private mothods END
end
                     Функция демодуляции OFDM-сигнала
classdef OFDMDemodulator < handle
  properties (Access = private)
     NSbuCarrier = 256
     NumGuardSubCarriers = [0, 0];
     CycPrefixLength = 8;
     Windowing = false;
     WindowingLength = 16;
     NumofPilots = [];
     NumSymbols = 1
     PreambuleInsert = false
     PreambulePeriod = 4
     EstimateMethod = 'LSE'
```

```
end
  methods (Access = public)
     function obj = OFDMDemodulator(varargin)
       if nargin > 0
         for i = 1 : 2 : length(varargin)
             switch varargin{i}
               case 'NSbuCarrier'
                  obj.NSbuCarrier = 2^nextpow2(varargin{i + 1});
obj.NSbuCarrier)
                    error(");
                  end
               case 'DCSubCurrier'
                  if(isa(varargin{i + 1}, logical))
                    obj.DCSubCarrier = varargin\{i + 1\};
                  else
                    error('DCSubCarrier');
                  end
               case 'NumGuardSubCarriers'
                  [n, m] = size(varargin\{i + 1\});
                  if(n == 1 \&\& m == 2)
                    if((varargin\{i+1\}(1) + varargin\{i+1\}(2)) >= obj.NSbuCarrier)
                        error('NumGuardSubCarriers');
                    end
                    obj.NumGuardSubCarriers(1) = varargin\{i + 1\}(1);
                    obj.NumGuardSubCarriers(2) = varargin\{i + 1\}(2);
                  else
                   error('NumGuardSubCarriers');
                  end
               case 'NumPilotSubCarriers'
                  [n, \sim] = size(varargin\{i + 1\});
                  if(n > 1)
                     error('NumPilotSubCarriers');
                  end
                  obj.NumofPilots = varargin{i + 1};
               case 'CycPrefixLength'
                  obj.CycPrefixLength = varargin{i + 1};
               case 'WindowingLength'
                  obj.WindowingLength = varargin\{i + 1\};
               case 'Windowing'
                  if(isa(varargin{i + 1}, 'logical')
                   obj.Windowing = varargin\{i + 1\};
                  else
                    error('Windowing');
                  end
               case 'NumSymbols'
```

```
if(varargin{i + 1} > 0)
                   obj.NumSymbols = varargin{i + 1};
                 else
                   error('OFDM0');
                 end
              case 'PreambuleInsert'
                 if(isa(varargin{i + 1}, 'logical'))
                    obj.PreambuleInsert = varargin\{i + 1\};
                 else
                  error('PreambuleInsert');
                 end
              case 'EstimateMethod'
                 if strcmp(varargin\{i+1\}, 'LSE') \parallel strcmp(varargin\{i+1\}, 'MMSE')
                   obj.EstimateMethod = varargin\{i + 1\};
                  error('Wrong estimation parametr');
                end
              otherwise
                 error(");
            end
         end
       else
         warning(");
       end
    end %OFDMDemodulator
function DemodData = DemodulateOFDM(obj, objTx, objRx, objCh, InData, varia)
       NumRx = objRx.getNumRxAntenna() / objRx.getNumBlockRxAntenna();
       NumTx = objTx.getNumTxAntenna();
       if(obj.PreambuleInsert)
         NumPreambule = ceil(obj.NumSymbols / obj.PreambulePeriod);
         PreambuleCount = 1:
       else
         NumPreambule = 0
       end
       [PosData, PosPilot, pilot_tx] = obj.DataAndPilotPos(obj.NumofPilots,
obj.NumGuardSubCarriers, NumTx, obj.NSbuCarrier, obj.DCSubCarrier,
objCh.GetNumPath());
       ModData = zeros(obj.NSbuCarrier, obj.NumSymbols, NumRx
       for rx = 1 : 1 : NumRx
        SymCount = 1;
        SymbolBegin = obj.CycPrefixLength + 1;
        for Nsym = 1 : 1 : obj.NumSymbols + NumPreambule
           if(mod((Nsym - 1) + obj.PreambulePeriod, obj.PreambulePeriod) == 0 &&
obj.PreambuleInsert == true
              sigma = obj.NSbuCarrier + obj.CycPrefixLength;
              SymbolBegin = sigma + obj.CycPrefixLength + 1
```

```
PreambuleCount = PreambuleCount + obj.PreambulePeriod
           else
              ModData(:, SymCount, rx) = fftshift(fft(InData(SymbolBegin : SymbolBegin +
obj.NSbuCarrier - 1, SymCount, rx))./obj.NSbuCarrier); OFDM?
              SymCount = SymCount + 1;
           end
        end
       end
       pilot rx = zeros(length(obj.NumofPilots), obj.NumSymbols, NumRx);
       for rx = 1 : 1 : NumRx
         for Nsym = 1 : 1 : obj.NumSymbols
              pilot_rx(:, Nsym, rx) = ModData(PosPilot(1, :), Nsym, rx);
         end
       end
       [H, Hw] = obj.ChannelEstimation(pilot_tx, pilot_rx, NumTx, NumRx,
objCh.GetNumPath(), obj.NSbuCarrier, obj.NumSymbols, PosPilot, varia);
%objCh.GetNumPath()
       PayloadLength = obj.NSbuCarrier - obj.DCSubCarrier - obj.NumGuardSubCarriers(1) -
obj.NumGuardSubCarriers(2) - length(obj.NumofPilots);
       Payload = zeros(PayloadLength, obj.NumSymbols, NumRx);
       for rx = 1 : 1 : NumRx
        for Nsym = 1 : 1 : obj.NumSymbols
           Payload(:, Nsym, rx) = ModData(PosData, Nsym, rx);
        end
       end
       DemodData = zeros(length(Payload), obj.NumSymbols, NumTx);
       for nsym = 1 : 1 : obj.NumSymbols
         for dl = 1 : 1 : length(Payload)
           DemodData(dl, nsym, :) = pinv(reshape(Hw(:, :, PosData(dl), nsym), NumRx,
NumTx)) * squeeze(Payload(dl, nsym, :));
         end
       end
    end %DemodulateOFDM
    function DemodData = DemodulateOFDMWithHmatrix(obj, objTx, objRx, objCh, InData,
H)
       NumRx = objRx.getNumRxAntenna() / objRx.getNumBlockRxAntenna();
       NumTx = objTx.getNumTxAntenna();
       for sym = 1 : 1 : obj.NumSymbols
         InData(:, sym, :) = (squeeze(H(:, :, sym))\squeeze(InData(:, sym, :)).').';
       end
       if(obj.PreambuleInsert)
         NumPreambule = ceil(obj.NumSymbols / obj.PreambulePeriod);
         PreambuleCount = 1;
       else
         NumPreambule = 0
       end
```

```
[PosData, PosPilot, pilot_tx] = obj.DataAndPilotPos(obj.NumofPilots,
obj.NumGuardSubCarriers, NumTx, obj.NSbuCarrier, obj.DCSubCarrier,
objCh.GetNumPath());
       ModData = zeros(obj.NSbuCarrier, obj.NumSymbols, NumRx
       for rx = 1 : 1 : NumRx
        SymCount = 1;
        SymbolBegin = obj.CycPrefixLength + 1;
        for Nsym = 1 : 1 : obj.NumSymbols + NumPreambule
           if(mod((Nsym - 1) + obj.PreambulePeriod, obj.PreambulePeriod) == 0 &&
obj.PreambuleInsert == true)
              sigma = obj.NSbuCarrier + obj.CycPrefixLength; %
             SymbolBegin = sigma + obj.CycPrefixLength + 1;%
             PreambuleCount = PreambuleCount + obj.PreambulePeriod
           else
              ModData(:, SymCount, rx) = fftshift(fft(InData(SymbolBegin : SymbolBegin +
obj.NSbuCarrier - 1, SymCount, rx))./obj.NSbuCarrier); OFDM?
             SymCount = SymCount + 1;
           end
        end
       end
       PayloadLength = obj.NSbuCarrier - obj.DCSubCarrier - obj.NumGuardSubCarriers(1) -
obj.NumGuardSubCarriers(2) - length(obj.NumofPilots);
       Payload = zeros(PayloadLength, obj.NumSymbols, NumRx);
      for rx = 1 : 1 : NumRx
        for Nsym = 1 : 1 : obj.NumSymbols
           Payload(:, Nsym, rx) = ModData(PosData, Nsym, rx);
        end
       end
       DemodData = zeros(length(Payload), obj.NumSymbols, NumTx);
       for nsym = 1 : 1 : obj.NumSymbols
         for dl = 1 : 1 : length(Payload)
           DemodData(dl, nsym, :) = Payload(dl, nsym, :);
         end
       end
    end %DemodulateOFDMWithHmatrix
  end % methods public
  methods (Access = private)
    function [h, H] = ChannelEstimation(obj, pilot_tx, pilots_rx, Ntx, Nrx, L, NSubCarrier,
Nsym, pilotPos, varia)
      h = zeros(Ntx, Nrx, L, Nsym);
      h_mmse = zeros(Ntx, Nrx, L, Nsym);
       H = zeros(Ntx, Nrx, NSubCarrier, Nsym);
      Hmmse = zeros(Ntx, Nrx, NSubCarrier, Nsym);
       F = dftmtx(NSubCarrier);
       F = fftshift(F(:, 1 : L), 1);
```

```
for nsym = 1 : 1 : Nsym
          for rx = 1:1:Nrx
            for tx = 1 : 1 : Ntx
              A(:,(1:L)+(tx-1)*L) = diag(pilot_tx(:,tx))*F(pilotPos(1,:),:);
              ChanEst = pinv(A)*pilots_rx(:, nsym, rx);
            for tx = 1 : 1 : Ntx
              h(rx,tx,:,nsym) = (ChanEst((1:L)+(tx-1)*L));
            end
          end
       end
       F = dftmtx(NSubCarrier);
       F = F(:, 1 : L);
       for nsym = 1 : Nsym
          for rx = 1 : Nrx
             for tx = 1 : Ntx
               H(rx, tx, :, nsym) = ifftshift(F * squeeze(h(rx, tx, :, nsym)));
             end
          end
       end
       if(strcmp(obj.EstimateMethod , 'MMSE'))
          F = dftmtx(NSubCarrier);
          F = fftshift(F(:, 1 : L), 1);
          for nsym = 1 : 1 : Nsym
            for rx = 1:1:Nrx
               for tx = 1 : 1 : Ntx
                 A(:,(1:L)+(tx-1)*L) = diag(pilot_tx(:,tx))*F(pilotPos(1,:),:);
               end
               ChanEst = pinv(A)*pilots_rx(:, nsym, rx);
               M = ones(length(ChanEst)) .* ChanEst.';
               R_h = (M * M') / length(ChanEst);
               ChanEst = R_h * A' * pinv(A*R_h*A' + varia * eye(100)) * pilots_rx(:, nsym,
rx);
               for tx = 1 : 1 : Ntx
                h_mmse(rx,tx,:,nsym) = (ChanEst((1:L)+(tx-1)*L));
               end
            end
          end
          F = dftmtx(NSubCarrier);
          F = F(:, 1 : L);
          for nsym = 1 : Nsym
            for rx = 1 : Nrx
               for tx = 1 : Ntx
                  Hmmse(rx, tx, :, nsym) = ifftshift(F * squeeze(h_mmse(rx, tx, :, nsym)));
               end
            end
```

```
end
         H = Hmmse;
       end
    end %ChannelEstimation ENd
    function [PosData, PosPilot, PilotData] = DataAndPilotPos(obj, NumPilots,
NumGuardSubCarriers, NTx, NSbuCarrier, DCSubCarrier, L)
       LengthPilot = length(NumPilots);
       PosPilot = zeros(NTx, LengthPilot);
       PosData = NumGuardSubCarriers(1) + 1 : 1 : NSbuCarrier - NumGuardSubCarriers(2);
       for tx = 1 : 1 : NTx
         PosPilot(tx, :) = NumPilots;
         for i = 1 : 1 : LengthPilot
            PosData(PosData == PosPilot(tx, i)) = [];
         end
       end
       if (DCSubCarrier)
         PosData(PosData == (NSbuCarrier / 2 + 1)) = [];
       PilotData = zeros(LengthPilot, NTx);
       for tx = 1 : 1 : NTx
         PilotData(:, tx) = \exp(-sqrt(-1) * 2 * pi * (tx-1) * L * (1:LengthPilot).' / LengthPilot);
       end
    end %DataAndPilotPos END
  end %methods private
end
```

### Функция адаптивной обработки сигнала в премнике

```
classdef AdaptationBlock < handle
  properties (Access = private)
     adaptationType = 'phase';
     nBlock = 2; %The number of blocks for the formation of DN
     DNSpase = 1; %Relative to voltage level 0.7
     nDn = 2; % Number of formed DNs
     dAlpha; %The angles at which the spaced DN end
  methods (Access = public)
     if nargin > 0
       for i = 1:2:length(varargin)
         switch varargin{i}
           case 'adaptationType'
             obj.adaptationType = varargin\{i + 1\};
           case 'nBlock'
             obj.nBlock = varargin\{i + 1\};
           case 'nDn'
              obj.nDn = varargin{i + 1};
         end
```

```
end
     end
    end
    function [adaptSignal, H, R, V, D, Wopt] = processAdaptation(obj, InSignal, objTx, objRx,
objSignal, objChannel, Hl)
       switch obj.adaptationType
         case 'phase'
           [adaptSignal, H, R, V, D, Wopt] = obj.PhaseAdaptation(InSignal, objTx, objRx,
objSignal, objChannel, Hl);
         case 'amp'
           [adaptSignal, H, R, V, D, Wopt] = obj.AmplitudeAdaptation(InSignal, objTx,
objRx, objSignal, objChannel, Hl);
       end
    end %processAdaptation
    function [F, theta] = viewAdaptationDn(obj, objRx, objSignal, ChannelObj, V)
       theta = -90:1:90 - 1;
       F = zeros(1, length(theta));
       for n = 1 : 1 : obj.nDn
         F = F + obj.CalcDn(theta, obj.dAlpha(n), objRx, objSignal, ChannelObj)*V(n);
       end
    end %viewAdaptationDn END
    function [DN, theta] = viewAmpDn(obj, objRx, objSignal, ChannelObj)
       lamda = objSignal.getLambda(ChannelObj);
       [dMS hor, dMS ver] = objRx.GetAPSpace();
       dMS = dMS_hor * lamda;
       N = objRx.getNumBlockRxAntenna();
       DN = zeros(obj.nDn, 2048);
       for d = 1 : 1 : obj.nDn
        fi = \exp(1i*(0:1:(N-1))*2*pi*dMS/lamda*sind(obj.dAlpha(d)));
        DN(d,:) = fftshift(fft(fi,2048));
       end
       theta = asind(-lamda/dMS/2 : lamda/dMS/2048 : lamda/dMS/2 - (lamda/dMS/2048));
    end % viewAmpDn
         function [Type] = GetAdaptType(obj)
      Type = obj.adaptationType;
    end %GetAdaptType
  end
  methods (Access = private)
    function [adaptSignal, H, R, V, D, Wopt] = AmplitudeAdaptation(obj, InSignal, objTx,
objRx, objSignal, objChannel, Hl)
       if(objRx.getNumRxAntenna()/objRx.getNumBlockRxAntenna() ~=
objTx.getNumTxAntenna())
         error('Wrong antennas parameters');
       NTx = objTx.getNumTxAntenna();
```

```
NRx = objRx.getNumRxAntenna();
       [dMS_hor, dMS_ver] = objRx.GetAPSpace();
       RxN = NRx / objRx.getNumBlockRxAntenna(); % Number of MIMO Antennas
       obj.nBlock = objRx.getNumBlockRxAntenna(); % Number of blocks to adapt
       alpha_07 = 51 * objSignal.getLambda(objChannel) / obj.nBlock /
(objSignal.getLambda(objChannel)*dMS_hor);
       obj.dAlpha = zeros(1, obj.nDn);
       if(obj.nDn / 2 \sim = int32(obj.nDn / 2))
         AngleOffset = -alpha_07*obj.nDn/2 + (-alpha_07/2) : alpha_07 : alpha_07*obj.nDn/2
+ alpha_07/2;
         obj.dAlpha = AngleOffset(2:end-1);
         AngleOffset = -alpha_07*obj.nDn/2 + (-alpha_07/2) : alpha_07 : alpha_07*obj.nDn/2
+ alpha_07/2;
         obj.dAlpha = AngleOffset(2:end-1);
       end
       v_dn = zeros(obj.nDn, RxN, obj.nBlock);
       adapt_signal = zeros(length(InSignal), 1, RxN, obj.nDn);
       for sym = 1:1:1
         for rx = 1 : 1 : RxN
            for dn = 1 : 1 : obj.nDn
              for n = 1 : 1 : obj.nBlock
                dFi = 2 * pi * dMS hor * sind(obj.dAlpha(dn));
                adapt_signal(:, sym, rx, dn) = adapt_signal(:, sym, rx, dn) + (InSignal(:, sym,
obj.nBlock * (rx - 1) + n) ) * ...
                              (\exp(1i^*(n-1)*dFi));
                v_{dn}(dn, rx, n) = exp(1i*(n - 1) * dFi);
              end
            end
         end
       R = zeros(obj.nDn, obj.nDn, 1, RxN);
       for sym = 1:1:1
         for rx = 1 : 1 : RxN
            for m = 1 : 1 : obj.nDn \% line by line
              for n = 1 : 1 : obj.nDn \% by columns
                R(m, n, sym, rx) = sum(adapt_signal(:, sym, rx, m) .* conj(adapt_signal(:, sym,
rx, n))) / length(adapt_signal(:, sym, rx, 1));
              end
            end
         end
       end
       V = zeros(obj.nDn, obj.nDn, 1, RxN);
       D = zeros(obj.nDn, obj.nDn, 1, RxN);
       W = zeros(obj.nDn, obj.nDn, 1, RxN);
```

```
for sym = 1:1:1
        for rx = 1 : 1 : RxN
          [V(:,:,sym,rx),D(:,:,sym,rx),W(:,:,sym,rx)] = eig(R(:,:,sym,rx));
        end
      end
      Wopt = zeros(obj.nDn, RxN);
      adaptSignal = zeros(length(adapt_signal(:, 1)), 1, RxN);
      for sym = 1:1:1
        for i = 1 : 1 : length(adapt signal(:,1,1))
          for rx = 1:1:RxN
            [maxlambda,n lambda]=max(max(squeeze(D(:, :, sym, rx))));
            w_{max} = [0.0753528638453188 + 0.128672456131447i; 0.0812985423703117 + 0.0812985423703117]
0.146280391589463i; -0.173943993331980 + 0.0427541985596265i; -0.184172778824965 +
0.0000000000000i];
            Wopt(:, rx) = w_max;
            adaptSignal(i, sym, rx) = squeeze(adapt_signal(i, sym, rx, :)).' * w_max;
          end
        end
      end
      H = zeros(RxN, NTx, 1);
      for sym = 1:1:1
        for rx = 1:1:RxN
          for tx = 1 : 1 : NTx
           [maxlambda,n_lambda]=max(max(squeeze(D(:, :, sym, rx))));
           w max = [0.0753528638453188 + 0.128672456131447i; 0.0812985423703117 +
0.146280391589463i; -0.173943993331980 + 0.0427541985596265i; -0.184172778824965 +
0.113727146474085i; 0.0169695658945625 + 0.0649923554523059i; 0.467917023565094 +
0.142106699749944i; -0.721780955389794 + 0.0379462261188079i; 0.323666089114255 +
0.0000000000000i];
           Hdn = Hl((rx-1) * obj.nBlock + 1 : rx * obj.nBlock, tx, sym);
           Hv = zeros(1, obj.nBlock);
           for n = 1 : 1 : obj.nDn
             Hv(n) = Hdn.' * squeeze(v_dn(n, rx, :));
           H(rx, tx, sym) = Hv * w_max;
          end
        end
      end
      R = squeeze(R);
      V = squeeze(V);
      D = squeeze(D);
    end % Amplitude Adaptation
    function [adaptSignal, H, R, V, D, Wopt] = PhaseAdaptation(obj, InSignal, objTx, objRx,
objSignal, objChannel, Hl)
```

```
if(objRx.getNumRxAntenna()/objRx.getNumBlockRxAntenna() ~=
objTx.getNumTxAntenna())
         error('Wrong antennas parameters');
       end
       NTx = objTx.getNumTxAntenna();
       NRx = objRx.getNumRxAntenna();
       RxN = NRx / objRx.getNumBlockRxAntenna(); % Number of MIMO Antennas
       RxNblock = objRx.getNumBlockRxAntenna(); % Number of blocks to adapt
       R = zeros(RxNblock, RxNblock, 1, RxN);
       for rx = 1 : 1 : RxN
         for sym = 1:1:1
           Rsum = 0;
           for i = 1 : 1 : length(InSignal(:,1,1))
              Rsum = Rsum + conj(squeeze(InSignal(i, sym, (rx-1)*RxNblock + 1 : 
rx*RxNblock))) * squeeze(InSignal(i, sym, (rx-1)*RxNblock + 1 : rx*RxNblock)).';
           end
           R(:, :, sym, rx) = Rsum/i;
         end
       end
       V = zeros(RxNblock, RxNblock, 1, NRx);
       D = zeros(RxNblock, RxNblock, 1, NRx);
       W = zeros(RxNblock, RxNblock, 1, NRx);
       for sym = 1:1:1
         for rx = 1:1:RxN
           [V(:, :, sym, rx), D(:, :, sym, rx)] = eig(R(:, :, sym, rx));
         end
       end
       Wopt = zeros(RxNblock, RxN);
       adaptSignal = zeros(length(InSignal(:, 1, 1)), 1, RxN);
       for sym = 1:1:1
         for i = 1 : 1 : length(InSignal(:,1,1))
           for rx = 1:1:RxN
               [maxlambda,n_lambda]=max(max(squeeze(D(:, :, sym, rx))));
              w max = V(:, n lambda, sym, rx)/norm(V(:, n lambda, sym, rx));
              Wopt(:, rx) = w_max;
               adaptSignal(i, sym, rx) = squeeze(InSignal(i, sym, (rx-1)*RxNblock + 1 :
rx*RxNblock)).' * w_max;
           end
         end
       end
       H = zeros(RxN, NTx, 1);
       for sym = 1:1:1
         for rx = 1 : 1 : RxN
           for tx = 1 : 1 : NTx
            [maxlambda,n_lambda]=max(max(squeeze(D(:, :, sym, rx))));
            w max = V(:, n lambda, sym, rx)/norm(V(:, n lambda, sym, rx));
```

```
H(rx, tx, sym) = Hl((rx-1)*RxNblock + 1 : rx*RxNblock, tx, sym).'* w_max;
           end
         end
       end
       R = squeeze(R);
       V = squeeze(V);
       D = squeeze(D);
    end %PhaseAdaptation
    function [F] = CalcDn(obj, theta, angle_offset, objRx, objSignal, objChannel)
       N = objRx.getNumBlockRxAntenna();
       lamda = objSignal.getLambda(objChannel);
       [dMS_hor, dMS_ver] = objRx.GetAPSpace();
       d = dMS_hor * lamda;
       beta = 2*pi/lamda;
       ksi = beta*d.*(sind(theta - angle_offset));
       F = \sin(N*ksi/2)./(N*sin(ksi/2));
    end %CalcDn END
  end
end
```

### параметры сигнала

```
classdef SignalParameters < handle
  properties (Access = private)
    fc = 100; % Carrier frequency
                                          [kHz]
    BW = 0; % Signal bandwidth
                                               [kHz]
    fd = 1e3; % Signal sampling rate [kHz]
    M; %Bits per character
    hMod;
    hDemod;
    ObjType = 'Signal Parametrs';
  end
  methods (Access = public)
     function obj = SignalParameters(varargin)
       if nargin > 0
         for i = 1:2:length(varargin)
            switch varargin{i}
              case 'fc'
                 obj.fc = varargin{i + 1};
              case 'BW'
                 obj.BW = varargin{i + 1};
              case 'fd'
                 obj.fd = varargin{i + 1};
              case 'ModType'
                 switch varargin\{i + 1\}
                   case 'QPSK'
```

```
obj.hMod = comm.QPSKModulator(...% 'PhaseOffset', pi/4 % Creates a
                      'BitInput', false, ... % output signal vector of integers
                      'SymbolMapping', 'Gray', ... %Symbol map, for the constellation the Gray
                      'OutputDataType', 'double'); %Output Array Type
                      obj.hDemod = comm.QPSKDemodulator(...%'PhaseOffset', pi/4
%Creates a
                      'BitOutput', false, ... % output signal vector of integers
                      'SymbolMapping', 'Gray', ... %Symbol map, for the constellation the Gray
                      'OutputDataType', 'double'); %Output Array Type
                      obj.M = 2;
                   case 'BPSK'
                      obj.hMod = comm.PSKModulator('ModulationOrder', 2,...
                      'BitInput', false, ... % output signal vector of integers
                      'PhaseOffset', 0,...
                      'SymbolMapping', 'Gray', ... %Symbol map, for the constellation the Gray
                      'OutputDataType', 'double'); %Output Array Type
                      obj.hDemod = comm.PSKDemodulator('ModulationOrder', 2....
                      'BitOutput', false, ... % output signal vector of integers
                      'SymbolMapping', 'Gray', ... % Symbol map, for constellation the Gray
code
                      'PhaseOffset', 0,...
                      'OutputDataType', 'double'); %Output Array Type
                      obi.M = 1;
                   case '8-PSK'
                      obj.hMod = comm.PSKModulator ('ModulationOrder', 8,...
                      'BitInput', false, ... % output signal vector of integers
                      'SymbolMapping', 'Gray', ... %Symbol map, for the constellation the Gray
                      'OutputDataType', 'double'); %Output Array Type
                      obj.hDemod = comm.PSKDemodulator('ModulationOrder', 8....
                      'BitOutput', false, ... % output signal vector of integers
                      'Symbol Mapping', 'Gray', ... % Symbol map, for the constellation the Gray
                      'OutputDataType', 'double'); %Output Array Type
                      obj.M = 3;
                   case '16-QAM'
                      obj.hMod = comm.RectangularQAMModulator ('ModulationOrder', 16,...
                      'BitInput', false, ... % output signal vector of integers
                      'SymbolMapping', 'Gray', ... %Symbol map, for the constellation the Gray
                      'OutputDataType', 'double',... %Output Array Type
                      'NormalizationMethod', 'Average power');
                      obj.hDemod = comm.RectangularQAMDemodulator ('ModulationOrder',
16,...
                      'BitOutput', false, ... % output signal vector of integers
                      'SymbolMapping', 'Gray', ... %Symbol map, for the constellation the Gray
                      'OutputDataType', 'double',... %Output Array Type
```

```
'NormalizationMethod', 'Average power');
                     obj.M = 4;
                end
              otherwise
                error('Undefined parameter');
           end
         end
       else
         error('No parametrs!');
       end
    end
    function Lambda = getLambda(obj, ChannelObj)
       Lambda = ChannelObj.getEnvRate() / (obj.fc * 1000); % The frequency must be
converted
    end
    function fd = getFreqSampling(obj)
       fd = obj.fd * 1000; % We translate into Hz.
    function fc = getFreqCarrier(obj)
       fc = obj.fc * 1000; % We translate into Hz.
    end
    function M = GetModulatePosition(obj)
       M = obi.M;
    end %GetModulatePosition
    function Type = getObjType(obj)
       Type = obj.ObjType;
    end % getObjType END
    function [modData, simData] = ModulateBitStream(obj, bits, objTx, Sym)
       NTx = objTx.getNumTxAntenna();
       size = length(bits) / NTx;
       if(length(bits(:, 1, 1)) ~= (size * NTx)) %Complete the check
         error(['Input number of bits must be equal:' num2str(size * NTx)]);
       end
       modData = zeros(size, Sym, NTx);
       simData = zeros(size, Sym, NTx);
       for sym = 1 : 1 : Sym
         for tx = 1 : 1 : NTx
           simData(:, sym, tx) = bi2de(bits(1 + (tx-1) * size : size * tx, :, sym));
           modData(:, sym, tx) = step(obj.hMod, simData(:, sym, tx));
         end
       end
    end %ModulateBitStream END
    function [demodData, simData] = DemodulateBitStream(obj, modData, objRx, Sym)
       NRx = objRx.getNumRxAntenna() / objRx.getNumBlockRxAntenna();
       size = length(modData(:,1,1));
       simData = zeros(size, Sym, NRx);
```

```
demodData = zeros(size*NRx, obj.M, Sym);
       for sym = 1 : 1 : Sym
         for tx = 1 : 1 : NRx
            simData(:, sym, tx) = step(obj.hDemod, modData(:, sym, tx));
           demodData(1 + (tx-1) * size : size * tx, :, sym) = de2bi(simData(:, sym, tx), obj.M);
         end
       end
       demodData = int32(demodData);
    end %DemodulateBitStream END
  methods (Access = private)
  end
end
                            приемная антенная система
classdef ReceivingAnyennaSystem < handle
 properties (Access = private) % Properties
    NumMSAntenna = 6; % The number of receiving antennas of the mobile station
    N_ElementsInBlock = 3; %The number of elements in the antenna array combined in the
    dArray_MS_lambda = 0.5; % Distance between antenna array elements [in wavelengths]
    NumDirectionalPattern; %Number of DNs for each block
    Overlapping Angle; % DN overlap angle relative to the DN loop width (at 0.707E level) with
    AntennaOrganization = "; %type of construction of receiving antennas
    DeviationDNAngle = []; % Calculated DN deviations
    dVer_lamda = 1; %[m]
    dHor lamda = 1; \% [m]
    ObjType = 'RX Antenna System';
 methods (Access = public) % Methods
    function obj = ReceivingAnyennaSystem(varargin)
      if nargin > 0
        for i = 1 : 2 : length(varargin)
           switch varargin{i}
             case 'NumMSAntenna'
               if(varargin{i + 1} > 0)
                  obj.NumMSAntenna = varargin\{i + 1\};
                  error('Wrong number BS antenna');
                end
             case 'N ElementsInBlock'
                obj.N ElementsInBlock = varargin\{i + 1\};
             case 'dArray_MS_lamda'
                obj.dArray_MS_lambda = varargin\{i + 1\};
             case 'AntennaOrganization'
                obj. Antenna Organization = varargin\{i + 1\};
             case 'NumDirectionalPattern'
```

```
if varargin\{i+1\} > 0
              obj.NumDirectionalPattern = varargin\{i + 1\};
            else
               error('Number of DN must be more than 0');
            end
         case 'OverlappingAngle'
            if varargin\{i + 1\} \le 1 \&\& varargin<math>\{i + 1\} > 0
              obj.OverlappingAngle = varargin\{i + 1\};
            else
              error('Overlapping angle must be between 0 and 1');
            end
         case 'dVer_lamda'
            obj.dVer_lamda = varargin{i + 1};
         case 'dHor lamda'
            obj.dHor\_lamda = varargin\{i + 1\};
         otherwise
            error('Undefined parameter');
       end
    end
  else
    error('No parametrs!');
  end
end % End of constructor
function [Receive] = RaidPhase(obj, SignalParameters, EnvParameters)
  obj.SignalPhaseAndAntennaPhase(SignalParameters.GetLambda(), 0);
end
  dMS = obj.dArray_MS_lambda;
end %get_dBS END
function gain = MSGain(obj, alpha, beta)
  gain = 1; %TODO: dependence of the DN on the angle
end %MSGain END
function n = getNumRxAntenna(obj)
  n = obj.NumMSAntenna;
end% getNumRxAntenna END
function n = getNumBlockRxAntenna(obj)
  n = obj.N ElementsInBlock;
end %getNumBlockRxAntenna
function VisualizationCharacteristics(obj, signal, GraphType)
  dt = 1 / signal.getFreqSampling();
  t = 0 : dt : 10 / signal.getFreqCarrier();
  s = cos(2 * pi * signal.getFreqCarrier() .* t);
  theta = -90:1:90:
  modelingDN = zeros(obj.NumDirectionalPattern, length(theta));
  mathDN = zeros(obj.NumDirectionalPattern, length(theta));
  for i = 1 : 1 : length(theta) % Loop by DN points
    phase = obj.SignalPhaseAndAntennaPhase(1, theta(i)); % we get phase incursions and
```

```
for k = 1 : 1 : obj.NumDirectionalPattern %Loop on DN formed by one block
           y = zeros(1, length(s));
           for j = 1:1:obj.N_ElementsInBlock %Cycle by AA elements in one block for each
DN
              y = y + real(hilbert(s) * phase.RaidPhase(1, j) * phase.DNPhase(1, k, j));
           modelingDN(k, i) = max(y);
         end
      end
      for i = 1 : 1 : obj.NumDirectionalPattern %Loop on DN formed by one block
         for j = 1 : 1 : length(theta) % Loop by DN points
           mathDN(i, j) = sin((pi / 1) * obj.N_ElementsInBlock * obj.dArray_MS_lambda *
(sind(theta(j)) + sind(obj.DeviationDNAngle(i))) / ... % TODO:
                    sin((pi/1) * obj.dArray_MS_lambda * (sind(theta(j)) +
sind(obj.DeviationDNAngle(i))) );
         end
      end
      hF = figure;
      hA = axes;
      switch GraphType
         case 'Polar'
           for i = 1 : 1 : obj.NumDirectionalPattern
              polar(theta * pi / 180, modelingDN(i, :));
              hold on:
           end
           hold off;
           figure;
           for i = 1 : 1 : obj.NumDirectionalPattern
              polar(theta * pi / 180, mathDN(i, :));
              hold on;
           end
           hold off;
         case 'Descartes'
           hL = plot(theta, Dn);
           set(hA, 'XLim', [-90 90]);
           set(hA, 'XGrid', 'on', 'YGrid', 'on');
         case 'PolarAndDescartes'
         otherwise
           error('Wrong GraphType parametr');
      end
    end
    function [hor, ver] = GetAPSpace(obj)
      hor = obj.dHor lamda;
      ver = obj.dVer lamda;
    end %GetAPSpace END
 end %Public methods END
```

```
methods (Access = private)
    function CalcDNAngle(obj, lambda)
      theta_07E = 51 * lambda / (obj.N_ElementsInBlock * obj.dArray_MS_lambda);
      if(rem(obj.NumDirectionalPattern, 2) == 0)
         minAngle = -( (obj.NumDirectionalPattern / 2 - 1) * obj.OverlappingAngle *
theta_07E + obj.OverlappingAngle * theta_07E / 2);
         maxAngle = -minAngle;
         obj.DeviationDNAngle = minAngle : obj.OverlappingAngle * theta_07E : maxAngle;
        minAngle = -( ( (obj.NumDirectionalPattern - 1) / 2) * obj.OverlappingAngle *
theta_07E);
        maxAngle = -minAngle;
        obj.DeviationDNAngle = minAngle : obj.OverlappingAngle * theta_07E : maxAngle;
      end
    end
    function [phase] = SignalPhaseAndAntennaPhase(obj, lambda, angle)
      obj.CalcDNAngle(lambda);
      phase.RaidPhase = zeros(obj.NumMSAntenna / obj.N_ElementsInBlock,
obj.N ElementsInBlock);
      phase.DNPhase = zeros(obj.NumDirectionalPattern, obj.NumMSAntenna /
obj.N ElementsInBlock, obj.N ElementsInBlock);
      dArray_MS = lambda * obj.dArray_MS_lambda; % Distance between elements of
antenna
      beta = 2 * pi / lambda; % Wave coefficient
      for l = 1 : 1 : (obj.NumMSAntenna / obj.N_ElementsInBlock) % By blocks
        for j = 1:1: obj.N_ElementsInBlock %By elements in a block
          phase.RaidPhase(l, j) = exp(-1i*(beta - (j-1)*beta*dArray_MS*sind(angle))
);
        end
      end
      for i = 1 : 1 : (obj.NumMSAntenna / obj.N ElementsInBlock) % By blocks
        for j = 1 : 1: obj.NumDirectionalPattern %by DN
          for l = 1 : 1 : obj.N ElementsInBlock %By elements in a block
            phase.DNPhase(i, j, l) = \exp(-1i * (l-1))* beta * dArray_MS * sind(
obj.DeviationDNAngle(j));
          end
        end
      end
    end
 end%Private methods END
end
```

# Передающая Антенная Система

classdef TransmittingAnyennaSystem < handle</pre>

```
properties (Access = private)% Properties
   NumBSAntenna = 6; % Number of receiving antennas of the mobile station
    dArray_BS_lambda = 0.5; % Distance between elements of the antenna array [in
wavelengths]
   dVer_lamda = 1;
    dHor_lamda = 1;
    ObjType = 'TX Antenna System';
 end
 methods (Access = public)
   function obj = TransmittingAnyennaSystem(varargin)
      if nargin > 0
        for i = 1 : 2 : length(varargin)
           switch varargin{i}
             case 'NumBSAntenna'
               if(varargin{i + 1} > 0)
                  obj.NumBSAntenna = varargin\{i + 1\};
                else
                  error('Wrong number BS antenna');
               end
             case 'dArray_BS_lambda'
               obj.dArray_BS_lambda = varargin\{i + 1\};
             % **** dVer lamda **** %
             case 'dVer_lamda'
                obi.dVer_lamda = varargin\{i + 1\};
             % **** dHor_lamda **** %
             case 'dHor_lamda'
                obj.dHor\_lamda = varargin\{i + 1\};
             otherwise
                error('Wrong parametrs name');
           end
        end
      else
        error('No parametrs!');
      end
    end % End of constructor
   function dBS = get_dBS(obj)
      dBS = obj.dArray_BS_lambda;
   end %get_dBS END
    function n = getNumTxAntenna(obj)
      n = obj.NumBSAntenna;
   end% getNumTxAntenna END
    function gain = BSGain(obj, alpha, beta) %TODO: not implemented
      gain = 1; %TODO: dependence of the DN on the angle
   end %BSGain END
   function [hor, ver] = GetAPSpace(obj)
      hor = obj.dHor_lamda;
```

ver = obj.dVer\_lamda; end %GetAPSpace END end %Public methods END methods (Access = private) end %Private methods END end

### **УТВЕРЖДАЮ**

Директор Института радиотехнических систем и управлений фГ АОХ ВО «Южный федеральный университет"

А.С. Болдырев

2023 г.

### AKT

о внедрении результатов диссертационной работы Джамил Джалил Садун Джамил «Адаптивный алгоритм передачи изображений по беспроводной линии связи на основе МІМО-принципа», в научной работе проекта Российского научного фонда РНФ № 22-29-01389 от 21.12.2021 г. (вн. №РНФ/22-04-РТ)

Комиссия в составе председателя – профессора В.П. Федосова (научный руководитель НИР), и членов комиссии к.т.н., доцента А.М. Пилипенко и к.т.н., доцента С.В. Кучерявенко рассмотрела научные и практические результаты диссертационной работы Джамил Джалил Садун Джамил.

Настоящим актом комиссия подтверждает, что в научной работе проекта Российского научного фонда РНФ № 22-29-01389 от 21.12.2021 г. (вн. №РНФ/22-04-РТ) используются следующие результаты, полученные в диссертации Джамил Джалил Садун Джамил:

- алгоритм адаптации передачи цветных изображений в беспроводной системе связи;
  - разработанная программа и алгоритм моделирования системы;
- математическая модель модифицированного канала для передачи изображений;

Методы обработки сигналов и разработанный адаптивный алгоритм, позволяют повысить спектральную эффективность и снизить вероятность битовой ошибки в системах беспроводной связи, что является практическим применением для исследований в научной работе проекта Российского научного фонда.

Научный руководитель проекта РНФ

РНФ № 22-29-01389 от 21.12.2021 г. (вн. №РНФ/22-04-РТ)

д.т.н., профессор

В.П. Федосов

Члены комиссии:

к.т.н., доцент

А.М. Пилипенко

к.т.н., доцент

С.В. Кучерявенко

### **УТВЕРЖДАЮ**

Директор Тиститута радиотехнических систем и правления от му во «Южный федеральный университет"

А.С. Болдырев

АКТ

о внедрении результатов диссертационной работы Джамил Джалил Садун Джамил «Адаптивный алгоритм передачи изображений по беспроводной линии связи на основе МІМО-принципа», в учебный процесс Института радиотехнических систем и управления «Южного федерального университета»

Комиссия в составе зав. кафедрой теоретических основ радиотехники А.М. Пилипенко (председатель), доцентов С.В. Кучерявенко и В.В. Терешкова рассмотрела диссертационную работу Джамил Джалил Садун Джамил «Адаптивный алгоритм передачи изображений по беспроводной линии связи на основе МІМО-принципа» и составила настоящий акт о том, что результаты, полученные в представленной диссертационной работе, используются в учебном процессе кафедры теоретических основ радиотехники ИРТСУ ЮФУ в курсах «Алгоритмы обработки пространственно-временных сигналов», «Современные алгоритмы обработки пространственно-временных сигналов в сетях связи», «Модуль проектной деятельности» при подготовке магистров и аспирантов.

Предметом внедрения являются:

- адаптивный алгоритм передачи изображений в системах связи на основе антенных решеток;
- программная реализация алгоритма передачи изображений в системах беспроводной связи в виде приложения, разработанного в среде Matlab.

Результаты, полученные Джамил Джалил Садун Джамил, используются при усвоении магистрантами и аспирантами знаний и навыков теории и практики разработки современных алгоритмов обработки сигналов.

Председатель комиссии к.т.н., зав. кафедрой Члены комиссии к.т.н., доцент к.т.н., доцент

А.М. Пилипенко

С.В. Кучерявенко В.В. Терешков